

สำนักงานบัณฑิตศึกษา มหาวิทยาลัยแม่โจ้  
ระดับการประเมินคุณภาพ

- ดีเยี่ยม       ดีมาก  
 คือ       ปานกลาง

การศึกษาประถมศึกษาพิเศษโรงเรียนผลิตภัณฑ์อาหาร  
ด้วยกระบวนการตัดตอนและการคัดซับด้วยถ่านกัมมันต์

พัชรินทร์ ดาปินดา

วิทยานิพนธ์นี้เป็นส่วนหนึ่งของความสมบูรณ์ของการศึกษาตามหลักสูตร  
ปริญญาวิทยาศาสตรมหาบัณฑิต สาขาวิชาการจัดการทรัพยากร  
การเกษตรและสิ่งแวดล้อม  
สำนักงานบัณฑิตศึกษา มหาวิทยาลัยแม่โจ้

พ.ศ. 2551

ลิขสิทธิ์ของมหาวิทยาลัยแม่โจ้



ในรับรองวิทยานิพนธ์  
สำนักงานบัณฑิตศึกษา มหาวิทยาลัยแม่โจ้  
ปริญญาวิทยาศาสตรมหาบัณฑิต สาขาวิชาการจัดการทรัพยากรากเมืองและสิ่งแวดล้อม

ชื่อเรื่อง

การศึกษาประสิทธิภาพการกำจัดสีจากน้ำเสียโรงงานผลิตกระดาษสา  
ด้วยกระบวนการตอกตะกอนและการดูดซับด้วยถ่านกัมมันต์

โดย

พัชรินทร์ สถาปนา

พิจารณาให้หนอนโดย

ประธานกรรมการที่ปรึกษา

(อาจารย์ ดร.พิรกานต์ บรรเจิดกิจ)

วันที่ 29 เดือน ก.ค. พ.ศ. ๒๕๕๑

กรรมการที่ปรึกษา

(ผู้ช่วยศาสตราจารย์ ดร.อรุณี คงดี)

วันที่ 29 เดือน ก.ค. พ.ศ. ๒๕๕๑

กรรมการที่ปรึกษา

(ผู้ช่วยศาสตราจารย์น้ำพึชร วินิจฉัยกุล)

วันที่ 29 เดือน ก.ค. พ.ศ. ๒๕๕๑

ประธานกรรมการประจำหลักสูตร

(ผู้ช่วยศาสตราจารย์ ดร.นรินทร์ ทองวิทยา)

วันที่ 29 เดือน ก.ค. พ.ศ. ๒๕๕๑

สำนักงานบัณฑิตศึกษารับรองแล้ว

(รองศาสตราจารย์ ดร.เทพ พงษ์พาณิช)

ประธานกรรมการบัณฑิตศึกษา

วันที่ 29 เดือน ก.ค. พ.ศ. ๒๕๕๑

ชื่อเรื่อง	การศึกษาประสิทธิภาพการกำจัดสีจากน้ำเสียของงานผลิตกระดาษสาด้วยกระบวนการตกตะกอนและการคุณซับด้วยถ่านกัมมันต์
ชื่อผู้เขียน	นางสาวพัชรินทร์ ถานพา
ชื่อปริญญา	วิทยาศาสตรมหาบัณฑิต สาขาวิชาการจัดการทรัพยากรการเกษตรและสิ่งแวดล้อม
ประธานกรรมการที่ปรึกษา	อาจารย์ ดร.พีรภานต์ บรรจิดกิจ

### บทคัดย่อ

ได้ศึกษาประสิทธิภาพการกำจัดสีจากน้ำเสียของงานผลิตกระดาษสาด้วยกระบวนการตกตะกอนและการคุณซับด้วยถ่านกัมมันต์ในงานวิจัยนี้โดยใช้น้ำเสียจากบ้านตันเป่า อำเภอสันกำแพง จังหวัดเชียงใหม่ ซึ่งศึกษาปริมาณสารตกตะกอนและความเป็นกรด – ด่างของสารส้ม และโพลีอูมิเนียมคลอไรด์ ที่สามารถกำจัดสีได้ร้อยละ 50 โดยการใช้เครื่องจาร์เทส จากนั้นศึกษาน้ำเสียหลังการตกตะกอนผ่านกระบวนการคุณซับด้วยถ่านกัมมันต์ที่ผลิตจากเมล็ดลินจี่ที่ผลิตณ อุณหภูมิที่แตกต่างกันเปรียบเทียบกับถ่านกัมมันต์ที่มีขายตามห้องตลาด ผลการทดสอบพบว่า โพลีอูมิเนียมคลอไรด์มีประสิทธิภาพในการกำจัดสีได้ดีกว่าสารส้ม และใช้ปริมาณสารตกตะกอนที่น้อยกว่าสารส้ม คือ 2,000 มก/ล.

ในการเตรียมถ่านกัมมันต์ที่ผลิตจากเมล็ดลินจี่ พบว่า อุณหภูมิและเวลาที่เหมาะสมในการเตรียมถ่านกัมมันต์ คือ ขั้นการเผาล้าง 800 องศาเซลเซียส นาน 45 นาที และ ขั้นการกระตุนด้วยสารเคมี 900 องศาเซลเซียส นาน 30 นาที ผลการทดสอบ พบว่า ถ่านกัมมันต์ที่ผลิตมีประสิทธิภาพการคุณซับสีมากกว่าถ่านกัมมันต์ที่มีขายตามห้องตลาดจากผลของการกล้องจุลทรรศน์ วิdeektron แบบส่องร้าดและค่าเลขไอโอดีน

<b>Title</b>	Study on the Efficiency of Color Removal in Saa-Paper Industry Wastewater by Coagulation and Adsorption method
<b>Author</b>	Miss Patcharin Tapinta
<b>Degree of</b>	Master of Science in Agricultural Resources and Environmental Management
<b>Advisory Committee Chairperson</b>	Dr. Peerakarn Bunjerdkij

### ABSTRACT

The study on the efficiency of color removal in Saa-paper industry wastewater in Tambol Tonpao, Amphur Sankampang, Chiangmai Province, was studied by coagulation and adsorption methods. The coagulation by alum and polyaluminium chloride of different concentrations and pH values had a 50 percent color removal through the use of Jar Test. This was followed by the application of activated carbon from lychee seeds carbonized at different temperatures in comparison with commercial activated carbon in the adsorption of color residues in wastewater.

Results showed that polyaluminium chloride showed high efficiency than alum in the removal of color at lower concentration (2,000 mg/L).

In the process of preparing lychee seeds for carbonization and chemical activation using an optimum temperature of  $800^{\circ}\text{C}$  for 45 minutes and  $900^{\circ}\text{C}$  for 30 minutes, respectively, results showed that home-made activated carbon was able to adsorb more dye as compared with commercial activated carbon due to higher pore volume as presented by SEM images and iodine number.

## กิตติกรรมประกาศ

วิทยานิพนธ์ฉบับนี้สำเร็จลงได้จากความมุ่งมั่นที่สันบสนุนให้คำปรึกษาจากบุคคลหลายท่าน ผู้เขียนขอกราบขอบพระคุณท่านอย่างสูงที่ได้มอบความเมตตา สันบสนุนให้คำปรึกษา ผลักดัน และกรุณามอบความไว้วางใจ

ขอขอบพระคุณ อาจารย์ ดร.พีรภานต์ บรรเจิดกิจ อาจารย์ที่ปรึกษาวิทยานิพนธ์ ผู้ซึ่งให้ความรู้ คำแนะนำ คำปรึกษา และตรวจแก้ไข จนวิทยานิพนธ์เสร็จสมบูรณ์ และขอขอบคุณผู้ช่วยศาสตราจารย์ ดร.อรุณี คงศิริ ผู้ช่วยศาสตราจารย์ น้ำเพชร วนิชษัยกุล อาจารย์ ดร.บัญญารัตน์ ใจล้านันท์ ผู้ช่วยศาสตราจารย์ ดร.นรินทร์ ทองวิทยา และรองศาสตราจารย์ ดร.เทพ พงษ์พานิช ที่กรุณารับเป็นกรรมการตรวจสอบวิทยานิพนธ์ และกรุณาให้คำแนะนำแก่ไขวิทยานิพนธ์ฉบับนี้ให้สมบูรณ์ยิ่งขึ้น

ขอขอบคุณ คณะกรรมการจัดการทรัพยากรากษาสิ่งแวดล้อมทุกท่าน ที่กรุณารับรอง สั่งสอน ให้ความรู้ และให้ความเมตตามาโดยตลอด

ขอขอบคุณเจ้าหน้าที่ภาควิชาชีววิทยาทุกท่านที่ให้ความช่วยเหลือ อำนวยความสะดวก สะดวก และอยู่เป็นกำลังใจให้เป็นอย่างดี และขอขอบคุณนักศึกษาปริญญาโททุกท่านที่เคยให้คำปรึกษา ให้ความช่วยเหลือ และให้กำลังใจมาโดยตลอด

ท้ายนี้ ขอขอบคุณ บิดา มารดา และทุกคนในครอบครัวที่เป็นกำลังใจ สันบสนุน และให้ความช่วยเหลือด้วยดีเสมอมา

พัชรินทร์ ถาวรินดา

กรกฎาคม 2551

## สารบัญ

	หน้า
บทคัดย่อ	(3)
ABSTRACT	(4)
กิตติกรรมประกาศ	(5)
สารบัญ	(6)
สารบัญตาราง	(9)
สารบัญภาพ	(11)
บทที่ 1 บทนำ	1
วัตถุประสงค์	2
ประโยชน์ที่คาดว่าจะได้รับ	2
ขอบเขตการศึกษา	3
บทที่ 2 การตรวจเอกสาร	4
กระบวนการผลิตแผ่นกระดาษสา	4
แหล่งที่มาของน้ำทึบจากโรงงานกระดาษสา	7
สีรีแอคทีฟ (Reactive Dye)	9
กระบวนการสร้างตะกอน	9
กระบวนการสร้างตะกอนโดยสารเคมีต่างๆ	10
กลไกการสร้างตะกอนของสารส้ม	12
การสร้างตะกอนด้วยโพลีอลูมิเนียมคลอไรด์ (PAC)	13
คุณสมบัติของโพลีอลูมิเนียมคลอไรด์ เมื่อเป็นการสร้างตะกอน	14
กลไกการตกตะกอนด้วยโพลีอลูมิเนียมคลอไรด์	15
ปัจจัยที่มีผลต่อการจับตัวและรวมตัวกันเป็นฟลีอค	16
ลิ้นจี่	17
ความหมายของถ่านกัมมันต์	19
ทฤษฎีการดูดซับ (Adsorption Theory)	20
กลไกของกระบวนการดูดติดผิว	22
ทฤษฎีของกระบวนการดูดติดผิว (Adsorption Theory)	23

	หน้า
สมดุลของการดูดซับ	23
ขั้นตอนของกระบวนการดูดติดผิว (Steps of adsorption)	25
ปัจจัยที่มีผลต่อกระบวนการดูดติดผิว	26
ชนิดของการดูดซับ	27
กระบวนการเตรียมถ่านกัมมันต์	28
การกรองตื้นเพื่อผลิตถ่านกัมมันต์	29
การทดสอบการใช้งาน	31
<b>บทที่ 3 วิธีการวิจัย</b>	
<b>การทดลองที่ 1</b>	
ศึกษาชนิดและปริมาณสารเคมีที่เหมาะสมในการบำบัดน้ำเสียจากโรงงานผลิตกระดาษ ตำบลตันเป่า อำเภอสันกำแพง จังหวัดเชียงใหม่ที่ผ่านกระบวนการตกรตะกอนของสารตกรตะกอน 2 ชนิด คือ สารส้ม(Alum) และโพลี-อลูมิเนียมคลอไทรด์ (PAC)	33
<b>การทดลองที่ 2</b>	
การศึกษาขั้นตอนการผลิตถ่านกัมมันต์จากเมล็ดลินจิ	34
<b>การทดลองที่ 3</b>	
ศึกษาและเปรียบเทียบประสิทธิภาพในการกำจัด COD ของถ่านกัมมันต์	37
<b>บทที่ 4 ผลการวิจัยและวิจารณ์</b>	
<b>การทดลองที่ 1</b>	
ศึกษาชนิดและปริมาณสารเคมีที่เหมาะสมในการบำบัดน้ำเสียจากโรงงานผลิตกระดาษ ตำบลตันเป่า อำเภอสันกำแพง จังหวัดเชียงใหม่ที่ผ่านกระบวนการตกรตะกอนของสารตกรตะกอน 2 ชนิด คือ สารส้ม(Alum) และโพลี-อลูมิเนียมคลอไทรด์ (PAC)	43
<b>การทดลองที่ 2</b>	
การศึกษาขั้นตอนการผลิตถ่านกัมมันต์จากเมล็ดลินจิ	60

	หน้า
การทดลองที่ 3 ศึกษาและปรีบเทบประสิทธิภาพในการกำจัด COD ของถ่านกัมมันต์	68
บทที่ 5 สรุปผลวิจัยและข้อเสนอแนะ	78
บรรณานุกรม	81
ภาคผนวก	
ภาคผนวก ก การวิเคราะห์ค่าตัวแปร	85
ภาคผนวก ข การเตรียมสารละลายที่ใช้ในการทดลอง	94
ภาคผนวก ค กล้องจุลทรรศน์อิเล็กตรอนแบบส่องร้าด	98
ภาคผนวก ง ตัวอย่างการคำนวณและข้อมูลการทดลอง	103
ภาคผนวก จ ภาพผลการทดลอง	117
ภาคผนวก ฉ ประวัติผู้วิจัย	119

## สารบัญตาราง

ตาราง	หน้า
1      คุณสมบัติของน้ำตัวอย่าง (Influence ; INF) จากโรงงานผลิตกระดาษสา	44
2      การหาปริมาณสารส้มที่เหมาะสมในการตกลงกันแบบหยาบ	45
3      การหาปริมาณสารส้มที่เหมาะสมในการตกลงกันแบบละเอียด	47
4      การหาปริมาณโพลีอูมิเนียมคลอไรด์ที่เหมาะสม ในการตกลงกันแบบหยาบ	49
5      การหาปริมาณสาร โพลีอูมิเนียมคลอไรด์ที่เหมาะสม ในการตกลงกันแบบละเอียด	51
6      การหาปริมาณความเป็นกรด-ด่างที่เหมาะสมแบบหยาบ ในการตกลงกันของสารส้ม	53
7      การหาปริมาณความเป็นกรด-ด่างที่เหมาะสมแบบละเอียด ในการตกลงกันของสารส้ม	54
8      การหาปริมาณความเป็นกรด-ด่างที่เหมาะสมแบบหยาบ ในการตกลงกันของโพลีอูมิเนียมคลอไรด์	56
9      การหาปริมาณความเป็นกรด-ด่างที่เหมาะสมแบบละเอียด ในการตกลงกันของโพลีอูมิเนียมคลอไรด์	57
10     ผลการไตรเตอร์ทสารละลายน้ำไฮโดรเจนที่ผ่านกระบวนการเผาเป็นถ่าน ของถ่านจากเมล็ดลินจิ้วที่สภาพะต่างๆ	60
11     ผลการไตรเตอร์ทสารละลายน้ำไฮโดรเจนที่ผ่านกระบวนการกรรตันทางเคมี ของถ่านจากเมล็ดลินจิ้วที่สภาพะต่างๆ	62
12     ผลการจำจัด COD นำเสียที่ผ่านกระบวนการตกลงกันและผ่าน การดูดซับด้วยถ่านกัมมันต์ที่ผลิตจากเมล็ดลินจิ้วและถ่านกัมมันต์ ที่ขายตามท้องตลาดทดสอบที่ pH 3	68
13     ผลการจำจัด COD นำเสียที่ผ่านกระบวนการตกลงกันและผ่าน การดูดซับด้วยถ่านกัมมันต์ที่ผลิตจากเมล็ดลินจิ้วและถ่านกัมมันต์ ที่ขายตามท้องตลาดทดสอบที่ pH 5	71

(10)

	หน้า
14 ผลการกำจัด COD นำเสียที่ผ่านกระบวนการกรอกตะกอนและผ่าน การดูดซับด้วยถ่านกัมมันต์ที่ผลิตจากเมล็ดคลินิจ์และถ่านกัมมันต์ ที่ขายตามท้องตลาดทดสอบที่ pH 7	73
15 ผลการกำจัด COD นำเสียที่ผ่านกระบวนการกรอกตะกอนและผ่าน การดูดซับด้วยถ่านกัมมันต์ที่ผลิตจากเมล็ดคลินิจ์และถ่านกัมมันต์ ที่ขายตามท้องตลาดทดสอบที่ pH 9	75

## สารบัญภาพ

ตาราง	หน้า
1 ผังกระบวนการผลิตกระดาษสาและน้ำเสียที่เกิดขึ้น	8
2 แสดงกระบวนการสร้าง-รวมตะกอนเคมี	10
3 แสดง โคอัฟเฟร์มภาพดัดขาวของเปลือกผลลั่นจีที่โถเติมที่แล้ว	18
4 กลไกการคุณชั้บสารของถ่านกัมมันต์	21
5 แสดงถึงการคุณชั้บสารของถ่านกัมมันต์ในลักษณะต่างๆ กันด้วยแรงทางฟิสิกส์	22
6 แสดงความสัมพันธ์ระหว่าง Ce และ Ce / ( X/M )	25
7 ขั้นตอนการหาปริมาณสารตกตะกอนและความเป็นกรด-ด่างที่เหมาะสมในการตกตะกอน	38
8 แสดงขั้นตอนการผลิตถ่านกัมมันต์จากเมล็ดลินจี	40
9 แสดงวิธีการทดสอบประสิทธิภาพถ่านกัมมันต์จากเมล็ดลินจี	42
10 แสดงประสิทธิภาพการตกตะกอนของสารส้มแบบหยาบ	46
11 แสดงประสิทธิภาพการตกตะกอนของสารส้มแบบละเอียด	48
12 แสดงประสิทธิภาพการตกตะกอนของโพลีอัลูมิเนียมคลอไรด์ แบบหยาบ	50
13 แสดงประสิทธิภาพการตกตะกอนของโพลีอัลูมิเนียมคลอไรด์ แบบละเอียด	52
14 แสดงประสิทธิภาพในการหาความเป็นกรด-ด่างที่เหมาะสม แบบหยาบในการตกตะกอนของสารส้ม	54
15 แสดงประสิทธิภาพในการหาความเป็นกรด-ด่างที่เหมาะสม แบบละเอียดในการตกตะกอนของสารส้ม	55
16 การหาปริมาณความเป็นกรด-ด่างที่เหมาะสม แบบละเอียดในการตกตะกอนของโพลีอัลูมิเนียมคลอไรด์	57
17 แสดงประสิทธิภาพในการหาความเป็นกรด-ด่างแบบละเอียดที่เหมาะสม ในการตกตะกอนของโพลีอัลูมิเนียมคลอไรด์	58

	หน้า
18 แสดงผลการไตรเตอร์ทาระลายไอโอดีนที่ผ่านกระบวนการเผาเป็นถ่านจากเม็ดคลินิจที่อุณหภูมิ 600 700 800 และ 900 °C เป็นเวลา 5 10 15 30 45 และ 60 นาที	63
19 แสดงผลการไตรเตอร์ทาระลายไอโอดีนที่ผ่านกระบวนการกระตุนทางเคมีจากเม็ดคลินิจที่อุณหภูมิ 600 700 800 และ 900 °C เป็นเวลา 5 10 15 30 45 และ 60 นาที	64
20 ภาพจากกล้องจุลทรรศน์อิเล็กตรอนแบบส่องกราดของถ่านจากเม็ดคลินิจที่ผ่านกระบวนการเผาเป็นถ่านที่อุณหภูมิ 120°C เวลา 10 นาที	65
21 ภาพจากกล้องจุลทรรศน์อิเล็กตรอนแบบส่องกราดของถ่านจากเม็ดคลินิจที่ผ่านกระบวนการเผาเป็นถ่านที่อุณหภูมิ 800 °C เวลา 45 นาที	66
22 ภาพจากกล้องจุลทรรศน์อิเล็กตรอนแบบส่องกราดของถ่านจากเม็ดคลินิจที่ผ่านกระบวนการกระตุนทางเคมี (Chemical Activation) การเผาที่อุณหภูมิ 900 °C เวลา 30 นาที	66
23 ภาพจากกล้องจุลทรรศน์อิเล็กตรอนแบบส่องกราดของถ่านกัมมันต์ที่มีข่ายตามห้องตลาด	67
24 แสดงประสิทธิภาพในการกำจัด COD น้ำเสียที่ผ่านกระบวนการตกรตะกอน ด้วยการคุณชับด้วยถ่านกัมมันต์ที่ผลิตจากเม็ดคลินิจเทียบกับถ่านกัมมันต์ที่ข่ายตามห้องตลาดที่ pH 3	69
25 แสดงประสิทธิภาพในการกำจัด COD น้ำเสียที่ผ่านกระบวนการตกรตะกอนด้วยการคุณชับด้วยถ่านกัมมันต์ที่ผลิตจากเม็ดคลินิจเทียบกับถ่านกัมมันต์ที่ข่ายตามห้องตลาดที่ pH 5	72
26 แสดงประสิทธิภาพในการกำจัด COD น้ำเสียที่ผ่านกระบวนการตกรตะกอนด้วยการคุณชับด้วยถ่านกัมมันต์ที่ผลิตจากเม็ดคลินิจเทียบกับถ่านกัมมันต์ที่ข่ายตามห้องตลาดที่ pH 7	74
27 แสดงประสิทธิภาพในการกำจัด COD น้ำเสียที่ผ่านกระบวนการตกรตะกอนด้วยการคุณชับด้วยถ่านกัมมันต์ที่ผลิตจากเม็ดคลินิจเทียบกับถ่านกัมมันต์ที่ข่ายตามห้องตลาดที่ pH 9	76

### สารบัญตารางภาคผนวก

	หน้า
ตารางผนวก	หน้า
1 ผลการ ไตรเตรท์สารละลายน้ำอิโอดีนที่ผ่านกระบวนการเผาเป็นถ่านของเม็ดคลินิจิ้งที่สภาวะต่างๆ	107
2 ผลการ ไตรเตรท์สารละลายน้ำอิโอดีนที่ผ่านกระบวนการ Activated ด้วยสารเคมีของถ่านจากเม็ดคลินิจิ้งที่สภาวะ	110
3 ผลของกรดซับของถ่านกัมมันต์ที่ผลิตจากเม็ดคลินิจิ้งที่ pH 3	113
4 ผลของกรดซับของถ่านกัมมันต์ที่มีข่ายตามห้องทดลองที่ pH 3	113
5 ผลของกรดซับของถ่านกัมมันต์ที่ผลิตจากเม็ดคลินิจิ้งที่ pH 5	114
6 ผลของกรดซับของถ่านกัมมันต์ที่มีข่ายตามห้องทดลองที่ pH 5	114
7 ผลของกรดซับของถ่านกัมมันต์ที่ผลิตจากเม็ดคลินิจิ้งที่ pH 7	115
8 ผลของกรดซับของถ่านกัมมันต์ที่มีข่ายตามห้องทดลองที่ pH 7	115
9 ผลของกรดซับของถ่านกัมมันต์ที่ผลิตจากเม็ดคลินิจิ้งที่ pH 9	116
10 ผลของกรดซับของถ่านกัมมันต์ที่มีข่ายตามห้องทดลองที่ pH 9	116

### สารบัญภาคผนวก

ตารางผนวก	หน้า
1      เผาที่ 800 °C เวลา 60 นาที	99
2      เผาที่ 800 °C เวลา 145 นาที	99
3      เผาที่ 900 °C เวลา 30 นาที	100
4      เผาที่ 800 °C เวลา 30 นาที	100
5      เผาที่ 800 °C เวลา 15 นาที	100
6      เผาที่ 500 °C เวลา 15 นาที	100
7      เผาที่ 900 °C เวลา 5 นาที	100
8      เผาที่ 900 °C เวลา 30 นาที	101
9      เผาที่ 600 °C เวลา 55 นาที	101
10     เผาที่ 600 °C เวลา 30 นาที	102
11     เผาที่ 600 °C เวลา 45 นาที	102
12     เผาที่ 600 °C เวลา 15 นาที	102
13     ถ่านกัมมันต์ที่มีข่ายตาท้องตลาด	102
14     การหาปริมาณสารตกตระกอนของ PAC และ Alum แบบขยาย	105
15     นำที่ผ่านกระบวนการ Jar test	119
16     การทดสอบประสิทธิภาพ Control เพื่อขับถ่านกัมมันต์ที่มีข่ายตามท้องตลาด	119
17     การทดสอบประสิทธิภาพ Control เพื่อขับถ่านกัมมันต์ที่ผลิต	119

## บทที่ 1

### บทนำ

ในสภาวะปัจจุบันนี้สินค้าหนึ่งตำบลหนึ่งผลิตภัณฑ์ (OTOP) เป็นโครงการหนึ่งที่รัฐบาลให้การสนับสนุนให้ประชาชนภายใต้ห้องถังได้รับผลิตภัณฑ์ที่มีคุณภาพ เพื่อส่งขายให้แก่ผู้บริโภค ทั้งในประเทศและต่างประเทศ ซึ่งเป็นการเพิ่มรายได้ให้แก่ประชาชนภายในชุมชน มีเศรษฐกิจที่ดีในระดับชุมชน เมื่อเศรษฐกิจในระดับชุมชนดีแล้ว ก็จะส่งผลให้ระบบเศรษฐกิจโดยรวมในระดับมหาภาคของประเทศดีตาม และในปัจจุบัน สินค้าหนึ่งตำบลหนึ่ง ผลิตภัณฑ์ต่างเป็นที่ยอมรับของผู้บริโภค ทั้งในประเทศและต่างประเทศ เนื่องจากได้มีการพัฒนาและปรับปรุงสินค้าให้มีความหลากหลายเพื่อตอบสนองความต้องการของผู้บริโภค

กระดาษสาเป็นผลิตภัณฑ์หนึ่ง ที่ถูกผลักดันให้เป็นสินค้าหนึ่งตำบลหนึ่ง ผลิตภัณฑ์ที่ทำรายได้ให้แก่ประชาชนเป็นจำนวนมาก โดยแต่เดิมนั้นขั้นตอนหรือกระบวนการผลิตกระดาษสาจะทำกันภายใต้ครัวเรือน ซึ่งกระบวนการผลิตกระดาษสาจะทำกันหลังถูกการเก็บเกี่ยว ต่อมาได้มีการขยายตัวเพิ่มมากขึ้นกลายเป็นอุตสาหกรรมภายใต้ครัวเรือน ซึ่งถือว่าเป็นการสืบทอดศิลปวัฒนธรรมไม่ให้สูญหายไป โดยขั้นตอน หรือกระบวนการผลิตจะใช้แรงงานคนในการผลิต แต่ในปัจจุบันได้มีการนำเทคโนโลยีเข้ามาช่วยในการผลิต เช่น การนำเครื่องดึงเยื่อมาใช้แทนแรงงานคน การนำเครื่องวัดกระดาษมาทำการวัดกระดาษ โดยวัดถูกดินที่ใช้ในการทำกระดาษสาตั้งแต่เดิมจนถึงปัจจุบันนี้ ยังคงเอาไว้โดยกระดาษสาทำมาหากลายเชื่อป้อสา (paper mulberry) ที่สามารถพับได้ในห้องถัง โดยจะพับในป่าเบญจพรรณและ แหล่งที่ชุมชนทางภาคเหนือของประเทศไทยในปัจจุบัน เนื่องจากคุณลักษณะที่เป็นเอกลักษณ์ของกระดาษสาที่มีลวดลายสวยงาม ทำให้เป็นที่ต้องการของห้องคลาดจากเดิมผลิตกันภายใต้ครัวเรือนเปลี่ยนมาเป็นการผลิตที่มีขั้นตอนการผลิตที่ใหญ่ขึ้น โดยขั้นตอนในการผลิตกระดาษสาทั้งนั้นจะเกิดน้ำเสียขึ้นในขั้นตอนการโม่กระดาษสาซึ่งมีส่วนประกอบของเยื่อกระดาษ สีสังเคราะห์ที่ใช้ข้อมเป็นส่วนใหญ่ และมีการระบายน้ำทึ่งลงสู่ท่อระบายน้ำสาธารณะโดยไม่ผ่านกระบวนการบำบัดส่งผลทำให้เกิดผลกระทบทางน้ำ ทำต่อระบบนิเวศของแหล่งน้ำ ส่งผลให้มาตรฐานของคุณภาพชีวิตของคนในชุมชนลดลงอย่าง

การบำบัดสีสังเคราะห์น้ำเสียจากการกระบวนการผลิตกระดาษสา โดยทำการตอกตะกอนให้ของแข็งแขวนลอกออกจาก ถูกกำจัดออกไปในขั้นตอนจากนั้นผ่านกระบวนการดูดซับ (adsorption) ซึ่งกระบวนการดูดซับนี้จะนำวัสดุเหลือทิ้งจากการกระบวนการเกย์ตรกรรมและอุตสาหกรรมที่มีอยู่เป็นจำนวนมาก เช่น เปลือกผลไม้และ เปลือกสู่คำ เป็นต้น นำมาใช้ใน

ขั้นตอนการนำบัด เนื่องจากการจัดการกับวัสดุเหลือทิ้งนั้นเกยตกรหรือผู้ผลิตในเขตภาคเหนือ บางส่วนนิยมใช้วิธีการเผาเป็นส่วนใหญ่ ซึ่งจะก่อให้เกิดปัญหามลภาวะทางอากาศตามมา จึง จำเป็นอย่างยิ่งที่จะหาวิธีการนำเศษวัสดุเหลือทิ้งกลับมาใช้ให้เกิดประโยชน์ เป็นการเพิ่มมูลค่า ของเศษเหลือทิ้งให้มีมากขึ้นและ เป็นการลดปริมาณขยะที่มีเพิ่มมากขึ้นจากการการเกษตรกรรม เพื่อความยั่งยืนทางพลังงาน สิ่งแวดล้อมและระบบเศรษฐกิจของประเทศไทย

### วัตถุประสงค์

1. เพื่อศึกษานิคและปริมาณสารเคมีที่เหมาะสม ในการนำบัดน้ำเสียจาก โรงงานผลิตกระดาษสา ด้านลักษณะ อาเกอสันกำแพง จังหวัดเชียงใหม่ที่ผ่านกระบวนการ ตกตะกอนของสารตกตะกอน 2 ชนิด คือ สารส้ม และโพลีอลูมิเนียมคลอไรด์
2. เพื่อการศึกษาขั้นตอนการผลิตถ่านกัมมันต์จากเมล็ดลินจី
3. เพื่อศึกษาและเปรียบเทียบประสิทธิภาพในการกำจัด COD ของถ่านกัมมันต์ 2 ชนิด คือ ถ่านกัมมันต์ที่ผลิตจากเมล็ดลินจី และ ถ่านกัมมันต์ที่มีขยะตามห้องคลад

### ประโยชน์ที่คาดว่าจะได้รับ

1. สามารถหาชนิดและปริมาณสารเคมีที่เหมาะสม ในการนำบัดน้ำเสียจาก โรงงานผลิตกระดาษสา โดยยึดหลักการนำบัดน้ำเสียต้นทุนต่ำ
2. ส่งเสริมการลดปริมาณขยะจากเศษวัสดุเหลือทิ้งจากการการเกษตรและ ภาคอุตสาหกรรม
3. สามารถศึกษาและเปรียบเทียบประสิทธิภาพในการกำจัด COD ของถ่านกัมมันต์ 2 ชนิด คือ ถ่านกัมมันต์ที่ผลิตจากเมล็ดลินจី และ ถ่านกัมมันต์ที่มีขยะตามห้องคลاد

### ขอบเขตการศึกษา

การศึกษาประสิทธิภาพการกำจัดสีจากน้ำเสียโรงงานผลิตกระดาษ ด้วยกระบวนการ  
ตกตะกอน และการคุ้ดชับด้วยถ่านกัมมันต์ครั้งนี้ มีขอบเขตการศึกษา ดังนี้

1. กระบวนการตกตะกอนของสารตกตะกอน 2 ชนิด คือ สารส้ม และโพลี  
อลูมิเนียมคลอไรด์ ศึกษาในระดับห้องปฏิบัติการแบบ batch test
2. ผลิตถ่านกัมมันต์ ศึกษาโดยใช้เม็ดคลินิ่น ในระดับห้องปฏิบัติการและทำการ  
เปรียบเทียบกับถ่านกัมมันต์ที่มีขายตามท้องตลาด
3. น้ำเสียที่ใช้ในการทดลองเป็นน้ำเสียรวมของโรงงานผลิตกระดาษ

## บทที่ 2

### การตรวจเอกสาร

#### กระบวนการผลิตกระดาษสา

กระบวนการในการผลิตกระดาษสา ก่อให้เกิดน้ำเสียจากกระบวนการผลิต ซึ่งส่งผลต่อสิ่งแวดล้อมและบริเวณใกล้เคียง โดยผลกระทบที่เกิดขึ้นโดยส่วนใหญ่ได้แก่ กลิ่น สีและเสียงของกระดาษสาที่ไปอุดตันบริเวณท่อน้ำทิ้งเป็นต้น ซึ่งปัญหาดังกล่าวได้ irony ไปสู่ปัญหาด้านสุขภาพอนามัย และความไม่น่ามองของสิ่งแวดล้อม การแก้ไขปัญหานี้ในกระบวนการนำบัคน้ำเสียจากการผลิตกระดาษสาที่มีด้วยกันหลายวิธี คือการนำบัคโดยใช้ระบบตะกอนเร่ง การนำบัคโดยการใช้เครื่องกรองไร์อากาศนิดไฟล์ชีนและไฟล์ลง รวมไปถึงการใช้วิธีการการนำบัคทางชีววิทยา เช่นการนำบัคโดยใช้สาหร่ายเกลียวทอง เป็นต้น แต่ในการศึกษารังนี้เลือกใช้การนำบัคแบบสร้างตะกอน โดยศึกษาขั้นตอนการผลิตจาก บ้านต้นเป่า ตำบลตันเป่า อำเภอสันกำแพง จังหวัดเชียงใหม่ เพื่อที่จะได้ข้อมูลพื้นฐานที่จะนำไปแก้ไขปัญหา เพื่อลดความเดือดร้อนของชุมชนที่อยู่ใกล้บริเวณโรงงานที่ผลิตกระดาษสา พร้อมทั้งเป็นการสร้างความมั่นใจให้แก่ผู้บริโภคว่าผลิตภัณฑ์ที่ได้มาจากการผลิตที่เป็นมิตรต่อสังคม นอกจากนี้ เทศบาลตำบลตันเป่าสามารถนำข้อมูลที่ได้จากการทำการศึกษามาใช้พิจารณาร่วมกับการออกแบบระบบนำบัคน้ำเสียต่อไป

#### กระบวนการผลิตหลักของผลิตภัณฑ์กระดาษสาแบ่งออกเป็น 2 ส่วนด้วยกัน คือ

- กระบวนการผลิตเยื่อกระดาษสา
- กระบวนการผลิตแผ่นกระดาษสา

##### 1. กระบวนการผลิตเยื่อกระดาษสา มีขั้นตอนต่างๆ 8 ขั้นตอน ดังต่อไปนี้

###### 1.1 การเตรียมวัสดุคิบปอสา

เปลือกปอสาที่เป็นวัสดุคิบในการผลิตกระดาษสา นั้นจะถูกขนส่งโดยรถบรรทุกจากแหล่งเพาะปลูกในภาคเหนือ ถ้าเปิกชื่นก็จะนำไปตากแดดก่อนที่จะนำไปเก็บในโรงเก็บปอสาโดยเก็บเป็นมัดๆ ละประมาณ 40 kg โดยแบ่งเป็นเกรด A, B และ C ปอเกรด A จัดว่ามีคุณภาพดีที่สุดและเกรด C มีคุณภาพดีที่สุด

###### 1.2 การแข่เปลือกสาในน้ำ

ปอกสาที่เก็บไว้ในโรงเก็บปอจะถูกขนาดเป็นชิ้นที่เล็กลงด้วยเลือบไฟฟ้าแล้วนำไปแช่น้ำทึ่งไว้ประมาณ 1 วัน โดยแช่น้ำไว้ในอ่างขนาด  $1.5 \text{ cm}^3$  การใช้น้ำในการแช่ปอคือจะใช้ปอร์瓦 60-80 kg ต่อน้ำประมาณ 600-1,000 L

#### 1.3 การต้มเยื่อ

เพื่อให้เปลือกสาานิ่มและเข้มแข็งตัวได้ดีก่อนที่จะนำไปทุบการต้มนี้โดยทั่วไปสามารถทำได้ 2 แบบ คือ ต้มโดยใช้ขี้เด็กและต้มโดยใช้โซดาไฟ แต่โรงงานที่ทำการศึกษาใช้โซดาไฟในการต้มเนื่องจากเป็นวิธีที่สะดวกและประหยัดเวลาทั้งยังให้ผลลัพธ์ดีกว่าการใช้ขี้เด็ก แต่มีค่าใช้จ่ายที่สูงกว่า โซดาไฟที่ใช้ต้มจะใช้ 14-18 kg และยังใช้ผงซักฟอก 1 kg ต่อน้ำรava 600-800 L ในการเตรียมน้ำต้ม 1 ครั้งจะใช้ต้มเยื่อได้ 3 ชุดๆ ละประมาณ 80 kg โดยใช้เวลา ประมาณ 3 ชั่วโมง หลังจากการต้มเสร็จแล้วจะนำปอขึ้นแล้วนำไปหมักทึ่งไว้โดยจะปล่อยให้เย็นเฉยๆ ได้ผ้าใบที่คุณอยู่ เป็นเวลา 1 สัปดาห์

#### 1.4 การล้างเยื่อเพื่อกำจัดโซดาไฟ

การล้างเยื่อจะล้างหลังจากที่หมักไว้จนถึงเวลาแล้ว การล้างจะทำในอ่างล้างประมาณ 3-9 ครั้งในเวลา 1-3 วัน โดยล้างวันละ 3 ครั้ง

#### 1.5 การฟอกเยื่อ

การฟอกเยื่อมีวัตถุประสงค์เพื่อให้ได้เยื่อที่ขาวขึ้น เนื่องจากเยื่อที่ผ่านการต้มมาขึ้นมีสีเข้มการฟอกจะใช้คลอริน (โซเดียมไฮโปคลอไรต์, NaOCl) 20-30 kg ละลายน้ำเมื่อน้ำมีอุณหภูมิประมาณ  $80^\circ\text{C}$  (จากการต้มโดยใช้ไอน้ำ) ในอ่างประมาณ 300 L การฟอกเยื่อจะเสร็จสิ้นเมื่อฟอกเยื่อทึ่งไว้ 30 นาทีโดยที่ขณะนั้นจะมีการกวนเป็นพักๆ จากนั้นจะมีการปล่อยน้ำคลอรินทึ่ง แล้วล้างเยื่อคัวน้ำเย็น 1 ครั้ง

#### 1.6 การล้างและฉีกเยื่อ

ขั้นตอนนี้จะทำโดยใช้แรงงานคน จะทำเหมือนกับการซักล้างด้วยน้ำเปล่า ขณะซักกีพยาภานที่จะฉีกเยื่อและ คัดเยื่อที่มีขนาดไม่เหมาะสมออก

#### 1.7 การทุบเยื่อ

เยื่อสาซึ่งผ่านการต้มทำความสะอาดแล้ว จะนำมาตีหรือทุบเยื่อให้แตกละเอียด สม่ำเสมอ เพื่อจะนำไปทำแผ่นกระดาษสาต่อไป โดยทั่วไปแล้วการทุบเยื่อสามารถทำได้ 2 วิธี คือ การทุบด้วยมือและทุบด้วยเครื่องทุง โรงงานที่ทำการศึกษาใช้วิธีทุบโดยการใช้เครื่องทุบ เพื่อให้ผลิตอย่างรวดเร็วขึ้น เพราะเครื่องปั่นปอสาจำนวน 2-3 kg ได้ในเวลา 30 นาที ปอสาจะแตกละเอียด เมื่อนำไปทำการด้ายสาจะได้กระดาษสาที่มีความหนาสม่ำเสมอ แต่การประสานด้วยเส้นใย

จะไม่เห็นยาเท่ากับการทุบด้วยมือเมื่อเยื่อผ่านการทุบแล้วถูกนำไปสักน้ำให้แห้ง แล้วเก็บใส่ถุงไว้ ข้อมูลต่อไป

### 1.8 การข้อมูล

ขั้นตอนการข้อมูลจะมีวิธีการคล้ายการขั้นตอนการฟอกเยื่อแต่จะต่างกันตรงใช้สารเคมีที่ใช้ข้อมูลและการผสมตัวลงในน้ำจะทำเมื่อน้ำมีอุณหภูมิถึง  $80^{\circ}\text{C}$  (โดยการต้มด้วยไอน้ำ) และค่อยใส่เยื่อลงไปข้อมูล แล้วต้มน้ำข้อมูลเยื่อต่อไปอีกจนถึง  $80^{\circ}\text{C}$  อีกครั้งแล้วหยุดให้ความร้อนจากนั้นจะแห้งทึบไว้ราว 8 ชั่วโมง โดยจะคนเยื่อในอ่างข้อมูลทุกชั่วโมงเป็นอย่างน้อยจากนั้นจะนำเยื่อขึ้นแล้วนำไปสักด้วยเครื่องปั่นเยื่อ

## 2. กระบวนการผลิตแผ่นกระดาษสา

กระบวนการผลิตแผ่นกระดาษสา สามารถแบ่งย่อยออกเป็น 2 แบบ คือ

### 2.1 การผลิตโดยใช้เครื่องจักร (เครื่องรีดกระดาษ)

หน่วยการผลิตด้วยเครื่องรีดกระดาษ จะมีเครื่องจักรประกอบกัน โดยท่าน้ำที่กันอย่างต่อเนื่อง คือ อ่างตื้นเยื่อ อ่างผสมน้ำเยื่อและ เครื่องรีดกระดาษ หลังจากตีเยื่อแล้วจะปล่อยเยื่อลงสู่ อ่างผสมน้ำเยื่อซึ่งอยู่ระดับต่ำกว่าเพื่อผสมน้ำเยื่อให้สม่ำเสมอแล้วป้อนเข้าเครื่องรีดกระดาษซึ่งจะผลิตกระดาษ เป็นม้วนขนาดใหญ่และ สามารถขายได้ทันที (โดยมาตรฐานของม้วนกระดาษ สำเร็จรูป) จะมีน้ำหนัก  $250\text{ g}$  โดยจะออกขายเป็นม้วนหรือเป็นแผ่นก็ได้

### 2.2 การผลิตโดยใช้มือ

จะเริ่มด้วยการตีเยื่อที่ถูกข้อมูลแล้วในอ่างขนาดเล็ก หลังจากที่ตีเยื่อเสร็จแล้วก็จะนำไปสักในเครื่องสักแล้วปั้นเป็นลูกกลมขนาดที่เหมาะสม เพื่อใช้ทำกระดาษสาในบล็อก (น้ำหนักประมาณ  $120\text{ g/cm}^3$ ) อันดับต่อไปจะนำปั้นเยื่อกระดาษที่ได้ไปกระจายในบล็อกโดยจะทำในอ่างที่มีน้ำอยู่ลึกพอท่วมบล็อก โดยจะใช้มือเกลี่ยกระดาษให้ทั่วทั้งบล็อกอย่างสม่ำเสมอแล้วนำไปตากแดดซึ่งขั้นตอนที่กล่าวมาเรียกว่าการแต่การแตะจะทำในอ่างแซ่นขนาดเล็ก ( $80\text{ cm} \times 122\text{ cm} \times 4\text{ cm}$ ) น้ำที่ใช้ในระหว่างการแตะจะสามารถใช้ได้หลายครั้ง ซึ่งส่วนใหญ่จะเปลี่ยนหลังจากแตะได้ 20-30 บล็อกแล้ว หลังจากที่แตะเสร็จแล้วจะนำไปตากแดดให้แห้ง ซึ่งถ้าหากฝนไม่ตกก็จะไม่การผลิตในหน่วยกระดาษสามมือ เนื่องจากกระดาษสาที่มีคุณภาพต่ำกว่าจะไม่แห้งในแสงแดดในโรงงานที่ทำการศึกษาได้ใช้กระบวนการผลิตกระดาษสาโดยใช้มือ ศุภวัฒน์ และอาช (2544)

## แหล่งที่มาของน้ำทึ้งจากโรงงานกระดาษสา

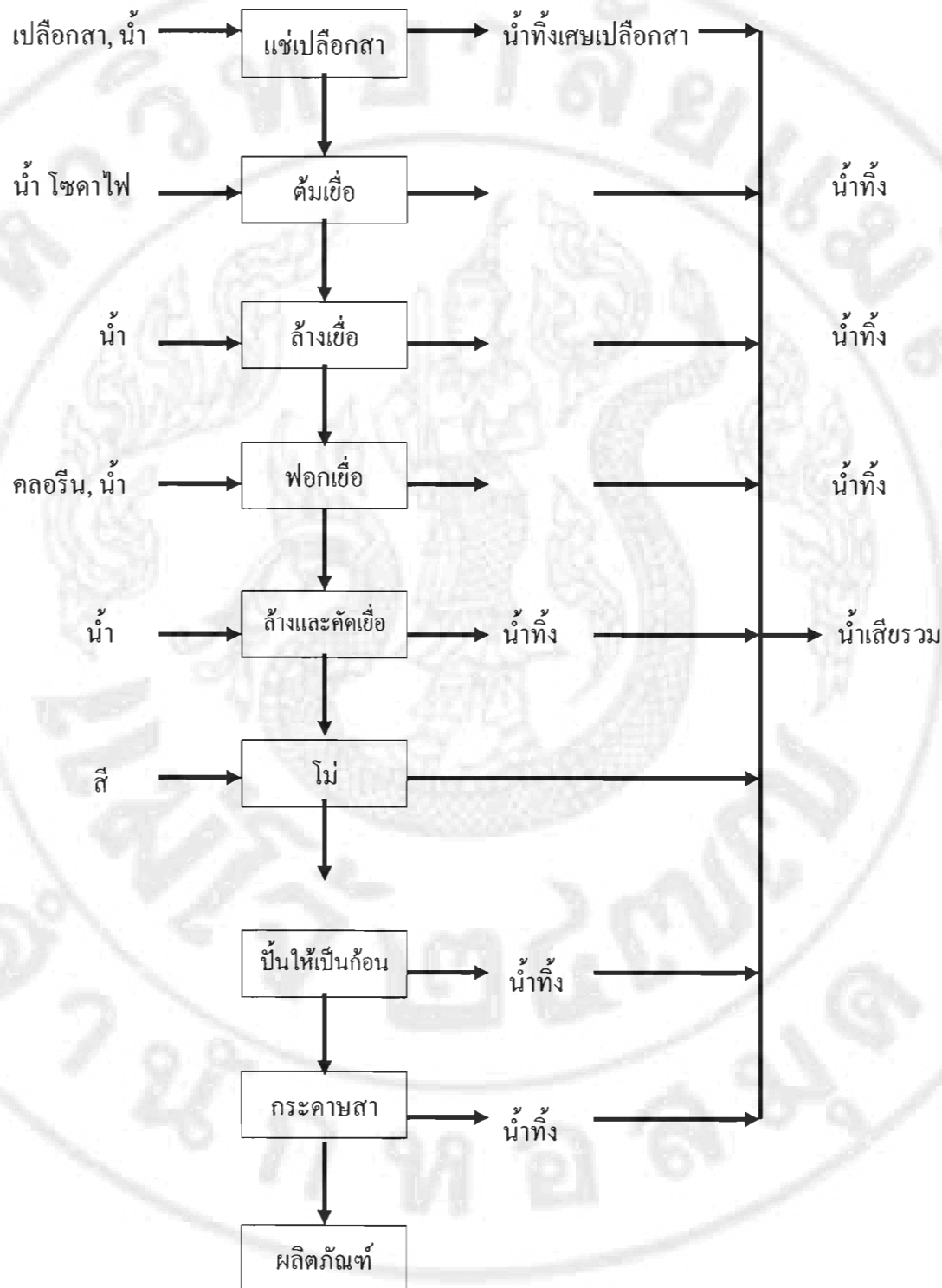
จากที่กล่าวถึงกระบวนการผลิตกระดาษสาที่ผ่านมาพอจะอธิบายได้ถึงการเก็บน้ำเสียต่างๆ ซึ่งรายละเอียดของจุดเกิดน้ำเสียของกระบวนการผลิตกระดาษสาได้แสดงดังรายละเอียดในภาพ 1

### น้ำเสียจากกระบวนการผลิตเยื่อกระดาษสา มีดังต่อไปนี้

1. น้ำทึ้งจากการแปรเปลี่ยนสาเป็นน้ำทึ้งที่มีสี กลิ่นรวมกันทั้งของแข็งที่เป็นเศษเยื่อ
2. น้ำทึ้งจากหม้อต้มเยื่อสาเป็นน้ำที่มีมวลสารสูงมากและจัดว่าสูงที่สุดในทุกกระบวนการผลิต
3. น้ำทึ้งจากการฟอกเยื่อซึ่งประกอบด้วย
  - น้ำทึ้งจากการฟอกเยื่อด้วยคลอริน
  - น้ำทึ้งจากการล้างหลังการฟอกด้วยน้ำเปล่า
4. น้ำทึ้งจากการล้างและฉีกเยื่อ
5. น้ำทึ้งจากการสัดสี
6. น้ำทึ้งจากการอ่างล้างเยื่อ

### น้ำเสียจากกระบวนการผลิตกระดาษสา มีดังต่อไปนี้

1. จากเครื่องรีดกระดาษ เป็นน้ำที่มีค่ามวลสารต่ำ ซึ่งน้ำจะพิจารณาถึงการนำกลับมาใช้ใหม่
2. จากหน่วยกระดาษสาเมื่อ ซึ่งประกอบไปด้วย
  - น้ำทึ้งจากการสัดสีเท่านั้น
  - น้ำทึ้งจากการอ่างแตะ夷อ มีสีค่อนข้างเข้ม อ่อนๆ ตามปริมาณน้ำทึ้งจากกระบวนการนี้มีปริมาณน้ำเสียต่ำมากเมื่อเปรียบเทียบกับกระบวนการอื่นๆ



ภาพ 1 ผังกระบวนการผลิตกระดาษสาและน้ำเสียที่เกิดขึ้น

## สีรีแอคทีฟ (Reactive Dye)

สีรีแอคทีฟ เป็นสีข้อมที่สามารถทำปฏิกิริยาเกิดพันธะทางเคมีกับเส้นใยในสภาพที่เหมาะสมได้ ก่อนที่จะมีการคั่นพนสีรีแอคทีฟ เมื่อปี ค.ศ. 1956 นั้น สี ข้อมฝ่ายที่สำคัญ มีเพียงสีไคร์เรกท์ สี เว็ต และสีอะโซชิอิคเท่านั้น สี ข้อมทั้ง 3 ประเภทนี้ ล้วนมีข้อจำกัดในการใช้งาน กล่าวคือ สี ไคร์เรกท์แม้ว่าจะใช้ง่าย ราคาถูก แต่ความคงทนต่อการซักซียงไม่ดีพอ ส่วนสีเว็ตนั้นแม้ว่าจะให้สีที่มีความคงทนคุณภาพดีกว่า แต่สีนี้มีความสกปรกมาก ไม่สามารถซักซียงได้ จึงเป็นจุดเสียด้วยกันที่สีรีแอคทีฟเป็นสีที่ข้อมจ่ายได้ ให้สีที่มีความสกปรกน้อยลง โดยเฉพาะเมื่อเทียบกับสีไคร์เรกท์หรือสีเว็ต และยังมีสีสันต่างๆ ให้เลือกมาก ส่วนในด้านราคาก็ไม่แพงเกินไป จนเป็นที่ยอมรับกันว่า สีรีแอคทีฟได้ทำให้ปริมาณการใช้สีข้อมฝ่ายประเภทอื่นๆ ลดลง โดยเฉพาะสีเว็ตซึ่งในปัจจุบันสีรีแอคทีฟได้กลายเป็นสีข้อมที่มีความสำคัญมากประเภทหนึ่ง

สีรีแอคทีฟสามารถละลายนำ้ได้ ทำปฏิกิริยากับหมู่ไฮดรอกซิล (-OH) ในเส้นใย เชลลูโลส ได้พันธะโคเวเลนต์ที่มีความแข็งแรงกว่าพันธะไฮดรอเจนที่เกิดระหว่างสีไคร์เรกท์กับเส้นใยเชลลูโลสมาก จึงมีความคงทนต่อการซักดี

### กระบวนการสร้างตะกอน

กระบวนการสร้างตะกอน เป็นกระบวนการทางเคมีที่ทำให้อนุภาคแขวนลอยหรืออ่อนตัวๆ ในน้ำรวมตัวกัน成团 มีขนาดใหญ่และสามารถแยกออกจากน้ำได้ โดยการตกตะกอนหรือการกรอง ในกระบวนการสร้างตะกอนจะประกอบด้วยกลไก 2 ขั้นตอน คือ ขั้นตอนการทำลายเสถียรภาพของอนุภาคและขั้นตอนการทำให้อนุภาคเหล่านี้เกาะหรือรวมตัวกัน โดยทั่วไประบบที่ใช้เป็นระบบสร้างตะกอนนั้นจะประกอบด้วยส่วนต่างๆ ดังนี้ คือ

#### 1. ถังกวนเร็ว (rapid mixing tank)

ถังนี้จะใช้ในการผสมสารเคมีหรือสารตกตะกอนที่จะไปทำลายเสถียรภาพของอนุภาคที่แขวนลอยอยู่ในน้ำและทำหน้าที่กระจายสารเคมีหรือสารสร้างตะกอนไปให้ส่วนต่างๆ ของน้ำอย่างรวดเร็ว

#### 2. ถังกวนช้า (flocculation tank)

จะทำหน้าที่ในการสร้างสัมผัสให้กับอนุภาคที่ถูกทำลายเสถียรภาพแล้วให้รวมตัวกันเกิดเป็นฟลีก

### 3. ถังตัดตะกอน (clarifier)

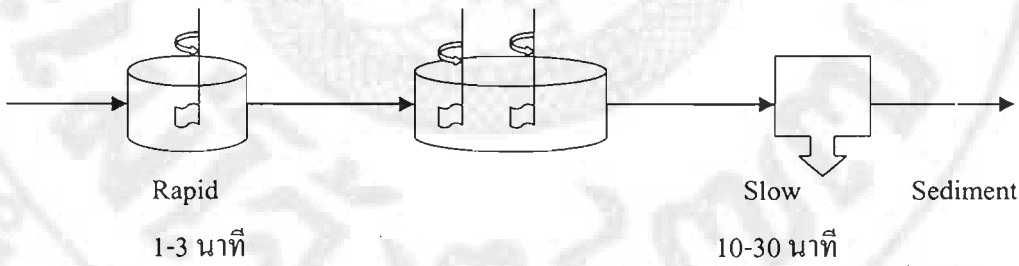
จะเป็นถังไว้สำหรับพักหรือปล่อยให้ตะกอนส่วนใหญ่จมด้วยแรงโน้มถ่วงของโลกเกิดการแยกตัวจากน้ำใส่ได้ง่าย

### 4. ถังกรอง (filter tank)

จะทำหน้าที่ในการกรองเอาตะกอนบางส่วนที่ขังคงหลงเหลืออยู่จากถังตัดตะกอน

## กระบวนการสร้างตะกอนโดยสารเคมีต่างๆ

สารสร้างตะกอนเคมีที่ใช้กันในระบบบำบัดน้ำเสียมีอยู่ด้วยกันหลายชนิด แต่นิยมใช้กันได้แก่ สารส้ม(Alum) ( $\text{Al}_2(\text{SO}_4)_3 \cdot 18\text{H}_2\text{O}$ ), Ferrous Sulfate, Ferric Salts, Sodium Aluminate เป็นต้น สำหรับในการทำให้ประเพณีภาพของการสร้างรวมตะกอนเคมีได้จำเป็นต้องเติมสารช่วยสร้างตะกอน (Coagulation Aids) ได้แก่ กรด ค่าง, Activated Silica, Polyelectrolyte, ดินเหนียว เป็นต้น และจะมีความเป็นกรด – ค่าง ( $\text{pH}$ ) ที่เป็นปัจจัยหนึ่ง เพราะถ้า  $\text{pH}$  อยู่ในระดับที่เหมาะสมอาจไม่จำเป็นต้องเติมสารสร้างตะกอนเคมีมากเกินไป โดยจะต้องการหาปริมาณสารเคมีที่เหมาะสมที่สุดเท่านั้น



## ภาพ 2 กระบวนการสร้าง-รวมตะกอนเคมี

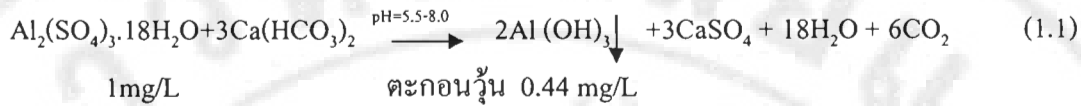
ที่มา: (เกรียงศักดิ์, 2542)

### รายละเอียดของสารตัดตะกอนเคมี

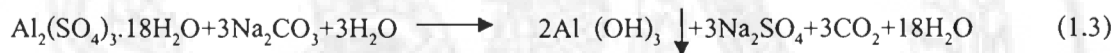
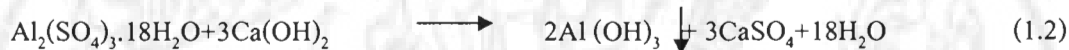
#### กระบวนการสร้างตะกอนด้วยสารส้ม (Alum) $\text{Al}_2(\text{SO}_4)_3 \cdot 18\text{H}_2\text{O}$

(เกรียงศักดิ์, 2542) ได้อธิบายว่า สารส้ม มีสูตรโมเลกุล  $\text{Al}_2(\text{SO}_4)_3 \cdot 18\text{H}_2\text{O}$  มีน้ำหนักโมเลกุลเท่ากับ 666.7 จะมีทึ้งท่ออยู่ในสภาพเป็นก้อนๆ เป็นผง หรือเป็นของเหลว เมื่อสารส้มทำปฏิกิริยากับน้ำเสียซึ่งถ้ามีสภาพเป็นค่าง (alkalinity) จะเกิดตะกอนวุ้นรูปร่างคล้ายหัวเข็มหมุดของ

$\text{Al(OH)}_3$  (Aluminum Hydroxide) ดังในสมการ (1.1) คือ เมื่อสารสัมบูรณ์  $1\text{mg/L}$  ผสมกับน้ำเสียจะลดปริมาณคงตัว  $0.5 \text{ mg/L}$ ของ  $\text{CaCO}_3$ และเกิดการรับอนุโถกไฮดรอเจน  $0.44 \text{ mg/L}$



ถ้า  $\text{n}\text{a}\text{a}\text{n}\text{a}\text{s}\text{e}\text{y}$  ไม่มีสภาพค่าคงตัว จำเป็นต้องเติมค่าคงผลลงไปเพื่อเพิ่มประสิทธิภาพค่าคงตัวในน้ำเสีย เช่น เติมปูนขาว ( $\text{Ca}(\text{OH})_2$ ) หรือพาวด์ Soda ash ( $\text{Na}_2\text{CO}_3$ ) ดังแสดงในสมการ(1.2)และ(1.3)



(กฎภัทร์และ จักรกฤษ, 2543) ได้อธิบายว่า เมื่อละลายลงในน้ำจะแตกตัวเป็นไอออนลบ และไอออนบวกดังสมการ (1.4)



ไอออนบวก( $\text{Al}^{+3}$ ) จะมีน้ำหนัก 6 โมเลกุลในรูปของ เรียกว่า Aquametal Ion ซึ่งมีลักษณะเป็นกรด ทำให้เกิดปฏิกิริยาไฮโดรไลซิสให้ไอออน  $\text{H}_3\text{O}^+$  และสารประกอบเชิงช้อนชนิด monomeric hydroxo complex ดังสมการ 1.5-1.8



จากสมการจะเห็นว่าความเข้มข้นของสารประกอบเชิงช้อน จะขึ้นอยู่กับความเข้มข้นของอลูมิเนียมและ pH สามารถคำนวณได้จากสมดุลของปฏิกิริยาและแสดงได้เป็น Stability Diagram สารประกอบเชิงช้อนแบบ monomeric hydroxo complex สามารถทำปฏิกิริยาและรวมตัวกันเป็นสารประกอบเชิงช้อนที่มีอลูมิเนียมมากกว่าหนึ่งอะตอมเรียกว่า polymeric hydroxo complex เช่น  $\text{Al}_{13}(\text{OH})_{34}^{+5}$ ,  $\text{Al}_7(\text{OH})_{17}^{+4}$ ,  $\text{Al}_8(\text{OH})_{20}^{+4}$  และ  $\text{Al}_6(\text{OH})_{15}^{+3}$  นอกจากนี้ไอออนลบในน้ำ เช่น  $\text{SO}_4^{2-}$ ,  $\text{PO}_4^{3-}$ ,  $\text{Cl}^-$  ที่สามารถแทนโมเลกุลของน้ำในสารประกอบเชิงช้อนต่างๆ ได้ด้วย

## 1. กลไกการสร้างตะกอนของสารส้ม

สารส้มหรือสารประกอบเหล็ก สามารถทำลายเสถียรภาพของคอลloid จึงเกิด สร้างตะกอนได้ด้วยกลไกหลัก 2 ประการ ซึ่งขึ้นอยู่กับปริมาณของสารสร้างตะกอนและความเป็นกรดเป็นด่างของน้ำ กลไกดังกล่าวคือ กลไกแบบคุณติดผิวและทำลายประจุ และกลไกแบบห่อหุ้ม อนุภาคคอลloid ด้วยผลึก ในการทำสารสร้างตะกอนด้วยสารส้มหรือเหล็กของน้ำธรรมชาติส่วนใหญ่มักมีกลไกแบบห่อหุ้มอนุภาคคอลloid ด้วยผลึกเป็นกลไกหลัก โดยอาจมีกลไกแบบคุณติดผิวและทำลายประจุเป็นกลไกร่วมซึ่งมีบทบาทด้อยกว่า แสดงให้เห็นถึงกลไกทั้งสองชนิดที่สารส้มใช้ในการสร้างตะกอน

### 1.1. กลไกแบบคุณติดผิวและทำลายประจุ

สารประกอบเชิงช้อนที่เกิดขึ้นจากปฏิกิริยา hydrolysis ของสารส้มจะสามารถคุณติดผิวของอนุภาค และถ้าสารประกอบเชิงช้อนเป็นประจุบวกก็จะลดประจุของอนุภาค (ประจุลบ) ลง ทำให้เสถียรภาพของอนุภาคแหวนลอยคล่อง จนสามารถรวมตัวกันเป็นฟลีอคจนตัวลง กลไกนี้จะเกิดขึ้นในเวลา  $10^{-4} - 1$  นาทีและจะต้องมีปริมาณสารประกอบเชิงช้อนที่พอเหมาะสมเท่านั้น ดังนั้นการควบคุมให้เกิดกลไกนี้จึงทำได้ยาก

### 1.2. กลไกแบบห่อหุ้มอนุภาคด้วยผลึก (sweep coagulation)

ถ้าสารคุณติดผิวไม่เกิดขึ้นในเวลา 1 นาทีหรือมีการเติมสารส้มจนความเข้มข้นของอัลูมิเนียมสูงกว่าจุดอิ่มตัวปฏิกิริยา Hydrolysis ก็จะดำเนินต่อไปจน hydrolysis complex กลายเป็น  $\text{Al(OH)}_3$  เกิดเป็นกลไกแบบห่อหุ้มอนุภาคคอลloid ด้วยผลึก  $\text{Al(OH)}_3$  ซึ่งมีลักษณะคล้ายปุ่ปุ่ เมื่ออนุภาคแหวนลอยสัมผัสกับผลึก  $\text{Al(OH)}_3$  ก็จะเกาะจับอยู่กับผลึกนั้น ทำให้มีขนาดใหญ่ขึ้นและจะรวมตัวลงกลไกนี้จะเกิดได้ที่สุดเมื่อใช้สารส้มในปริมาณมากจนทำให้ผลกูล  $\text{Al}^{3+}$  และ  $(\text{OH})^-$  มีค่ามากเกินกว่า  $K_{sp}$  และ  $pH$  ของน้ำควรอยู่ในช่วง 6-7.5 กลไกแบบนี้จะเกิดง่ายกว่าแบบแรกแต่จะเปลี่ยนสารส้มกว่าและให้ตะกอนที่อัดตัวไม่แน่นดึงน้ำออกได้ยาก ในบางสภาวะการสร้างตะกอนจะมีกลไกทั้งสองแบบเกิดขึ้นร่วมกัน ซึ่งถือว่าเป็นกลไกการสร้างตะกอนแบบร่วม

การออกแบบและควบคุมการสร้างตะกอนด้วยสารส้มแสดงให้เห็นว่าการสร้างตะกอนด้วยกลไกแบบห่อหุ้มอนุภาคคอลloid ด้วยผลึกจะได้ผลดีที่สุดที่ความเป็นกรดค่า 6.8 ถึง 8.2 และใช้สารส้ม 20 ถึง 50 mg/L กลไกแบบเกะติดผิวกลไกแบบเกะติดผิวและทำลายประจุและแบบผสม ทำให้เกิดการสร้างตะกอนได้ด้วยสารส้มน้อยกว่า 10 mg/L (มันสิน, 2542 )

เกียรติศักดิ์ และ คณิต (2542) ได้ทำการศึกษาการนำบัคชันดันน้ำเสียจากโรงงานผลิตกระดาษสาโดยกระบวนการสร้างตะกอน ใช้น้ำเสียจากกระบวนการต้มเปลือกสาจากโรงงานผลิตกระดาษสาแห่งหนึ่งในจังหวัดเชียงใหม่ นำมาทดลองจาร์เทสเพื่อหาความเข้มที่

เหมาะสมของสารสร้างตะกอนชนิดต่างๆ และเปรียบเทียบประสิทธิภาพของสารสร้างแต่ละชนิดในการบำบัดค่า COD (chemical oxygen demand) และแข็งเหวนลอย(suspended solid, SS) จากผลการศึกษาพบว่าการใช้สารสัม 15 mg/L เฟอร์สชัลเฟต 900 mg/L และ เฟอริกคลอไรค์ ( $\text{FeCl}_3$ ) 1,000 mg/L สามารถลดค่า COD ได้ร้อยละ 45.8 ร้อยละ 45.4 และร้อยละ 42.0 และสามารถลดค่า ของแข็งเหวนลอยได้ร้อยละ 78.4 ร้อยละ 85.2 และร้อยละ 37.6 สรุปได้ว่าสารสัมมีประสิทธิภาพ สูงสุดในการบำบัดขั้นต้นและมีราคาถูกที่สุด

ศุภวัฒน์ และ อาชว์ (2544) ได้ทำการศึกษาความเป็นไปได้ในการบำบัดน้ำเสียจาก โรงงานกระดาษแห่งหนึ่งในจังหวัดเชียงใหม่ ซึ่งเกิดจากกระบวนการต้มเปลือกสา (pulping waste) โดยใช้กระบวนการตัดตะกอน ซึ่งเป็นการบำบัดน้ำเสียขั้นต้น (pre-treatment) โดยการ ทดลองนี้โดยใช้วิธีjar-test บำบัดด้วยตัวต่างๆ สูงสุด ได้แก่ ความชุ่น(turbidity) SS COD และ TKN (total kjeldahl nitrogen) และเพื่อศึกษาความสัมพันธ์ระหว่างค่าตัวแปรที่ประสิทธิภาพสูงสุดต่อ ปริมาณเฟอริกคลอไรค์ ( $\text{FeCl}_3$ ) ที่ใช้ต่อหน่วยความเข้มข้นเริ่มต้น พบร่วมเฟอริกคลอไรค์ ( $\text{FeCl}_3$ ) ที่ ใช้สามารถกำจัดความชุ่น, ร้อยละ 16–90, SS ร้อยละ 87–96 COD ร้อยละ 72-88 และ TKN ร้อยละ 76–87 และปริมาณการใช้เฟอริกคลอไรค์( $\text{FeCl}_3$ ) ลดลง เมื่อดilution factor เพิ่มขึ้น

จิตราดา และ วรารณ (2538) ได้ทำการศึกษาการบำบัดน้ำเสียจากการต้มเปลือกสา โดยการใช้สาหร่ายเกลียวทอง (*Spirulina platensis*) มีวัตถุประสงค์ในการศึกษาอยู่ 2 ประการ คือ เป็นการศึกษาเพื่อหาประสิทธิภาพในการบำบัดสีในน้ำเสีย โดยการใช้ตัวแปร คือ สี pH และใช้ คลอโรฟิลล์ในการศึกษา เพื่อหาปริมาณการเริ่มต้นโดยของสาหร่ายและสภาพที่เหมาะสมในการ เพาะเลี้ยงสาหร่ายเกลียวทอง โดยทำการทดลองที่ค่าสีของน้ำเสียต่างๆ ดังนี้ คือ 100 160 300 600 1,200 และ 2,500 หน่วยสี โดยใช้ระบบบำบัดน้ำเสียแบบ ALGAE POND ซึ่งการศึกษาระบบนี้ได้ จำลองระบบให้มีปริมาตรเท่ากับ 25 L โดยใช้เวลาในการศึกษาแต่ละการทดลองประมาณ 20 -30 วัน พบร่วม เมื่อใช้เวลาในการทดลองประมาณ 20 วัน ประสิทธิภาพในการบำบัดสีประมาณร้อยละ 60 – 70 ประสิทธิภาพในการบำบัด COD อยู่ในช่วงร้อยละ 80 -95 พบร่วมปริมาณการเติบโตของ สาหร่ายจะสูงสุดเมื่อใช้ค่าความเข้มสี 300 หน่วยสี ใน การทดลองประมาณ 30 วัน และพบว่า ประสิทธิภาพในการบำบัดสี จะมีค่าสูงคือร้อยละ 72 ประสิทธิภาพในการบำบัด COD จะมีค่าสูงสุด คือร้อยละ 92 เมื่อใช้ค่าความเข้มสี เท่ากับ 300 หน่วยสี

## 2 การสร้างตะกอนด้วยพลีอกรูมิเนียมคลอไรค์ (PAC)

กาญจนิกา (2536) ได้กล่าวว่า ปัญหาที่มักจะเกิดขึ้นต่อกระบวนการสร้างตะกอน คือ ผลกระทบจากค่า pH และค่าสภาพต่างหาก pH ไม่อยู่ในช่วงที่เหมาะสมกระบวนการตัดตะกอนจะมี

ประสิทธิภาพต่ำหรือไม่มีประสิทธิภาพเลย ตัวอย่างเช่น การใช้อลูมิเนียมซัลเฟต เป็นสารสร้างตะกอนเพียงปริมาณเล็กน้อย จะทำให้ค่า pH ลดต่ำลงมากดังสมการ (2.1)



ผลิตภัณฑ์ที่เกิดขึ้นอันได้แก่ สารประกอบไฮดรอกไซด์ซึ่งจะตกตะกอนลงมา และกรดแร่จะทำให้ pH ลดต่ำลง มีผลต่อค่าสภาพค่างในน้ำ ดังนั้นจึงต้องมีการเติมสารเคมีเพื่อปรับสภาพของน้ำไม่ให้มี pH ต่ำลงมาก ดังสมการ (2.2)

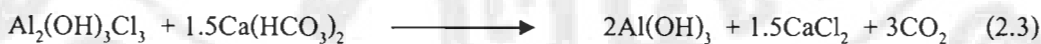


จากสมการข้างต้นทำให้เกิดผลิตภัณฑ์ทุติยภูมิ คือก้าชาร์บอนไคลอออกไซด์ซึ่งบางครั้งจะรบกวนขั้นตอนการตกตะกอน โดยที่ก้าชนีจะloyขึ้นสู่เหนือน้ำแล้วดันตะกอนให้ลอยขึ้นมาด้วย หรือทำให้ตกลงสู่เบื้องล่างชั้นและทำให้เกิดความกระต้างถาวรขึ้น

โพลีอลูมิเนียมคลอไรด์เป็นสารเคมีที่มีสูตรโมเลกุลเรียงต่อกันเป็นสายยาว มีสูตรโมเลกุลดังนี้ คือ



โพลีอลูมิเนียมคลอไรด์เป็นการสร้างตะกอนที่ได้รับการพัฒนาขึ้น เพื่อลดปัญหาดังกล่าวในการทำปฏิกิริยา hydrolysis เมื่อมีการสร้างตะกอนเกิดขึ้น คลอไรด์ไอออนที่เกิดขึ้นจะเข้ารวมกับตะกอนแล้วตกลงสู่เบื้องล่าง จึงไม่มีปัญหาสภาพเป็นกรดมากนักเมื่อเทียบกับ สารตกตะกอนอย่างอื่นๆ จึงไม่มีผลเปลี่ยนแปลงค่าสภาพค่าง เกิดผลิตภัณฑ์คาร์บอนไคลอออกไซด์น้อยกว่าจึงไม่ใช่ปัญหาเรื่องตะกอนลอยไม่เกิดความกระต้างถาวรเหมือนและจำนวนสารเคมีที่ใช้ในการปรับสภาพน้ำก็ใช้น้อยกว่าด้วยดังสมการ (2.3) ต่อไปนี้



#### คุณสมบัติของโพลีอลูมิเนียมคลอไรด์ เมื่อเป็นการสร้างตะกอน

1. มีอำนาจในการสร้างตะกอนและการรวมตัวของตะกอนสูงและการตกตะกอนจะเป็นไปอย่างรวดเร็วกว่าสารสัม

2. สะดวกในการใช้งานเนื่องจากมีสมบัติในการละลายน้ำได้ดี

3. ในการทำงาน โพลีอลูมิเนียมคลอไรด์ จะมีช่วงความเป็นกรดค่าง ในการเกิดปฏิกิริยากว้างกว่าสารสร้างตะกอนตัวอื่นๆ ปกติจะมีความเป็นกรดค่างอยู่ในช่วง 6 ถึง 9 แต่บางกรณีจะสามารถตัดตะกอนในช่วงความเป็นกรดค่าง 5 ถึง 10

#### 4. โพลีอัลูมิเนียมคลอไรด์สามารถสร้างตะกอนได้เร็วกว่าสารสัมบูรณ์ระยะเวลาในการกรุณเร็วน้อยกว่า

##### กลไกการตกตะกอนด้วยโพลีอัลูมิเนียมคลอไรด์

โพลีอัลูมิเนียมคลอไรด์ เป็นสารเคมีที่อยู่ในรูปของแข็งหรืออยู่ในรูปสารละลายโพลีอัลูมิเนียมคลอไรด์ เมื่ออยู่ในน้ำจะเกิดการแตกตัวได้  $\text{Al}^{+3}$  เช่นเดียวกันกับสารสัมบูรณ์ ดังนั้นกลไกในการทำปฏิกิริยาจึงน่าจะใกล้เคียงกับกลไกการทำปฏิกิริยาของสารสัมบูรณ์อินทรีย์ได้ดังนี้

เมื่อโพลีอัลูมิเนียมคลอไรด์แตกตัวจะได้  $\text{Al}^{+3}$  ที่มีความสามารถให้ไฮดรเจนไอออนเข้าจึงเกิดการ Hydrolysis ของอะลูมิเนียมได้สารต่างๆ เช่น  $\text{Al}_{13}(\text{OH})_{34}^{+5}$ ,  $\text{Al}_{17}(\text{OH})_{17}^{+4}$ ,  $\text{Al}_6(\text{OH})_{15}^{+3}$  เป็นต้น ซึ่งเป็นที่มีอัลูมิเนียมหลายอะตอมที่เรียกว่า polymeric hydroxo complex ซึ่งมีความสามารถในการปฏิกิริยากับคอลloidอยู่ ทำให้อนุภาคคอลloidยึดไม่เสถียรแล้วทำให้เกิดการรวมกลุ่มกันเป็นอนุภาคที่ใหญ่ขึ้นแล้วจึงตกตะกอน สำหรับการสร้างตะกอนความเป็นกรดค่าคงของน้ำจะมีความสำคัญต่อประจุที่เกิดขึ้นจากการ hydrolysis เนื่องจากถ้าความเป็นกรดค่าคงต่ำสารประกอบเชิงช้อนที่มีประจุบวก จะเกิดขึ้นมาก จะให้ผลในการเพิ่มทั้งปริมาณและอัตราเร็วในการตกตะกอนออกจากจะจับกับอนุภาคคอลloidแล้วขึ้นทำปฏิกิริยากับไฮดรอกซิล ไอออนในกลาญเป็นตะกอนเล็กๆ และเนื่องจาก มีประสิทธิภาพสูงในการทำลายประจุของอนุภาคคอลloid ดังนั้นมีเดิน โพลีอัลูมิเนียมคลอไรด์ลงไปในน้ำจะต้องผสมอย่างรวดเร็วทันทีแล้วจึงลดอัตราเร็วในการกรุณช้าลง เพื่อให้ตะกอนที่เกิดขึ้นมีโอกาสสัมผัสและจับตัวกันเป็นก้อนใหญ่ขึ้น แล้วจึงแยกตะกอนที่เกิดขึ้นออกมา โดยการปล่อยให้ตกตะกอนตามธรรมชาติ

Boon et al (1999) ได้ทำการศึกษาเปรียบเทียบประสิทธิภาพในการบำบัดน้ำเสียสีโดยสารตกตะกอน 3 ชนิดในการทดลองคือ แมgnีเซียมคลอไรด์ สารสัมบูรณ์และโพลีอัลูมิเนียมคลอไรด์ (PAC) โดยใช้น้ำเสียจริงจากกระบวนการข้อมูลซึ่งเป็นสี ชนิด reactive dye ทำการทดลองโดยกระบวนการjar-test ทำการศึกษาถึงผลของ pH ปริมาณของสารตกตะกอนที่ใช้และชนิดของสารตกตะกอนที่ใช้มีต่อประสิทธิภาพในการตกตะกอน โดยทำการกรุณและปรับ pH ที่ 80-85 rpm (round per minute) เป็นเวลา 3 นาที จากนั้นกรุณช้าที่ 30-35 rpm เป็นเวลา 10 นาทีทำการปรับ pH ในช่วง 4-12 และปริมาณของสารตกตะกอนที่ใช้แตกต่างกัน 2-7 g ของสารตกตะกอนต่อลิตรของน้ำเสีย ซึ่งจากการทดลองสรุปได้ว่า การตกตะกอนเกิดขึ้นได้ที่ความเป็นกรด-ค่าคง 10.5-11 และเวลาในการสร้างตะกอนของแมgnีเซียมคลอไรด์ใช้เวลาน้อยกว่า PAC โดยร้อยละในการกำจัด COD และของแข็งแขวนลออย่างเท่ากับ 97.9 88.4 และ 95.5 ตามลำดับ

ปัจจัยที่มีผลต่อการจับตัวและรวมตัวกันเป็นฟลีอค (ศุภวัฒน์ และ อาชร์, 2544)

ปัจจัยที่มีผลต่อการจับตัวและรวมตัวกันเป็นฟลีอค มีดังนี้คือ

#### 1. pH

การใช้สารสร้างตะกอนที่ดี ขึ้นกับสภาพน้ำ หากใส่เพื่อรักษาไว้จะทำให้น้ำมีสภาพเป็นกรดมากขึ้นทำให้อ้อยในช่วงความเป็นกรดค่าที่เหมาะสม

#### 2. เกลือแร่ต่างๆ

ผลกระทบของอิออนชนิดต่างๆ เช่น ซัลเฟตต่อการจับตัวเป็นฟลีอคทำให้เกิดการเปลี่ยนแปลงดังนี้

- เปลี่ยนแปลงช่วง pH ที่ดีที่สุดในการเกิดฟลีอค
- เปลี่ยนแปลงระยะเวลาในการเกิดฟลีอค
- ปริมาณที่เหมาะสมของสารสร้างตะกอนจะเปลี่ยนไป
- ปริมาณสารสร้างตะกอนที่เหลือในน้ำเปลี่ยนแปลงไป

#### 3. ความชุ่ม

ความชุ่มในน้ำเกิดจากเศษศินและแร่ธาตุต่างๆ ขนาด 0.002 ถึง 0.005 cm<sup>3</sup> อนุภาคเหล่านี้จะตกตะกอนบนกัน ได้เองถ้ามีเวลามากพอ การใส่สารสร้างตะกอนช่วยทำให้เกิดฟลีอคได้ง่ายและรวดเร็ว ปฏิกิริยาดังนี้น้ำที่มีความชุ่มมากโอกาสที่กอลลอยด์จะสัมผัสถกันมีมากจึงใช้สารสร้างตะกอนในปริมาณที่น้อยกว่าน้ำที่มีความชุ่มน้อย

#### 4. อุณหภูมิ

เมื่ออุณหภูมิลดลง ความหนืดของน้ำจะเพิ่มขึ้น อัตราการตกตะกอนของฟลีอคย่อมจะช้าลง เพราะมีแรงเสียดทานเพิ่มขึ้นเนื่องจากความหนืดเพิ่มขึ้น นอกจากนี้ค่าความเป็นกรดด่างกับเปลี่ยนแปลงไปตามอุณหภูมิ เมื่ออุณหภูมิลดลงอัตราการเกิดปฏิกิริยาต่างๆย่อมลดลง

#### 5. การกวน

เพื่อให้เกิดความปั่นป่วนขึ้นในน้ำในตอนแรกจะเป็นการกวนเร็ว ในขณะที่มีการเติมสารเคมีช่วยตกตะกอน เพื่อให้สารเคมีกระจายตัวในน้ำอย่างทั่วถึงและช่วยเพิ่มอัตราการชนกันระหว่างอนุภาคความชุ่มกับสารเคมีให้มากขึ้น โอกาสที่จะจับตัวเป็นฟลีอคก็จะเพิ่มขึ้นระยะเวลาที่จะใช้ในการกวนเร็วประมาณ 30-60 นาที

#### 6. อัตราการเกิดฟลีอค

ในระยะแรกของการเกิดฟลีอค จะมีอนุภาคจำนวนมากกันถ้วนมากเท่าใด อัตราการเกิดฟลีอคก็จะมีมากขึ้นเท่านั้น ซึ่งนอกจากจะช่วยเพิ่มจำนวนฟลีอคแล้วยังเพิ่มน้ำหนักและขนาดฟลีอคอีกด้วย ทำให้จับตัวได้ง่ายขึ้นปัญหานี้แก้ไขได้โดยนำตะกอนที่ตกแล้วส่วนหนึ่งหมุนเวียนกลับมา

ใช้เพื่อเพิ่มโอกาสที่อนุภาคและฟลีโคละจะชนกันให้เพิ่มมากขึ้น ถังตอกตะกอนแบบโซลิดซ์คอน-แทคท์ให้หลักการนี้

### ลินจี

ในปัจจุบันในอุตสาหกรรมอาหารกระป๋องเป็นที่นิยมนำลินจีมาเป็นวัตถุคืนหนึ่งที่นำมาแปรรูป จึงทำให้เกิดวัสดุเหลือทิ้งจากภาคอุตสาหกรรมเป็นจำนวนมากซึ่งเป็นปัญหาแก่ผู้ประกอบการในการกำจัดลินจีมีหลายสายพันธุ์แต่สายพันธุ์ที่เป็นที่นิยมนำมาแปรรูปในโรงงานอุตสาหกรรม คือ ลินจีสายพันธุ์ชงหวาย

ลินจีสายพันธุ์ชงหวาย มีลักษณะตันเป็นพุ่มใหญ่และค่อนข้างสูง โดยเริ่ว กิ่งก้านใหญ่ และมักจะหักบริเวณมุมรอบต่อของกิ่ง ในเป็นใบรวม ในยอดเรียงแบบสลับ ในหนานปลายใบแหลมฐานใบแคบ ขอบใบบิดเป็นคลื่น ยอดตีน เหลืองปนเขียว ปกติออกดอกเดือนธันวาคมถึงมกราคม ออกดอกเป็นช่อจากปลายยอดนานจากโคนไปหาปลายช่อ ผลมีหนามใหญ่ปลายแหลมแข็งเมื่อผลสุกหนามจะห่างและไม่ค่อยแข็งส่วนเปลือกเปลือกผลมีการขยายตัวออกเรื่อยๆ ส่วนความหนาของชั้น cuticle ที่เคลื่อนอยู่ชั้นนอกสุดของเปลือกผลมีค่าลดลง ซึ่งอาจเกิดจากการขยายตัวของรากเริ่วของเปลือกผล และ / หรือ การสังเคราะห์ cuticle ลดลง พร้อมรับการเกิดรอยแตกเล็กๆ บนเปลือก (Micro Cracking) ค่า pH ของเปลือกเพิ่มขึ้น ในขณะที่ปริมาณ phenolic-compounds) และคติวิติของเอนไซม์โพลีฟีโนอลออกซิเดส (polyphenol oxidase) และเอนไซม์ Peroxidase (peroxidase) รวมทั้งปริมาณกรด L-ascorbic มีค่าลดลง แต่เอนไซม์ฟีโนอลอานีนอะมอนิยาลีอาเซ (phenylalanine ammonialyase; PAL) มีแอคติวิตี้เพิ่มขึ้น ซึ่งสัมพันธ์กับการเปลี่ยนแปลงสีของเปลือกผลเป็นสีแดงโดยในช่วงแรกเปลือกผลจะมีสีเขียวเนื่องจากเปลือกผลมีเม็ดคลอโรพลาสต์ (chloroplast) ซึ่งมีภายในมีรังควัตถุคลอโรฟิลล์ (chlorophyll) อยู่กระจายอยู่ในชั้น upper- mesocarp ของเปลือกผล ซึ่งเม็ดคลอโรพลาสต์เหล่านี้สามารถสังเคราะห์แสงได้จนกระทั่งผลเริ่มแก่คลอโรฟิลล์จะเริ่มถูกดัดแปลงร่วมกับการเปลี่ยนแปลงของเม็ดคลอโรพลาสต์และเริ่มมีการสังเคราะห์รงควัตถุเอนไซมานิน(anthocyanin) เพิ่มขึ้นซึ่งในตอนแรกจะพนรุงควัตถุเอนไซมานินอยู่ในบริเวณเนื้อเยื่อส่วน upper mesocarp แต่เมื่อเวลาผ่านไปด้านข้างจะต่อเนื่องกับคลอโรพลาสต์ทั่วทั้งชั้น mesocarp และข้างอาจพบได้ในชั้น epidermis อีกด้วย ทำให้เปลือกผลมีสีแดงเพิ่มขึ้นเมื่อผลแก่ (จำนำ และคณ, 2542)

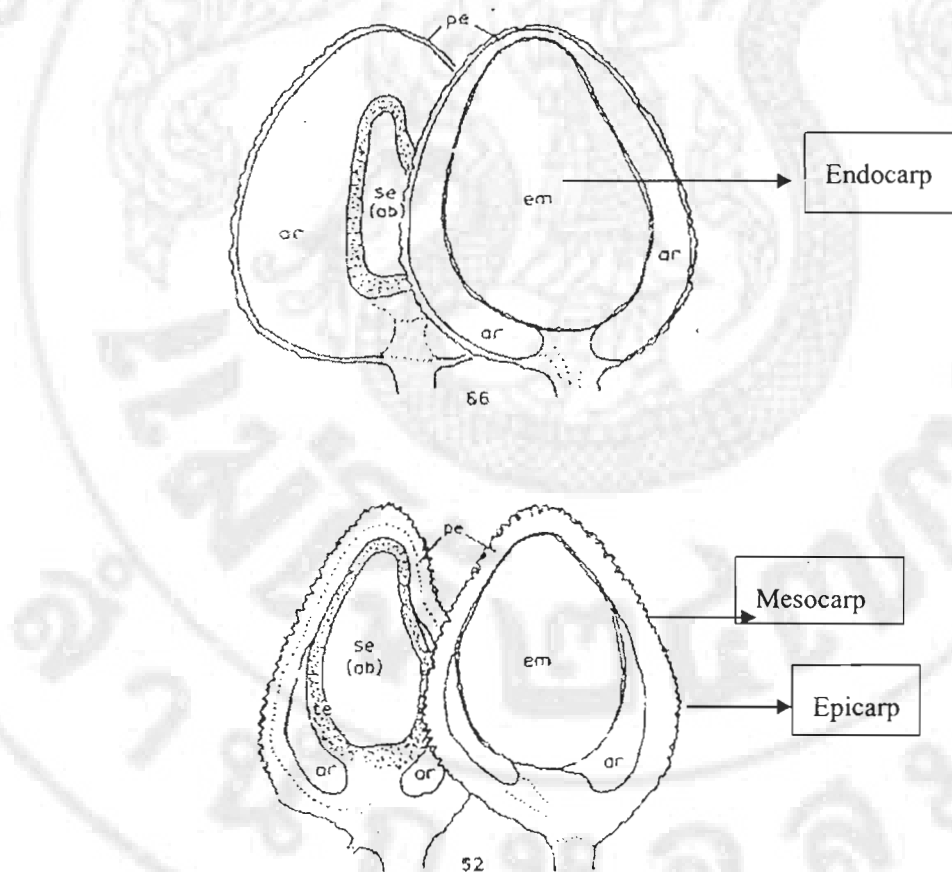
เปลือกที่แก่เต็มที่มีความหนาประมาณ 1-3 mm ประกอบด้วย 3 ส่วน (ภาพ 3) ดังนี้

1. ชั้น เป็นชั้นที่อยู่นอกสุดของเปลือกผล ประกอบด้วยชั้น Cuticle หนา 1-3 ไมโครเมตร ลักษณะเป็นชั้น epidermis และ sub-epidermal sclerenchyma

2. ชั้น mesocarp เป็นเนื้อเยื่อที่ถัดเข้ามาจากชั้น epicarp ประกอบด้วยเนื้อเยื่อของเซลล์พาร์เอนไกโน (parenchymatous tissue) เป็นชั้นที่มีความหนาที่สุดของเปลือก และมีคลอโรฟลาสต์เมื่อผลข้างอ่อนและเมื่อผลแก่ก็จะมีการสังเคราะห์รังควัตถุแอนโธไซานินเพิ่มขึ้นในชั้นนี้

3. ชั้น endocarp เป็นชั้นที่อยู่ในสุดของเปลือก เป็นเซลล์ที่มีขนาดเล็กและแบน เรียงตัวกันแน่นและมักจะแยกออกจากเนื้อผลเมื่อผลแก่

คุณสมบัติของเมล็ดลินี่ที่มีความหนา เซลล์มีขนาดเล็กและแบนเรียงตัวกันแน่นมีเหมาะสมที่จะนำมาผลิตเป็นถ่านกัมมันต์เพื่อใช้ในกระบวนการย่างบัน้ำเสียซึ่งจากเดิมนั้นเปลือกลินี่จากโรงงานอุตสาหกรรมนั้นจะกลายเป็นขยะเหลือทิ้งไม่ก่อให้เกิดประโยชน์



ภาพ 3 ไดอะแกรมภาพตัดขวางของเปลือกผลลินี่ที่่โตเต็มที่่แล้ว (ดัดแปลงมาจาก Underhill and Critchliy, 1993) แสดงให้เห็นชั้น epicarp, endocarp และรอยแตกเล็กๆ (micro-cracking) บริเวณเปลือกผลและส่วนของ vascular bundle

## ความหมายของถ่านกัมมันต์

ถ่านกัมมันต์ หมายถึง ผลิตภัณฑ์ที่ได้จากการนำวัตถุดิบธรรมชาติที่มีการบ่อนเป็นองค์ประกอบหลัก ผ่านกรรมวิธีก่อกัมมันต์จนได้ผลิตภัณฑ์สีดำ มีโครงสร้างที่มีลักษณะเป็นรูปrun น้ำพื้นที่ผิวสูง สมบัติในการดูดซับสารต่างๆ ได้เป็นอย่างดี

ถ่านกัมมันต์ มีชื่อเรียกอีกอย่างว่า ถ่านที่มีปฏิกิริยาคาร์บอนก่อกัมมันต์ และถ่านไว หรือถ่านดูดซับ ถ่านกัมมันตนี้มีคุณสมบัติในการดูดซับ ได้ทั้งสารอินทรีย์และสารอนินทรีย์ การที่ดูดซับได้ เพราะผิวของถ่านดังกล่าวมีรูปrun และมีพื้นที่ผิวมาก (อยู่ในช่วง  $300-500 \text{ cm}^3/\text{g}$ ) จึงมีสมบัติในการดูดซับ อนุภาคสารต่างๆ ได้ดี ถ่านกัมมันต์จึงเป็นเคมีภัณฑ์ที่สำคัญสำหรับอุตสาหกรรมหลายชนิด เช่น ในอุตสาหกรรมน้ำดื่ม และน้ำอัดลม ใช้ในโรงงานลูก gwad ใช้กำจัดน้ำเสีย ในโรงงานอุตสาหกรรม นอกจากนี้ในชีวิৎประจําวันที่มีการใช้ถ่านกัมมันต์ในรูปต่างๆ มากนาก เช่น ดูดกลิ่นในตู้เย็นและดูดกลิ่นในห้องสุขา เป็นต้น (ถาวร, 2523)

ให้มีการศึกษาถึงปัจจัยต่างๆ ที่มีผลต่อการดูดซับของสารอินทรีย์ออกจากสารละลายโดยใช้ถ่านกัมมันต์เป็นตัวดูดซับ คือ

1. ความสามารถในการละลายของสารอินทรีย์เพิ่มขึ้น ความสามารถในการดูดซับของถ่านกัมมันต์ลดลง

2. สารประกอบที่มีโครงสร้างเป็นแขนงสามารถดูดซับได้ดีกว่าพวกที่มีโครงสร้างเป็นเส้นตรง การเพิ่มขึ้นของความยาวของสายโนเมเลกุลทำให้ความสามารถในการละลายลดลง

3. หมู่ที่มานาแทนที่ มีผลต่อการดูดซับ

4. ตัวถูกละลายที่แตกตัวเป็นไอออน ได้มากจะถูกดูดซับได้น้อยกว่าพวกที่แตกตัวได้น้อยโดยทั่วไปโนเมเลกุลที่ไม่แตกตัวจะถูกดูดซับได้ดี

5. การดูดซับเพิ่มมากขึ้น เป็นไปตามความสามารถในการ Hydrolysis และเกิดกรดหรือเบสที่ถูกดูดซับได้

6. ถ้ารูปrun ของถ่านไม่มีอะไรมุดตัน สารที่มีโนเมเลกุลใหญ่ถูกดูดซับได้ดีกว่าโนเมเลกุลเล็กซึ่งเป็นธรรมชาติทางเคมีอย่างหนึ่ง ส่วนกรณีที่ตัวถูกละลายเกิดพันธะเคมีกับถ่าน การคาย (Desorption) ซึ่งจะเกิดได้ยาก

7. โนเมเลกุลของตัวถูกละลายที่มีความมีข้อต่อถูกดูดซับได้ดีกว่าพวกที่มีความมีข้อต่อสูง (อังคนา และ อัญชณา, 2542)

### ทฤษฎีการดูดซับ (Adsorption Theory)

กลไกของการดูดซับ (mechanism of adsorption) เนื่องจากการดูดซับเป็นการเคลื่อนย้ายสาร (mass transfer) จากก๊าซ หรือของเหลว มาขึ้น ของแข็ง หรือ ของเหลว ตามที่ได้กล่าวมาแล้ว การดูดติดผิว เกิดขึ้นเป็น 3 ระยะ ติดต่อกัน ดังแสดงในภาพ 4

ระยะที่ 1 โมเลกุลของสิ่งสกปรก (adsorbate) ในน้ำจะเคลื่อนที่ไปเกาะอยู่ร่องนอกของเม็ดถ่าน

ระยะที่ 2 โมเลกุลของสิ่งสกปรกจะพุ่งกระจาก (Diffusion) เข้าไปในรูพรุนของเม็ดถ่าน

ระยะที่ 3 เกิดการดูดติดผิวในรูพรุนนี้ระหว่างสิ่งสกปรกและพื้นที่ผิวของเม็ดถ่าน ซึ่งอาจจะดูดผิวคั่วของทางพิสิกส์ หรือทางเคมี หรือทั้ง 2 ชนิดพร้อมกัน ซึ่งแล้วแต่วัตถุประสงค์ของผู้ทดลองว่าต้องการแรงชนิดใด แต่ในการกำจัดน้ำเสีย การดูดซับจะพิจารณาเฉพาะการเกาะติดคั่วของทางพิสิกส์มากกว่าทางเคมี

#### การเกาะจับคั่วของทางพิสิกส์มีลักษณะดังนี้ คือ

1. เป็นแรงดึงดูดกันทางไฟฟ้าสถิต เกิดระหว่างโมเลกุลที่เป็นอนิโอลาร์กับโพลาร์ คือ โมเลกุลของ adsorbate เป็นอนิโอลาร์คั่วชนิดอนิโอลาร์และโพลาร์กับอนิโอลาร์ ซึ่งการเกาะจับของโมเลกุลชนิดต่างๆ เหล่านี้เกิดขึ้นจากผล 3 อย่าง ดังแสดงในภาพ 4

1.1 โพลาร์กับโพลาร์ โมเลกุลเกิดจาก orientation effect คือ แรงดึงดูดร่วมระหว่างโมเลกุลที่มีประจุตรงกันข้าม

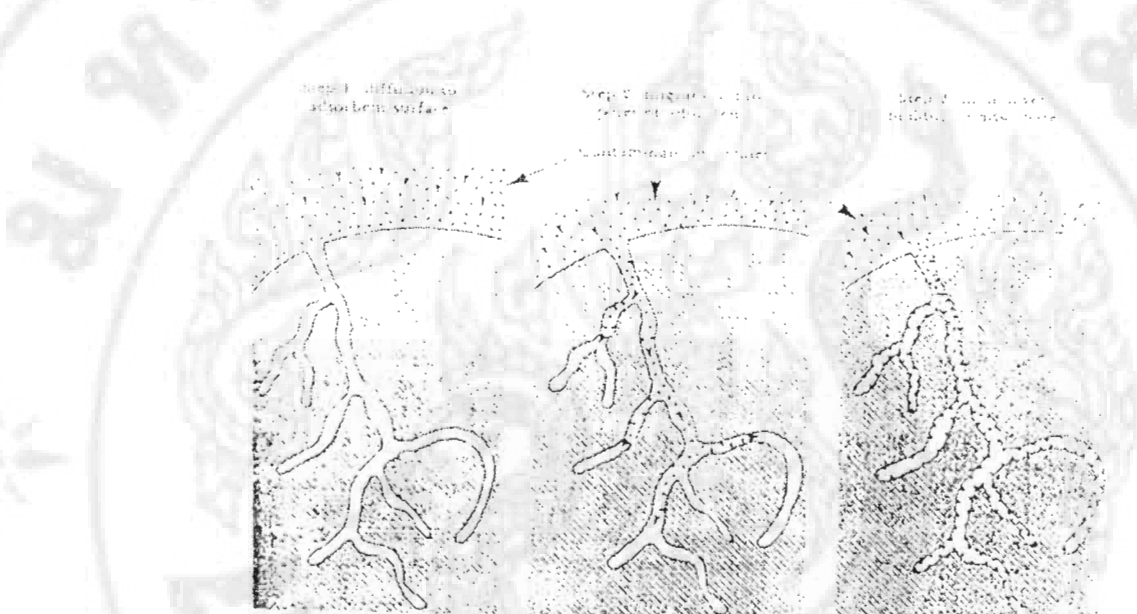
1.2 อนิโอลาร์กับอนิโอลาร์ โมเลกุล เกิดจาก dispersion effect ซึ่งเป็นผลจากการอาศัยหลักการตรงที่ว่า อนิโอลาร์ โมเลกุลสามารถเปลี่ยนเป็นไอโพล โมเลกุล ถ้าอิเล็กตรอนเคลื่อนที่มารวมกันอยู่ด้านใดด้านหนึ่งมาก จะทำให้เป็นไอโพล โมเลกุลได้และเมื่อมีนิวทริลาร์ที่มีลักษณะเช่นเดียวกันนี้เข้ามา จะเกิดแรงดึงดูดกันมักเป็นแรงที่อ่อน (เช่น สารอินทรี และถ่านกัมมันต์ เพราะสารอินทรีส่วนใหญ่จะเป็นอนิโอลาร์ โมเลกุล)

1.3 โพลาร์และอนิโอลาร์ โมเลกุล ซึ่งเกิดจาก induction effect การเหนี่ยวนำของอนิโอลาร์ โมเลกุลเข้ามาใกล้อนิโอลาร์ โมเลกุล เหนี่ยวนำให้เกิดประจุตรงข้ามแล้วดึงดูดกัน

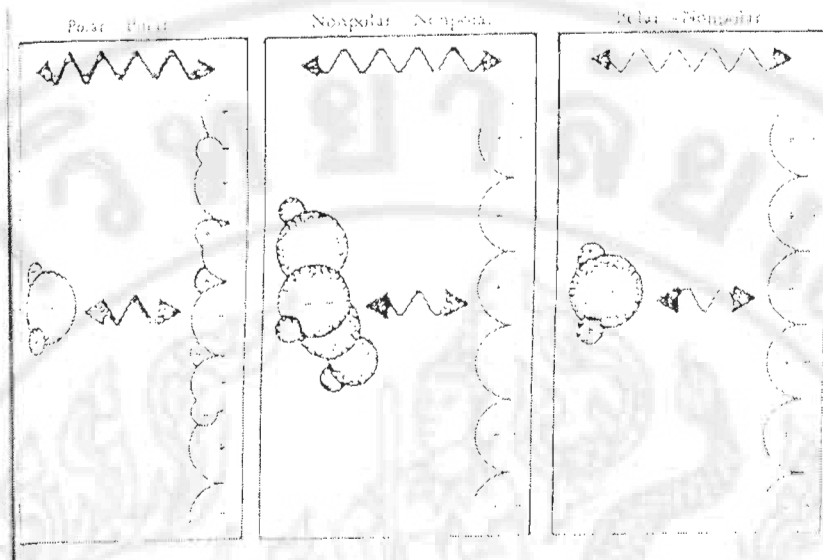
2. การเกาะจับกันเป็นแรงอ่อนๆ เรียกว่าแรง van der waals เนื่องจากเป็นแรงอ่อน จึงสามารถเปลี่ยนกลับไปมาได้ ทำให้การพื้นสภาพของตัวดูดซับได้ง่าย

### การเกาะจับด้วยแรงเคมี (Chemisorption)

1. เป็นชนิด chemical bond ที่เกิดจากการใช้อิเลคตรอนร่วมกันหรือให้อิเลคตรอนไปเลข หรือเกิดจากการแลกเปลี่ยนอิเลคตรอน มีผลทำให้เกิดแรงขึ้นกว่าเดิมมากกว่าแบบพิสิกส์
2. ไม่สามารถเปลี่ยนกลับมาได้ เพราะขึ้นกว่าเดิมมากกว่าแรงที่มากมีการจับกันเป็น chemical compound



ภาพ 4 กลไกการดูดซับสารของถ่านกัมมันต์



ภาพ 5 แสดงถึงการควบคุมซึ่งสารของด้านกัมมันต์ในลักษณะต่างๆ กันด้วยเรองทางพิสิกส์ (Control of Gaseous Emission Student Manual, EPA)

### กลไกของกระบวนการดูดดูดผิว

การดูดดูดผิว (adsorption) เป็นกระบวนการกักพกสารละลายน้ำหรือสารแขวนลอยบนผิวดีก็ซึ่งละลายอยู่ในน้ำ ให้อยู่บนผิวของสารอีกชนิดหนึ่ง โดยที่สารละลายน้ำหรือสารแขวนลอยบนผิวนี้ เรียกว่า adsorbate ส่วนของแข็งที่มีผิวเป็นที่เกาะจับของสารที่ถูกดูดดูด เรียกว่า Adsorbent การดูดดูดผิวนี้จะเป็นการดูดดูดแบบระหว่างสถานะ (phase) ต่างๆ ทั้งสามสถานะ คือของเหลว ก๊าซ (gas) และของแข็ง (solid) ซึ่งมีได้ทั้งแบบของเหลว-ของเหลว ก๊าซ-ของเหลว ก๊าซ-ของแข็ง และของเหลว-ของแข็ง โดยในที่นี้จะพิจารณาถึงเฉพาะแบบ ของเหลว-ของแข็ง

ในการดูดดูดผิว โมเลกุลของสารละลายน้ำหรือสารแขวนลอยก็จะถูกกำจัดออกจากน้ำและไปเกาะติดอยู่บนผิวถ่านกัมมันต์ โมเลกุลของสารส่วนใหญ่จะเกาะจับอยู่กับผิวภายใน โครงของถ่านกัมมันต์และ มีเพียงส่วนน้อยเท่านั้น ที่เกาะอยู่ที่ผิวภายนอก การถ่ายเทโมเลกุลในน้ำจะเหลือน้อย เพราะ โมเลกุลส่วนใหญ่เคลื่อนที่ไปเกาะจับอยู่กับถ่านกัมมันต์ โดยในการเกาะติดจะมี driving force อยู่ 2 แบบ ดังนี้

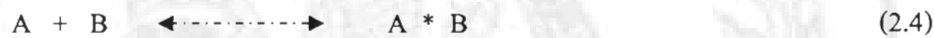
การดูดดูดทางกายภาพ (physical adsorption) เกิดจากความแตกต่างของพลังงานหรือ แรงดึงดูดทางไฟฟ้า (Electrical Attractive Force) อย่างอ่อนๆ ซึ่งเรียกว่าแรง van der waals การดูดดูดโดยวิธีทางกายภาพนี้ adsorbate สามารถที่จะถูกดูดดูดได้เป็นหลาบๆ ชั้นจะซ้อนทับอยู่เนื้อชั้นที่เกิดขึ้นก่อน โดยจำนวนชั้นที่เกิดขึ้นจะเป็นสัดส่วนโดยตรงกับความเข้มข้นของ adsorbate

การดูดติดทางเคมี (chemical adsorption) เกิดจากปฏิกิริยาที่เกิดขึ้นระหว่างโมเลกุลของ adsorbate กับ adsorbent เกิดเป็นสารประกอบเคมี (chemical compound) โดยการดูดติดผิวชนิดนี้จะเลือกเฉพาะบริเวณที่สามารถเกิดพันธะเคมีได้เท่านั้น และจะเกิดขึ้นเพียงชั่วคราว ซึ่งไม่เหมือนกับการดูดติดทางกายภาพที่ไม่จำกัดบริเวณที่เกิดปฏิกิริยาและสามารถเกิดการดูดติดได้หลายชั้น

อย่างไรก็ตามการดูดติดผิวจะเกิดขึ้นทั้ง 2 กรณีในเวลาเดียวกัน และหากที่จะแยกได้ว่าการดูดติดผิวที่เกิดขึ้นอยู่ในลักษณะใด

### ทฤษฎีของการดูดติดผิว (Adsorption Theory)

โดยทั่วไปกระบวนการดูดติดผิวของโมเลกุลต่างๆ สามารถเขียนอยู่ในรูปปฏิกิริยาของการดูดติดได้ดังนี้



โดยที่ A คือ adsorbate B คือ adsorbent และ A\*B คือสารประกอบที่เกิดจากการดูดติดผิว (adsorbed compound) ในปฏิกิริยาของการดูดติดผิวที่เกิดขึ้นนี้ adsorbate จะถูกดูดติดกับผิวของ Adsorbent ด้วยแรงทางเคมีและกายภาพชนิดต่างๆ ยกตัวอย่างเช่น แรงเนื่องจากพันธะไฮดรเจน แรงไฟฟ้าสถิต dipole-dipole และแรง van der waals ถ้าปฏิกิริยาที่เกิดขึ้นเป็นปฏิกิริยาแบบผันกลับได้ (reversible) โมเลกุลของสารต่างๆ จะถูกดูดติดและสะสมอยู่บน adsorbent จนกระทั่งอัตราการดูดติดแบบไปข้างหน้าเท่ากับ อัตราการขอนกลับของการดูดติด (desorption) ส่งผลให้เกิดสภาวะที่เรียกว่า สภาวะสมดุล (equilibrium) โดยที่สภาวะนี้ การสะสมตัวของโมเลกุลต่างๆ บนผิวของ adsorbent จะไม่สามารถเกิดเพิ่มขึ้นได้อีกต่อไป

### สมดุลของการดูดซับ

สมดุลจะเกิดเมื่อ Adsorbent เคลื่อนข้ายจากน้ำมายัง จนกระทั่งความเข้มข้นของ adsorbent ในน้ำเท่ากับความเข้มข้นในที่อุณหภูมิหนึ่งๆ นั้นเราใช้ adsorption isotherm เป็นตัวแทนในการอธิบายความสมดุลที่เกิดขึ้นนั้น

adsorption isotherm คือ ความสัมพันธ์ระหว่างปริมาณของสารที่ถูกดูดซับไป ต่อหน่วยน้ำหนักของ adsorbent และความเข้มข้นของสารนั้นที่ยังเหลืออยู่ในน้ำ แล้วนำไปพลอตกราฟลักษณะที่มี โดยให้ความเข้มข้นของสารที่เหลือในน้ำเป็นแกนนอนและปริมาณสารที่ดูดซับไปต่อหน่วยน้ำ Adsorbent เป็นแกนตั้ง เส้นโค้งที่เกิดจากการลากผ่านจุดที่ได้จากการทดลองทั้งหมด

เรียกว่า adsorption isotherm ซึ่งมีประโยชน์มากในการหาความสามารถในการดูดซับของสิ่งสกปรกในน้ำ เปรียบเทียบชนิดต่างที่ดีที่สุด

adsorption isotherm มีหลายชนิด เนื่องจากมีหลายทฤษฎี ได้นำมาอธิบายเกี่ยวกับสมดุลของการดูดซับที่เกิดขึ้น ของ langmuir theory

langmuir adsorption isotherm บางครั้งเรียกว่า Ideal localized monolayer model มีสมมุติฐานที่สำคัญ ดังนี้

1. แต่ละตำแหน่งที่ถูกดูดติดผิวจะรับได้เพียงหนึ่ง โมเลกุลเท่านั้นหรือกล่าวได้ว่ามีการดูดติดผิวเพียงชั้นเดียว

2. มีพื้นที่ที่ถูกดูดติดจำกัด โมเลกุลที่ถูกดูดติดที่ผิวของของแข็งอยู่ในตำแหน่งที่แน่นอน

3. ตรงบริเวณดูดติดผิวจะเกิดขั้นการติดและหลุดออก ซึ่งขั้นการติดมีมากกว่าอัตราการหลุดจนกระทั่งถึงสภาวะสมดุล (อัตราการติดเท่ากับการหลุด)

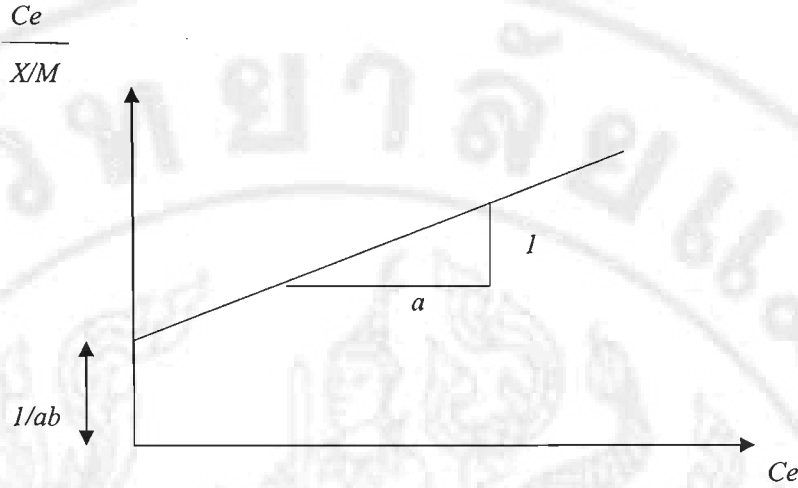
4. พลังงานในการดูดติดมีค่าเท่ากันในทุกๆ ตำแหน่ง

นอกจากนี้ โมเลกุลที่ถูกดูดผิวไม่สามารถเคลื่อนย้ายไปมาอย่างอิสระระหว่างพื้นที่ผิวหรือทำปฏิกิริยากับ โมเลกุลอื่นที่อยู่ใกล้ได้ โดยสมการ Isotherm ของ Langmuir แสดงไว้ในรูปดังนี้

$$\frac{X/M}{1+bCe} = \frac{abCe}{1+bCe} \quad (2.5)$$

และสามารถเปลี่ยนแปลงให้อยู่ในรูปสมการเชิงเส้นได้ดังนี้ โดยภาพ 7 แสดงกราฟสมการเชิงเส้นของ Langmuir Isotherm

$$\frac{Ce}{X/M} = \frac{1}{ab} + \frac{1}{a} Ce \quad (2.6)$$



ภาพ 6 แสดงความสัมพันธ์ระหว่าง  $Ce$  และ  $\frac{Ce}{X/M}$

โดยที่ค่า  $X/M$  คือ มวลสารของค่าความสกปรก/มวลสารของ adsorbent หรือ จำนวนโมลของ adsorbate/มวลสารของ Adsorbent ที่ภาวะสมดุลย์ ค่า  $Ce$  คือ ค่าความเข้มข้นของสารละลายนอก adsorbate ที่สภาวะสมดุล ค่า  $a$  เป็นค่าคงที่ที่แสดงความสามารถในการดูดติดผิวสูง สุดของ adsorbate บน adsorbent ที่มีลักษณะของการดูดติดแบบ mono layer ส่วนค่า  $b$  จะแสดงถึงค่าพลังงานของการดูดติด (energy of adsorption) โดยค่า  $b$  จะมีค่าสูงขึ้นเมื่อค่าความแข็งแรงของพันธะในการดูดติดมีค่าที่สูงขึ้น

#### ขั้นตอนของการดูดติดผิว (Steps of adsorption)

การนำจัดสารต่างๆ ออกจากสารละลายนโดยกระบวนการดูดติดผิวจะประกอบไปด้วยขั้นตอนต่างๆ ดังนี้

1. ขั้นตอนการเคลื่อนที่ของโมเลกุลของสารละลายน้ำทางเดินกัมมันต์ (bulk-solution transport) ในขั้นตอนนี้ adsorbate จะเคลื่อนที่จากบริเวณที่เป็นสารละลายน้ำสู่บริเวณที่ใกล้กับอนุภาคของ adsorbent การเคลื่อนที่นี้จะเกิดขึ้น โดยผ่านกระบวนการแพร่ (diffusion)

2. ขั้นตอนการแพร่ผ่านฟิล์มน้ำๆ ที่ผิวของ adsorbate (film diffusion) ในขั้นตอนนี้ adsorbate จะเคลื่อนที่ผ่านชั้นฟิล์มน้ำๆ ของน้ำที่อยู่นิ่ง ซึ่งอยู่ร่องๆ อนุภาคของ adsorbent โดยใช้วิธีการแพร่ (molecular diffusion) ระยะทางและเวลาในการเคลื่อนที่ของโมเลกุลจะขึ้นอยู่กับอัตราการไหลของน้ำที่ผ่านอนุภาคของ adsorbent หรือการปั่นป่วนของน้ำใน bulk solution โดยเมื่ออัตราการไหลและความปั่นป่วนมีค่าที่สูง ความหนาของชั้นฟิล์มน้ำๆ นี้จะสั้นลง

3. ขั้นตอนการเคลื่อนที่ของโมเลกุลผ่านช่องว่างใน adsorbent (internal pore transport หรือ pore diffusion) ภายในโมเลกุลเคลื่อนที่ผ่านฟิล์มบางๆ รอบอนุภาคของ adsorbent โมเลกุลของ Adsorbate จะเคลื่อนที่ผ่านเข้าไปในช่องว่าง (Pore) ของ Adsorbent การเคลื่อนที่ของ โมเลกุลภายในอนุภาคนี้ (interparticle transport) อาจจะเกิดขึ้นโดยผ่านกระบวนการแพร่ของ โมเลกุลผ่านสารละลายในช่องว่างใน adsorbent (pore diffusion) หรือโดยกระบวนการแพร่ผ่านไปตามพื้นผิวของ adsorbent

#### 4. ขั้นตอนการดูดติดผิว (adsorption)

เมื่อโมเลกุลของ adsorbate เข้ามาถึงบริเวณที่เป็นพื้นผิวของ adsorbent การสร้างพันธะ ของการดูดติด (adsorption bond) ระหว่าง adsorbent และ adsorbate จะเกิดขึ้น ขั้นตอนกระบวนการ ดูดติดผิวจะเกิดขึ้นอย่างรวดเร็ว สำหรับกระบวนการดูดติดผิวแบบกายภาพ (physical-adsorption) แต่เมื่อได้กิตามที่ขั้นตอนการดูดติดผิวเป็นการดูดติดผิวแบบเคมี (chemical-adsorption) ซึ่งจะเกิด การเปลี่ยนแปลงลักษณะทางธรรมชาติของโมเลกุลที่ถูกดูดติดผิว เวลาที่ใช้ในการเก็บปฏิกริยาจะ ช้ากว่าการดูดติดผิวแบบกายภาพ

### ปัจจัยที่มีผลต่อกระบวนการดูดติดผิว

#### 1. ความปั่นป่วน (rpm)

อัตราเร็วของการดูดติดผิวนั้นจะขึ้นอยู่กับความปั่นป่วนของน้ำ เมื่อความปั่นป่วน ต่ำ ชั้นฟิล์มบางๆ ของน้ำที่ห่อหุ้มอนุภาคของ adsorbent จะหนา เป็นเหตุให้การแทรกตัวของ โมเลกุลผ่านชั้นฟิล์มของน้ำเกิดขึ้นได้ ดังนั้นในกรณี film diffusion จะเป็นตัวกำหนดอัตราเร็วของ ปฏิกริยา ในทางตรงกันข้าม ถ้ามีความปั่นป่วนสูง ฟิล์มของน้ำที่ห่อหุ้มสารตัวกลางจะบาง การ แทรกตัวของโมเลกุลผ่านชั้นฟิล์มของน้ำจะเกิดขึ้นได้รวดเร็วกว่าการเคลื่อนที่เข้าไปในช่องว่างของ adsorbent ในกรณีเช่นนี้ pore diffusion จะเป็นขั้นตอนที่กำหนดอัตราเร็วของปฏิกริยา ด้วยเหตุนี้เอง อัตราเร็วของการดูดติดผิวของถ่านกัมมันต์แบบผงจะขึ้นกับ pore diffusion เนื่องจากกระบวนการที่ใช้ ถ่านกัมมันต์แบบผงมีความปั่นป่วนสูง ในขณะที่อัตราเร็วของการดูดซับของถ่านกัมมันต์แบบเกล็ด จะขึ้นอยู่กับ film diffusion ทั้งนี้เนื่องจากการใช้ถ่านกัมมันต์แบบเกล็ดนั้นมีลักษณะการใช้งานคล้าย กับการกรองน้ำ ซึ่งมีระดับความปั่นป่วนของน้ำที่ต่ำ

#### 2. ขนาดและพื้นที่ผิวของถ่านกัมมันต์ (μg/เม็ด)

โดยปกติถ่านกัมมันต์ที่มีขนาดเล็ก จะมีอัตราเร็วในการดูดติดผิวสูงกว่า ถ่านกัมมันต์ที่มีขนาดใหญ่ ดังนั้นถ่านกัมมันต์แบบผงจะมีอัตราเร็วในการดูดติดผิวสูงกว่าถ่านกัมมันต์แบบ เกล็ด ส่วนความสามารถในการดูดติดผิวนั้นจะแปรผัน โดยตรงกับพื้นที่ผิว เพราะจะนั่นถ่านกัมมันต์

ที่มีพื้นที่ผิวสูงจะดูดติด โนเลกุล ได้มากกว่าถ่านกัมมันต์ที่มีพื้นที่ผิวต่ำ แต่เนื่องจากการดูดซับส่วนใหญ่จะเกิดขึ้นภายในช่องว่างของ adsorbent ดังนั้นขนาดของถ่านกัมมันต์จึงมีบทบาทน้อยในการกำหนดพื้นที่ผิวถ่านกัมมันต์แบบผงและแบบเกล็ด จึงมีพื้นที่ผิวต่อหน่วยน้ำหนักใกล้เคียงกัน ความสามารถในการดูดติดผิวจึงใกล้เคียงกันด้วย

### 3. ความสามารถในการละลายน้ำของ Adsorbate (พง/เม็ด)

โดยปกติแล้วสารที่ละลายน้ำได้น้อยมักคุณคิดที่ผิวถ่านกัมมันต์ได้ดีกว่าสารที่ละลายได้ดี ทั้งนี้เนื่องจากว่า เมื่อมีการคุณคิดเกิดขึ้น โนเลกูลของตัวถูกละลายจะถูกดึงออกจากน้ำไป คุณคิดที่ผิวของถ่านกัมมันต์ ถ้าตัวถูกละลายเป็นสารที่ละลายได้ดี แรงยึดเหนี่ยวระหว่างสารดังกล่าว กันน้ำก็จะนิ่มมาก จึงทำให้ตัวละลายถูกคุณคิดผิวได้ยาก แต่ถ้าอย่างไรก็ตาม เกณฑ์ข้างต้นก็ไม่เป็นจริง เสมอไป ในบางสถานการณ์และอาจเป็นไปในทางตรงกันข้ามได้

#### 4. ขนาดของ adsorbate

ขนาดโมเลกุลของตัวถูกลำบากที่ต้องการกำจัดมีความสำคัญต่อกระบวนการกรองคุณภาพ เมื่อเนื้องจากกรองคุชั่นส่วนใหญ่จะเกิดขึ้นภายใน pore ภายในถ่านกัมมันต์ จากการวินิจฉัยพบว่า การกรองคุณภาพจะเกิดขึ้นได้ดีเมื่อโมเลกุลมีขนาดเล็กกว่า โพรงเล็กน้อย กล่าวคือ พอดีที่จะเข้าไปใน โพรงได้ เพราะแรงดึงดูดระหว่างโมเลกุลและถ่านกัมมันต์จะมีค่ามากที่สุด

### 5. pH ของสารละลายน้ำ

เนื่องจาก pH ของสารละลายน้ำอิทธิพลต่อการแตกตัวเป็นไอออนและการละลายของสารต่างๆ ดังนั้น pH ของสารละลายน้ำจึงมีผลต่อการคุณซับด้วย ตัวอย่าง เช่น กรดอินทรีย์จะถูกคุณซับได้ดีที่ pH ต่ำ ทั้งนี้เนื่องจากกรดอินทรีย์จะแตกตัวได้น้อยที่ pH ดังกล่าว สำหรับ pH ที่เหมาะสมต่อการคุณซับนั้นหาได้จากการทดลองเท่านั้น

## 6) ອຸປະກົມຂອງສາຮະລາຍ

อุณหภูมิของสารละลายนี้อิทธิพลต่ออัตราเร็วและความสามารถในการดูดติดผิว กล่าวคือ เมื่ออุณหภูมิของสารละลายเพิ่มขึ้น อัตราเร็วของการดูดติดผิวจะเพิ่มขึ้น ในขณะที่ ความสามารถในการดูดติดผิวลดลง เพราะปฏิกิริยาของ การดูดติดผิวเป็นปฏิกิริยาการด่ายความร้อน (มั่นสิน, 2542)

## ชนิดของการดูดซับ

การคัดซับแบ่งตามความเข้มของแรงที่กระทำต่อกันจะแบ่งเป็นชนิดต่าง ๆ ได้

2 ឧប្បរ

1. การดูดซับทางเคมี (chemical adsorption)
  2. การดูดซับทางกายภาพ (physical adsorption)

### 1. การคุณชั้บทางเคมี

เป็นปฏิกริยาที่ผันกลับไม่ได้จะเป็นการคุณชับที่มีค่าพลังงานสูงมากซึ่งทำให้ค่าความร้อนของปฏิกริยาสูงจากการศึกษาโดยอาศัยเทคนิคทางสเปกโตรนิคสามารถยืนยันได้ว่า การคุณชับทางเคมีเป็นการคุณชับโดยพันธะเคมีระหว่างตัวคุณชับและตัวถูกคุณชับจะเกิดขึ้นที่อุณหภูมิสูงกว่าอุณหภูมิที่จุดวิกฤตของตัวคุณชับ โดยมีค่าพลังงานความร้อนสูงมาก

### 2. การคุณชับทางกายภาพ

เป็นปฏิกริยาที่ผันกลับได้แต่มีพลังงานความร้อนในการคุณชับที่ไม่ทำให้โครงสร้างของผิวของตัวคุณชับเปลี่ยนไประหว่างการคุณชับตัวถูกคุณชับสามารถที่จะเก็บรักษา ผิวของตัวคุณชับได้หลายชั้น เมื่อมีการเพิ่มอุณหภูมิการคุณชับทางกายภาพจะไม่เกิดขึ้นหรืออาจเกิดแต่เกิดน้อยมากจึงสามารถทำให้ผิวของตัวคุณชับสะอาดได้การคุณชับทางกายภาพจะถึงภาวะสมดุลได้เร็วโดยไม่ต้องใช้พลังงานกระแสตู้นเหมือนการคุณชับทางเคมี (Hassler, 1974 cited by Lowell, 1979)

### กระบวนการเตรียมถ่านกัมมันต์

การเตรียมถ่านกัมมันต์มีขั้นตอนการเตรียมดังนี้

#### 1. การกำจัดน้ำออก

โดยการอบวัตถุดินที่มีคาร์บอนเป็นองค์ประกอบที่อุณหภูมิ  $105^{\circ}\text{C}$  จนกระทั่งน้ำหนักคงที่ซึ่งในบางครั้งอาจจะใช้สารเคมีช่วยในการกำจัดน้ำ เช่น ซิงค์คลอไรด์

#### 2. การเผาให้เป็นถ่านหรือการคาร์บอนไนเซชัน

การทำคาร์บอนไนเซชันคือ การเผาให้เป็นถ่านในท่ออันอากาศสามารถแบ่งออกได้เป็น 2 ประเภทคือ

การเผาให้เป็นถ่านที่อุณหภูมิต่ำ (low temperature carbonization) จะเกิดการเปลี่ยนแปลงดังนี้ เมื่อบาบวัตถุดินที่อุณหภูมิ  $170^{\circ}\text{C}$  นำภายใต้ลมเล็กๆ จึงเกิดการหักเหของตัวถูกคุณชับ แห้ง เมื่อร้อนถึง  $270\text{--}280^{\circ}\text{C}$  จะเกิดการสลายตัว บางส่วนเกิดก้าชคาร์บอนมอนอกไซด์ คาร์บอนไดออกไซด์ กรดอะซิติกและเมทิลแอลกอฮอล์ อะตอมของถ่านจะเปลี่ยนเป็นรูปผลึก (crystallographic formation) และจะมีน้ำมันทาร์ซึ่งเกิดจากการสลายตัวของคาร์บอนไปอุคตาน pore คาร์บอนทำให้ความสามารถในการคุณชับไม่ดีและเมื่อร้อนถึงอุณหภูมิ  $400\text{--}600^{\circ}\text{C}$  จะเป็นการสิ้นสุดการทำให้เป็นถ่านที่อุณหภูมิต่ำ ซึ่งจะมีปริมาณคาร์บอนอยู่ประมาณร้อยละ 60

การเผาให้เป็นถ่านที่อุณหภูมิสูง (high temperature carbonization) เป็นการเผาให้เป็นถ่านที่อุณหภูมิ  $950\text{--}1,150^{\circ}\text{C}$  ซึ่งจะให้ผลิตภัณฑ์หลักเป็นน้ำมันทาร์ และก้าชต่างๆ

### 3. การกระตุ้นเพื่อทำถ่านกัมมันต์ ทำได้ 2 วิธีคือ

การกระตุ้นทางเคมี (Chemical Activation) และการกระตุ้นทางกายภาพ (physical activation) ซึ่งบางครั้งอาจใช้ทั้งสองวิธีร่วมกัน โดยการทำกระตุ้นทางเคมีแล้ว จึงทำการกระตุ้นทางกายภาพเพื่อให้ถ่านกัมมันต์มีความสามารถในการดูดซับดีขึ้น

การกระตุ้นทางเคมี เป็นการกระตุ้นด้วยสารเคมีและความร้อน (pyrolysis) การเตรียมโดยวิธีนี้มีหลักการ คือ นำวัตถุดิน เชน ถ่านชาร์ (char) ซึ่งเป็นผลผลิตที่ได้จากการcarbon ในเชื้อน้ำมันดิบให้เป็นเมล็ดเล็กๆ แล้วหุงลงในสารละลายเคมีที่ใช้กันแพร่หลาย ได้แก่ ซิงค์คลอไรด์ แคตเซียมคลอไรด์ โพแทสเซียมซัลไฟด์ โพแทสเซียมไทโอลไซยาเนต กรดฟอสฟอริก และกรดซัลฟูริก บางครั้งอาจใช้สารประกอบไฮดรอกไซด์ของธาตุหมู่ IIA เช่น แมกนีเซียมไฮดรอกไซด์ หรือ แคตเซียมไฮดรอกไซด์ เป็นต้น แล้วผาที่อุณหภูมิสูงโดยไม่ให้อาการเข้า เมื่อยืนลงนานาสักด้วยอกตัวทำปฏิกิริยาออกกําจัง ได้ถ่านกัมมันต์ตามต้องการ

การกระตุ้นทางกายภาพ (physical activation) เป็นการกระตุ้นโดยใช้ออกซิไดซ์-ซิงเก็ส (oxidizing gas) เช่น ไอน้ำ อากาศ ก๊าซคาร์บอนไดออกไซด์ อะตอนของคาร์บอนบางอะตอนในผลึกทำให้ผงถ่านมีคุณสมบัติในการดูดซับเพิ่มขึ้นตามต้องการ

การกระตุ้นทางกายภาพนี้อำนวยในการดูดซับ (adsorptive power) จะมากหรือน้อยขึ้นกับองค์ประกอบดังนี้

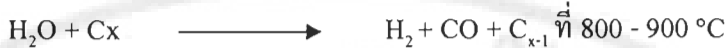
1. ธรรมชาติของปฏิกิริยา และความเข้มข้นของก๊าซที่นำมาออกซิไดซ์
2. อุณหภูมิของปฏิกิริยา
3. ชนิดของเกลือแร่ที่เป็นองค์ประกอบของถ่านชาร์

### การกระตุ้นเพื่อผลิตถ่านกัมมันต์

การกระตุ้นมี 2 วิธี คือ ทางกายภาพ (physical activation) โดยใช้ไอน้ำ หรือก๊าซ และวิธีทางเคมี (chemical activation) โดยใช้สารเคมี ทั้งนี้อาจใช้วิธีทางกายภาพและทางเคมีร่วมกันได้

1. วิธีทางกายภาพ : นิยมใช้ไอน้ำอีนตัวยิ่งขวดในการกระตุ้น นอกจากนั้นใช้อากาศเป็นต้น โดยร่วมกับความร้อน โนเบกูลของคาร์บอนจะเกิดการเปลี่ยนแปลงทางพิสิกส์ โดยมีการจัดเรียงตัวใหม่ ซึ่งเพิ่มคุณสมบัติในการดูดซับสูงขึ้น ข้อดีของการกระตุ้นโดยวิธีนี้ คือ ไม่มีสารเคมีตกค้าง แต่มีข้อเสีย คือ ต้องใช้อุณหภูมิสูง

การใช้ไอน้ำอีนตัวยิ่งขวดในการกระตุ้น ปฏิกิริยาที่เกิดขึ้นแสดงได้ดังนี้



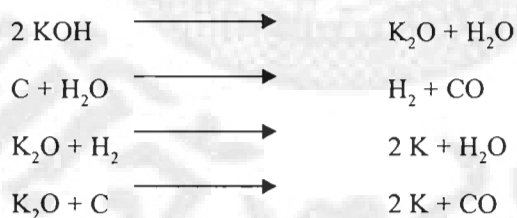
การกระตุ้นโดยใช้ระบบฟลูอิไดเซชันให้ประสิทธิภาพสูง เนื่องจากวัตถุดินสัมผัสกับไอน้ำได้อย่างทั่วถึงเครื่องมือที่ใช้คือ อุปกรณ์ในการกระตุ้นด้วยไอน้ำในระบบฟลูอิไดเซชัน (fluidized bed activator) ขนาดของอนุภาค ของวัตถุดินมีความสำคัญมาก ควรมีขนาดประมาณ 0.515 mm (Kirubankaran, 1991).

2. วิธีทางเคมี: สารเคมีที่ใช้ในการกระตุ้น โดยทั่วไปมักเป็นสารดูดน้ำ (dehydrating agent) เช่น กรอบางชนิด หรือด่างบางชนิด การกระตุ้นอาจทำได้โดยการเผาสารเคมีกับวัตถุดินที่มีองค์ประกอบของคาร์บอน หรือเผาด้วยระบบคาร์บอนในเซชันก่อน เพื่อไล่สารอื่นที่ไม่ใช่คาร์บอนออก แล้วจึงกระตุ้นด้วยสารเคมีซึ่งจะช่วยให้เกิดรูพรุนและเพิ่มพื้นที่ผิวอนุภาคมากขึ้น (สุทธิสังค์และคณะ, 2535)

สารเคมีซึ่งเป็นสารดูดน้ำนี้ช่วยเสริมกระบวนการเผาสารคาร์บอนโดยไม่ให้เกิดน้ำมันฟาร์ และของเหลวอื่นๆ ช่วยทำให้ได้ผลผลิตเพิ่มขึ้น อย่างไรก็ได้ กลไกของการกระตุ้นทางเคมียังไม่เป็นที่ทราบแน่นอน นอกจากว่าสารเคมีนั้นช่วยในการย่อยสลายเซลลูโลส และเมื่อได้รับความร้อนจากการเผาเกิดปฏิกิริยาการขัดน้ำ ก่อให้เกิดรูพรุนขึ้นในถ่าน

(Smisek and Cerny, 1970; Hassler, 1963)

ในการกระตุ้นด้วย KOH ปฏิกิริยาที่เกิดขึ้น แสดงได้ดังนี้:



เมื่อกระตุ้นที่อุณหภูมิสูงกว่า 700 °C K<sub>2</sub>O จะถูกเรียกว่า โดไไซโตรเจนหรือคาร์บอน กล้ายเป็นไอของโลหะโพแทสเซียม แทรกเข้าไปในโครงสร้างของคาร์บอน ส่วนที่เป็นไอเหล่านี้ เมื่อระเหยียก ไปก็จะเกิดรูพรุนขึ้นในถ่าน (Otowa, 1933)

### การทดสอบการใช้งาน

ใช้ถ่านกัมมันต์ที่ผลิตจากลิกไนต์ อัตราส่วน KOH ลิกไนต์ 3:1,4:1 และถ่านกัมมันต์จาก บริษัทวีเนี่ยนชาดจำกัด ในการคุณชับสิ่งสกปรกจากน้ำทึ้งของโรงงานผลิตเยื่อกระดาษสา ซึ่งมีขั้นตอนดังนี้ :

- การนำถ่านกัมมันต์ที่บดแล้วอบแห้งที่ 105 °C ตลอดคืนแล้วทำให้เย็นใน โถดูดความชื้น
- ซึ่งถ่านกัมมันต์ที่ได้ จำนวน 0.1 0.2 0.5 1.0 g ใส่ลงในขวดซึ่งมีพู่ขนาด 250 mg ปริมาณของถ่านกัมมันต์ที่ใช้ขึ้นกับ สภาพะในการคุณชับ แต่ไม่ควรใช้น้อยกว่า 4 ค่า เช่น 0.5 0.1 0.2 0.3 g เป็นต้น
- เติมน้ำที่จะทดสอบลงไป 100 mg โดยวัด pH ก่อน
- นำไปเขย่าด้วยเครื่องเขย่าอย่างน้อย 1 ชั่วโมง หากของผสมมีความหนืดมากควร เพิ่มระยะเวลาในการเขย่าเพื่อให้การคุณชับสู้สภาวะสมดุล
- เมื่อเขย่าเสร็จจึงนำไปกรองด้วยกระดาษกรองเบอร์ 1 เพื่อกำจัดถ่านกัมมันต์ที่ ผ่านการคุณชับแล้วออก และปรับ pH ของสารละลายที่ได้ให้เท่ากับ pH ก่อนการเติมถ่านกัมมันต์
- นำสารละลายที่ได้ไปวิเคราะห์ค่า
- นำค่า COD และปริมาณถ่านกัมมันต์ที่ใช้ มาคำนวณและสร้างกราฟตาม Langmuir- Adsorption Isotherm

การทดลองนี้ใช้ค่า COD เป็นตัวบ่งชี้ประสิทธิภาพในการคุณชับของเสียของถ่านกัมมันต์ โดยพิจารณาจากเปรียบเทียบค่า COD ของน้ำทึ้งก่อนและหลังการใช้ถ่านกัมมันต์คุณชับสิ่งสกปรกตามการวิจัยของ (Fornwalt, 1966)

ขนาดของอนุภาคที่มีผลต่อการผลิตถ่านกัมมันต์ชนิดผง โดยวิธีการกระตุ้นด้วยไอน้ำ ของวัตถุคิบ มีความสำคัญต่อคุณภาพของถ่านกัมมันต์ จึงมีการคัดขนาดอนุภาคในการทดลองต่อน ต่อๆ ไป

Srikumlaithong *et al.* (1994) ได้ทดลองทำการปรับสภาพด้วยกรดก่อนการเผา และการ กระตุ้น ซึ่งทำให้ได้สภาวะของการปรับสภาพด้วยกรด การเผาและการกระตุ้น ในการผลิตถ่านกัมมันต์คุณภาพสูงนอกจากนี้พบการใช้ KOH ในอัตราส่วนที่เหมาะสมสำหรับวิธีการกระตุ้นทางเคมี ทำให้ได้ถ่านกัมมันต์คุณภาพสูง

Tsai *et al.* (2001) ศึกษาการผลิตตัวคุณชับจากซังข้าวโพด ซึ่งเป็นวัสดุเหลือใช้ทาง การเกษตร โดยวิธีการกระตุ้นร่วมกันระหว่างการกระตุ้นด้วยวิธีทางเคมีและวิธีทางกายภาพ ในงาน ทดลองนี้จะใช้อุณหภูมิช่วง 500–800 °C ในการกระตุ้นทางเคมี สารเคมีที่ใช้ในการกระตุ้น มี 2 ชนิด

คือ KHO และ  $K_2CO_3$  เป็นสารที่มีคุณสมบัติทำให้เกิดมลพิษน้อย และการกระดู้นด้วยวิธีทางภาษาภาพ โดยจะเกิดปฏิกิริยา ผลของผลิตภัณฑ์สามารถตรวจสอบลักษณะทางภาษาภาพได้จาก การหาพื้นที่ผิว  $\text{bet surface area}$  ปริมาตร pore ห้องหมด และความหนาแน่นที่แท้จริงเพิ่มขึ้น พบว่าถ่านกัมมันต์ที่เตรียมไว้จากซัง-ข้าวโพดสามารถนำมาใช้ในกระบวนการทำความสะอาดได้ ซึ่งยังเป็นการนำของเสียกลับมาใช้ประโยชน์และนำทรัพยากรทางชีวภาพกลับมาใช้ใหม่ ดังนั้นตัวคุณภาพที่ได้จากการทดลองนี้มีความเป็นไปได้สำหรับการนำมาควบคุมมลพิษและนำไปประยุกต์ใช้ในด้านอื่นๆ ต่อไป

Vera *et al.* (2005) ได้ทำการทดลองทำการตกลงทำการตกลงน้ำเสียสีจากหม้อข้อมผ้า ซึ่งสีที่ใช้เป็นสีชนิดที่ Reactive Dye โดยทำการศึกษาถึงค่า pH COD BOD (Biochemical Oxygen Demand) และ AOX ในการทดลองใช้สารตกลง 3 ชนิดคือ สารส้ม เฟอร์รัสซัลเฟตและเฟอร์-ริคคลอไรต์ เพื่อทำการเปรียบเทียบประสิทธิภาพของสารห้อง 3 ชนิด โดยทดลองหาปริมาณของสารตกลง ที่ใช้และ pH ที่เหมาะสมที่สุดสำหรับการตกลงโดยเปลี่ยนแปลงปริมาณการใช้ที่ 0.01-0.4 g/L และ pH ที่ 6-9 ทำการทดลองโดยวิธีจาร์เกส ทำการกวนเร็ว 2 นาทีด้วยความเร็วอยู่ 100 rpm จากนั้นกวนช้า 20 นาทีด้วยความเร็วอยู่ 20 rpm และทิ้งให้ตกลงเป็นเวลานาน 30-150 นาทีซึ่งจากการทดลองพบว่า สามารถทำการบำบัดน้ำเสียสี ข้อมผ้าได้เป็นอย่างดี โดยที่สามารถลดปริมาณความเข้มข้นของสี TOC และ COD ได้ ร้อยละ 98.50 และ 45 ตามลำดับ ซึ่งสารตกลงที่มีประสิทธิภาพดีที่สุด คือ สารส้มและ pH ที่เหมาะสมที่สุดคือ 9

### บทที่ 3

#### วิธีดำเนินการวิจัย

การศึกษาประสิทธิภาพการกำจัดสีจากน้ำเสียโรงงานผลิตกระดาษสาด้วยกระบวนการตกตะกอนและการคุณชับด้วยถ่านกัมมันต์ โดยแบ่งเป็น 3 การทดลองดังนี้

การทดลองที่ 1 ศึกษานิคและปริมาณสารเคมีที่เหมาะสมในการบำบัดน้ำเสียจากโรงงานผลิตกระดาษสา ต่ำลงต้นเป่า อำเภอสันกำแพง จังหวัดเชียงใหม่ที่ผ่านกระบวนการตกตะกอนของสารตกตะกอน 2 ชนิด คือ สารส้มและโพลีอูมิเนียมคลอไรด์

#### อุปกรณ์และเครื่องมือและสารเคมี

##### 1. อุปกรณ์เครื่องมือ

###### 1.1 วัสดุอุปกรณ์

ขวดรูปชنمพ์ (Erlenmeyer flask)

บีคเกอร์ (Beaker)

บีคเกอร์เจาร์เทสต์ (Jar Test Beaker)

หลอด COD ขนาด 20 x 150 mm

ขวดวัดปริมาตร (Volumetric Beaker)

###### 1.2 เครื่องมือ

เครื่องวัดความเป็นกรด-เบส (pH Meter)

เครื่องเจาร์เทสต์ (Jar Test Equipment)

เตาอบ (Oven)

เครื่องชั่ง 4 ตำแหน่ง (Analytical balance)

เครื่องวัดความขุ่น (Turbid Meter)

เครื่องวัดสี (Spectrophotometer)

ถุงดูดความชื้น (Desiccators)

เครื่องดูดสูญญากาศ (Vacuum Pump)

## 2. สารเคมี

- 2.1  $\text{Al}_2(\text{SO}_4)_3 \cdot 18\text{H}_2\text{O}$  หรือ สารส้ม (Alum)
- 2.2  $\text{Al}_2(\text{SO}_4)_3$  หรือ โพลีอัลูมิเนียมคลอไรด์ (PAC)
- 2.3 สารเคมีที่วัดตัวแปรต่าง ๆ คือ COD Color SS ความชุ่น  
(ภาคผนวก ข)

## วิธีการทดลอง

1. นำน้ำเสียตัวอย่างก่อนทำการทดลองมาศึกษาค่าตัวแปร ดังนี้ สี (Color) วัดด้วยวิธีอ่านค่า OD (Optical density), ค่าความชุ่น (Turbidity) ซีโอดี (Chemical Oxygen Demand; COD) ของแข็งแขวนลอย (Suspended Solids; SS) และค่าความเป็นกรด-ด่าง (pH) ตัวอย่างละอองบ่ายน้อย 2 ซ้ำ เพื่อเป็นฐานข้อมูลของคุณสมบัติตัวอย่างน้ำเสียก่อนการทดลอง

2. ทำการตกละกอนค่าความสกปรกดังตัวแปรด้วยเครื่องจาร์เทสต์ใช้สารตกละกอน 2 ชนิด คือ สารส้ม และโพลีอัลูมิเนียมคลอไรด์ กำหนดปริมาณสารตกละกอนคือ 2,000-10,000 mg ต่อลิตรน้ำเสีย 100 ml เพื่อหาปริมาณสารตกละกอนที่เหมาะสม (Optimum Dose)

3. จากนั้นทำการกำหนดค่าความเป็นกรด-ด่าง ที่ 5-8 เพื่อหาค่าความเป็นกรดด่างที่เหมาะสมในการตกละกอน (Optimum pH) ภายใต้การใช้ปริมาณสารตกละกอนที่ได้จากข้อ 2

4. นำสารละลายใส่ส่วนบนไปที่ได้จากข้อ 2 และ 3 วัดค่าความชุ่น pH สี และ COD ทดลองที่อุณหภูมิ  $28 \pm 2^\circ\text{C}$  วิธีการวัดค่าตัวแปรต่างๆ ดังแสดงภาคผนวก ก กระบวนการทดลองที่ 1 และดังภาพ 7

## การทดลองที่ 2 การศึกษาขั้นตอนการผลิตถ่านกัมมันต์จากเมล็ดลินจิ้

### 1. อุปกรณ์และเครื่องมือ

- 1.1 วัสดุอุปกรณ์
  - 1.1.1 เครื่องแก้ว

ขวดวัดปริมาตร (Volumetric Beaker)

กล่องนิกเกิลครูซิเบิล (Nickel Crucible Box)

หลุม (Bed)

เมล็ดลินจิ้

### 1.2 เครื่องมือ

เตาอบ (Oven)

เตาเผา (Furnace)

เครื่องชั่ง 4 ตำแหน่ง (Analytical balance)

โถดูดความชื้น (Desiccators)

ตะแกรงขนาด 60 เมช (Sieve)

เตาแผ่นให้ความร้อน (Hot Plate)

### 2. สารเคมี

2.1 โซเดียมไนโตรซัลเฟต ( $\text{Na}_2\text{S}_2\text{O}_3$ )

2.2 เกล็ดไอโอดีน ( $\text{I}_2$ )

2.3 แป้ง ( $\text{C}_2\text{H}_{10}\text{O}_5$ )

2.4 โซเดียมคาร์บอเนต ( $\text{Na}_2\text{CO}_3$ )

2.5 โป๊ಡສเซบิมไอโอดีด (KI)

2.6 โป๊ଡສเซบิมไอโอดีด (KIO<sub>3</sub>)

2.7 กรดซัลฟูริก ( $\text{H}_2\text{SO}_4$ )

2.8 กรดไฮโดรคลอริก (HCl)

2.9 ผงอะลูมินา ( $\text{Al}_2\text{O}_3$ )

2.10 น้ำกัดลั่น ( $\text{H}_2\text{O}$ )

2.11 โป๊ଡສเซบิมไฮดรอกไซด์ ( $\text{Al}_2\text{O}_3$ )

2.12 โพเทสเซบิมไฮดรอกไซด์ (KOH)

ขั้นตอนการเตรียมถ่านกัมมันต์แบ่งเป็น 3 ขั้นตอน คือ

#### 1.1 การกำจัดน้ำออก

- นำเมล็ดลินี่จิ้นมาถางทำความสะอาดด้วยน้ำประปา 2 ครั้งและถางด้วยน้ำกัดลั่น

1 ครั้งทิ้งไว้และตากแดดจนแห้ง

- นำเมล็ดลินี่จิ้นที่เตรียมไว้อบที่อุณหภูมิ 105 °C เป็นเวลา 24 ชั่วโมง จากนั้นนำไปเก็บไว้ในโถดูดความชื้น เป็นเวลา 2 ชั่วโมง เพื่อไล่ความชื้นที่คงค้างอยู่ออกให้หมด

#### 1.2 การเผาให้เป็นถ่าน (Carbonization)

- นำเมล็ดลินี่จิ้นเผาที่อุณหภูมิ 400-900 °C เป็นเวลา 5, 15, 30, 45 และ 60 นาที

ตามลำดับ

- นำไปเก็บไว้ในโถคุณความชื้น เป็นเวลา 2 ชั่วโมง เพื่อคุณความชื้นออกให้หมด
  - นำไปซึ่งน้ำหนักเพื่อหาร้อยละความชื้นจนกว่าค่าที่ได้จะคงที่
  - นำมานบดและร่อนในตะแกรงขนาด 60 เมช
  - นำไปทดสอบเพื่อหาสภาวะที่มีประสิทธิภาพการคุณซับที่ดีที่สุดเพื่อนำมาใช้ใน

### 1.3 กระบวนการการกระตุ้นทางเคมี (Chemical Activation)

- ชั่ง KOH และตัวอย่างที่เตรียมไว้โดยมีการกำหนดสัดส่วนคือ KOH : ตัวอย่าง (เมล็ดลินจี) ในสัดส่วน 0.5:1 (w/w)
    - เติม KOH ลงในกล่องกล่องนิเกิลครูซิเบิลที่เตรียมไว้
    - เทตัวอย่างคลุก KOH แล้วนำไปวางในBed ปิดฝาให้สนิท
    - นำไปวางในกล่องชั้นนอกแล้วคลุกทับด้วยผงอะลูมิน่าชั้นนอกเพื่อรักษาการถ่ายเทอุณหภูมิให้คงที่
      - นำไปเผาที่อุณหภูมิ 400-900 °C เป็นเวลา 5, 15, 30, 45 และ 60 นาที ตามลำดับ
      - นำไปทดสอบเพื่อหาสภาวะที่ประสิทธิภาพการดูดซับที่เหมาะสมเพื่อนำมาใช้ใน

การศึกษา

ขั้นตอนการเตรียมถ่านกัมมันต์ ๘๗๑๔๕๘

กระบวนการทดสอบประสิทธิภาพค่าน้ำที่ผลิตจากแมล็ดลินจี

การทดสอบสภาพว่าที่เหมาะสมในการผลิตถ่านกัมมันต์ด้วยการทำลายไอโอดีน  
ซึ่งได้ตรวจสอบด้วยสารละลายน้ำร้อนโซเดียมไนโตรไซด์ เมื่อเทียบกับตัวอย่างดังนี้

- เติมสารละลายน้ำยาไอโอดีนมาตรฐาน (ภาคผนวก ข) 150 ml
  - เติมสารละลายน้ำยาไอโอดีนมาตรฐานปริมาณ 100 ml ลงในในขวดรูปชามพู่ขนาด 700 800 และ 900 °C เป็นเวลา 5 10 15 30 45 และ 60 นาที
  - ทดสอบด้านกัมมันต์ที่ผลิตจากเมล็ดลิ้นจี่ ณ สภาพต่าง ๆ ดังนี้ อุณหภูมิ 600
  - นำไปเขย่าด้วยความเร็ว 210 rpm (round per minute) ต่อนาทีที่อุณหภูมิห้องเป็นเวลา 24 ชั่วโมง
  - นำน้ำเสียที่เติมด้านกัมมันต์กรองด้วยกระดาษกรองเบอร์ 1 และหาค่าร้อยละของ การกำจัดสีไอโอดีนมาตรฐานที่เหลืออยู่

6. ถ่ายภาพถ่านกัมมันต์ที่เตรียมได้ในแต่ละสภาวะด้วยกล้องจุลทรรศน์อิเล็กตรอนแบบส่อง粒

การทดลองที่ 3 ศึกษาและเปรียบเทียบประสิทธิภาพในการกำจัด COD ของถ่านกัมมันต์

#### วิธีการทดสอบประสิทธิภาพถ่านกัมมันต์จากเม็ดลินี่

ศึกษาเปรียบเทียบประสิทธิภาพในการกำจัดน้ำเสียที่ผ่านกระบวนการตัดตอนด้วยการคุณดับด้วยถ่านกัมมันต์ที่ผลิตจากเม็ดลินี่เทียบกับถ่านกัมมันต์ที่มีขายตามห้องตลาดโดยศึกษาทดลองกระบวนการคุณดัดผิวแบบไม่ต่อเนื่องที่อุณหภูมิห้อง มีรายละเอียดดังนี้

1. นำน้ำเสียที่ผ่านการตัดตอนภายใต้สภาวะที่เหมาะสม (Optimum Dose, Optimum pH) จากการทดลองที่ 1 ปริมาณ 60 ml ใส่ลงในขวดรูปทรงพู่ปริมาตร 100 ml โดยวัดปริมาณค่า COD เริ่มต้นก่อนทำการทดลอง
2. ใส่ถ่านกัมมันต์จำนวน 500 1,000 1,500 2,000 2,500 3,000 3,500 และ 4,000 mg ปรับค่า pH ของน้ำเสียที่ pH 3 นำไปเขย่าด้วยความเร็ว 210 rpm ที่อุณหภูมิห้องเป็นเวลา 24 ชั่วโมง จากนั้นกรองด้วยกระดาษกรองเบอร์ 1 และหาร้อยละของการกำจัด COD ที่เหลืออยู่
3. ดำเนินการทดลองตามข้อ 1 และ 2 โดยปรับค่า pH ของน้ำเสียเป็น pH 5 7 และ 9 ตามลำดับ

ขั้นตอนการทดลองที่ 3 แสดงดังภาพ 9

## ขั้นตอนการทดลอง

การทดลองที่ 1 ศึกษานิคและปริมาณสารเคมีที่เหมาะสมในการนำบดน้ำเสียจากโรงงานผลิตกระดาษสา ดำเนินต้นเป็น จําເກອສັນກຳແພງ ຈັງຫວັດເຊີຍໃໝ່ທີ່ຜ່ານกระบวนการทดลองของสารทดลอง 2 ชนิด คือ สารส้มและโพลีօລຸມິນິບມຄລອໄຣດ໌

### การทดลองแบ่งการศึกษาออกเป็น 2 ขั้นตอน

#### การหาปริมาณสารทดลองที่เหมาะสมในการทดลอง(Optimum Dose)

นำน้ำเสียตัวอย่างก่อนทำการทดลองมาศึกษาค่าตัวแปร ดังนี้ สี, Turbidity, COD, SS และ pH ตัวอย่างละอย่างน้อย 2 ช้อน เพื่อเป็นข้อมูลคุณสมบัติตัวอย่างน้ำเสียก่อนการทดลอง

1. เติมน้ำเสียในละ 1 ลิตร ลงในบีโคอร์ จำนวน 6 ใบในที่ 1 ไม่เติมสารเคมีสำหรับการทดลอง (Control) ในที่ 2, 3, 4, 5 และ 6 เติมสารส้มสำหรับการทดลองปริมาณ 2,000,, 4,000, 6,000, 8,000 และ 10,000 mg/L ตามลำดับ

กำหนดเงื่อนไขการทดลองคือ กวนเร็ว 120 นาที 1 นาที กวนช้า 30 นาที 5 นาที และทิ้งไว้ให้ตกลง นาน 30 นาที

2. นำน้ำเสียตัวอย่างที่ผ่านการทดลองมาทดสอบหาค่า ตัวแปร ดังนี้ สี, Turbidity, COD, SS และ pH ที่เหลืออยู่ภายหลังการทดลองและเลือกช่วงความเข้มข้นที่มีการทดลองของสีไม่น้อยกว่าร้อยละ 50 เพื่อทำการทดลองขั้นต่อไป

3. ทำช้อนในขั้นตอนที่ 1 และ 2 โดยกำหนดช่วงปริมาณสารส้มจากข้อมูลข้อ 2 เพื่อหาปริมาณสารส้มที่เหมาะสม (Optimum Dose)



การทดลองที่ 2 การศึกษาขั้นตอนการผลิตถ่านกัมมันต์จากเมล็ดลินจี

**ขั้นตอนการเตรียมถ่านกัมมันต์แบ่งเป็น 3 ขั้นตอน**

**1. การกำจัดน้ำออก**

นำเมล็ดลินจีมาล้างทำความสะอาดด้วยน้ำประมาณ 2 ครั้งและล้างด้วยน้ำกลั่น

นำเมล็ดลินจีที่เตรียมไว้อบที่อุณหภูมิ  $105^{\circ}\text{C}$  เป็นเวลา 24 ชั่วโมง จากนั้นนำไปเก็บไว้ในโถคุณภาพชั้น เป็นเวลา 2 ชั่วโมง เพื่อลดความชื้นที่คงค้างอยู่ออกให้หมด

**2. การเผาให้เป็นถ่าน (Carbonization)**

นำเมล็ดลินจีมาเผาที่อุณหภูมิ  $400 - 900^{\circ}\text{C}$  เป็นเวลา 5, 15, 30, 45 และ 60 นาทีตามลำดับ

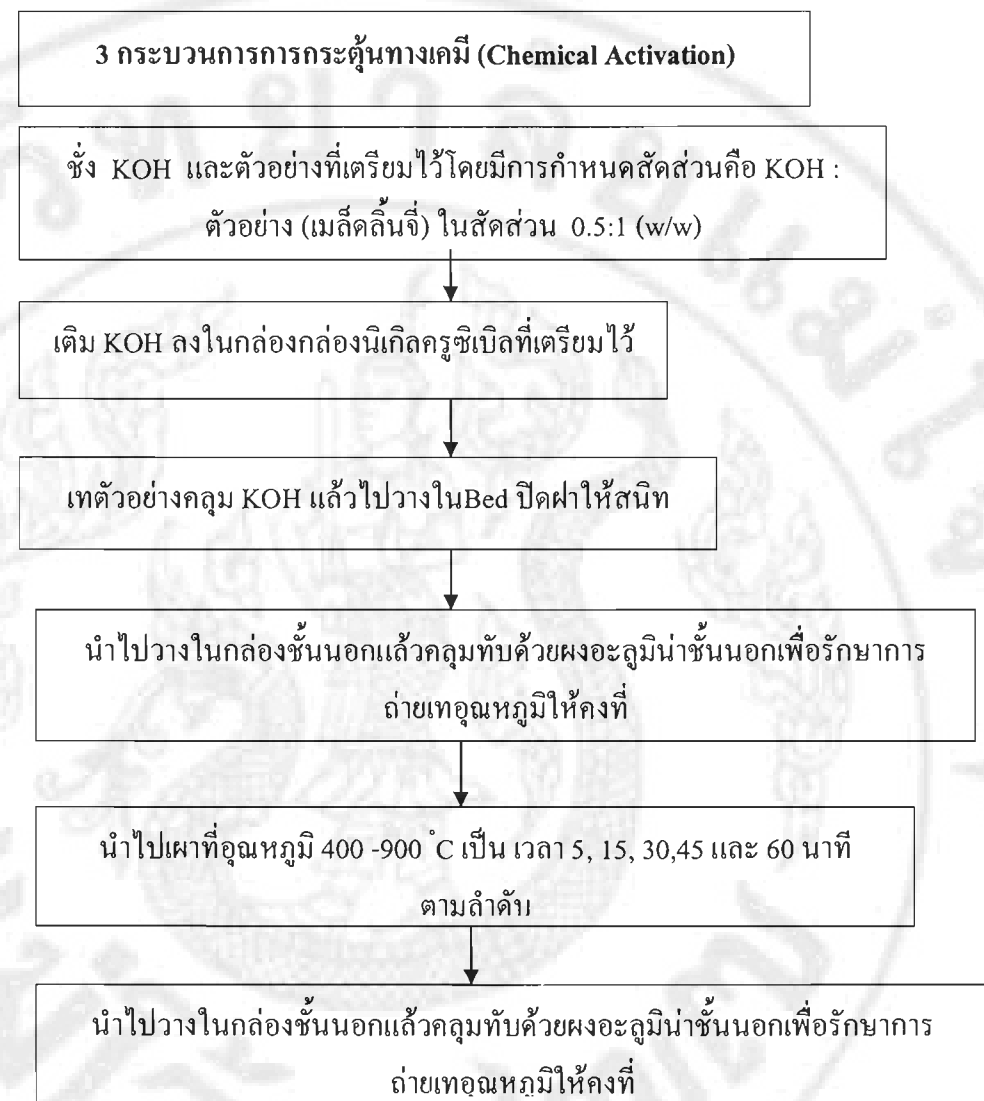
นำไปเก็บไว้ในโถคุณภาพชั้น เป็นเวลา 2 ชั่วโมง เพื่อคุณภาพชื้นออกให้หมด

นำไปซึ่งน้ำหนักเพื่อหาร้อยละความชื้นจนกว่าค่าที่ได้จะคงที่

นำมานำบดและร่อนในตะแกรงขนาด 60 เมช

นำไปทดสอบเพื่อหาสภาวะที่มีประสิทธิภาพการดูดซับที่ดีที่สุดเพื่อนำมาใช้ในการวิจัย

ภาพ 8 การศึกษาขั้นตอนการผลิตถ่านกัมมันต์จากเมล็ดลินจี



ภาพ 8 (ต่อ )

การทดลองที่ 3 ศึกษาและเปรียบเทียบประสิทธิภาพในการกำจัด COD ของถ่านกัมมันต์

**วิธีการทดสอบประสิทธิภาพถ่านกัมมันต์จากเมล็ดลินจី**

นำน้ำเสียที่ผ่านการตกรตะกอนภายในภาวะที่เหมาะสม (Optimum Dose, Optimum pH) จากการทดลองที่ 1 ปริมาณ 60 ml ใส่ลงในขวดรูปทรงพู่ปริมาตร 100 ml โดยวัดปริมาณค่า COD เริ่มต้นก่อนทำการทดลอง

ใส่ถ่านกัมมันต์จำนวน 500 1,000 1,500 2,000 2,500 3,000 3,500 และ 4,000 mg ปรับค่า pH ของน้ำเสียที่ pH 3 นำไปเขย่าด้วยความเร็ว 210 rpm ที่อุณหภูมิห้องเป็นเวลา 24 ชั่วโมง จากนั้นกรองด้วยกระดาษกรองเบอร์ 1 และหาร้อยละของการกำจัด COD ที่เหลืออยู่

ดำเนินการทดลองตามข้อ 1 และ 2 โดยปรับค่า pH ของน้ำเสียเป็น pH 5 7 และ 9 ตามลำดับ

ภาพ 9 แสดงวิธีการทดสอบประสิทธิภาพถ่านกัมมันต์จากเมล็ดลินจី

#### บทที่ 4

#### ผลการศึกษาและวิจารณ์ผลการศึกษา

ในการศึกษาประสิทธิภาพการกำจัดสีจากน้ำเสียโรงงานผลิตกระดาษสาด้วยกระบวนการตกรตะกอน และการคูดซับด้วยถ่านกัมมันต์ มีวัตถุประสงค์เพื่อศึกษาชนิด และปริมาณสารเคมีที่เหมาะสม ในการกำจัดน้ำเสียจากโรงงานผลิตกระดาษสา ตำบลตันเป่า อำเภอสันกำแพง จังหวัดเชียงใหม่ที่ผ่านกระบวนการตกรตะกอนของสารตกรตะกอน 2 ชนิด คือ สารส้ม (Alum;  $\text{Al}_2(\text{SO}_4)_3 \cdot 18\text{H}_2\text{O}$ ) และโพลีอลูมิเนียมคลอไรด์ (PAC,  $(\text{Al}_2(\text{OH})_3\text{Cl}_2)$ ) ศึกษาขั้นตอนการผลิตถ่านกัมมันต์จากเมล็ดลินินี้ และศึกษาประสิทธิภาพในการกำจัดน้ำเสียที่ผ่านกระบวนการตกรตะกอนด้วยการคูดซับด้วยถ่านกัมมันต์ที่ผลิตจากเมล็ดลินินี้ งานวิจัยได้แบ่งเป็น 3 การทดลอง ดังนี้

การทดลองที่ 1 ศึกษาชนิดและปริมาณสารเคมีที่เหมาะสมในการบำบัดน้ำเสียจากโรงงานผลิตกระดาษสา ตำบลตันเป่า อำเภอสันกำแพง จังหวัดเชียงใหม่ที่ผ่านกระบวนการตกรตะกอนของสารตกรตะกอน 2 ชนิด คือ สารส้มและโพลีอลูมิเนียมคลอไรด์

ในการวิจัยได้เก็บน้ำเสียจากโรงงานผลิตกระดาษสา ตำบลตันเป่า อำเภอสันกำแพง จังหวัดเชียงใหม่วิเคราะห์คุณสมบัติของน้ำเสียดังนี้ วัดค่าความเป็นกรด-ด่าง (pH) สี (Color) ความปนเปื้อน (Turbidity) ของแข็งแขวนลอย (Suspended Solids; SS) และค่าซีโอดี (Chemical Oxygen Demand; COD) ก่อนทำการตกรตะกอน

ตาราง 1 คุณสมบัติของน้ำตัวอย่าง (Influence ; INF) จากโรงงานผลิตกระดาษสา

ครั้งที่เก็บตัวอย่าง (เดือน)	ค่าความเป็นกรด – ด่าง	สี	ความชุ่น (NTU)	ของแข็งแขวนลอย (mg/L)	COD (mg/L)
มกราคม	7.12	2.15	27.93	353.33	1,973.33
เมษายน	6.95	2.64	35.78	489.56	2,230.56
กันยายน	7.05	2.1	26.45	345.23	1,965.32
ธันวาคม	6.96	2.78	38.56	502.35	2,465.23
เฉลี่ย	7.02	2.42	32.18	422.62	2,158.61

หมายเหตุ แต่ละตัวแปรทำการทดลอง 3 ช้ำ

จากข้อมูลในตาราง 1 จะเห็นได้ว่าคุณสมบัติของน้ำตัวอย่างจากโรงงานผลิตกระดาษสาได้ค่า pH อยู่ในช่วง 6.95-7.02 สีอยู่ในช่วง 2.10-2.78

ความชุ่นอยู่ในช่วง 26.45-38.56 NTU SS อยู่ในช่วง 345.23-502.35 mg/L และ ค่า COD อยู่ในช่วง 1,965.23-2,465.23 mg/L ตามลำดับ งานนี้ทำการทดสอบสี ความชุ่น SS และ COD ด้วยวิธีjarrett-test โดยเปรียบเทียบสารตกตะกอน 2 ชนิดคือ สารส้มและโพลี-อลูมิเนียมคลอไรด์ นำสารละลายใส่ส่วนบนวัดค่า pH สี ความชุ่น SS และ COD โดยกำหนดให้ประสิทธิภาพการกำจัดสีไม่เกินร้อยละ 50 เมื่อเทียบกับ INF และควบคุมการทดลองที่อุณหภูมิ  $28 \pm 2$  องศาเซลเซียสโดยแบ่งการทดสอบออกเป็น 2 ส่วน คือ

1. หาปริมาณสารตกตะกอนที่เหมาะสมในการตกตะกอน (Optimum-Dose)
2. หาความเป็นกรด-เบส ที่เหมาะสมในการตกตะกอน (Optimum pH)

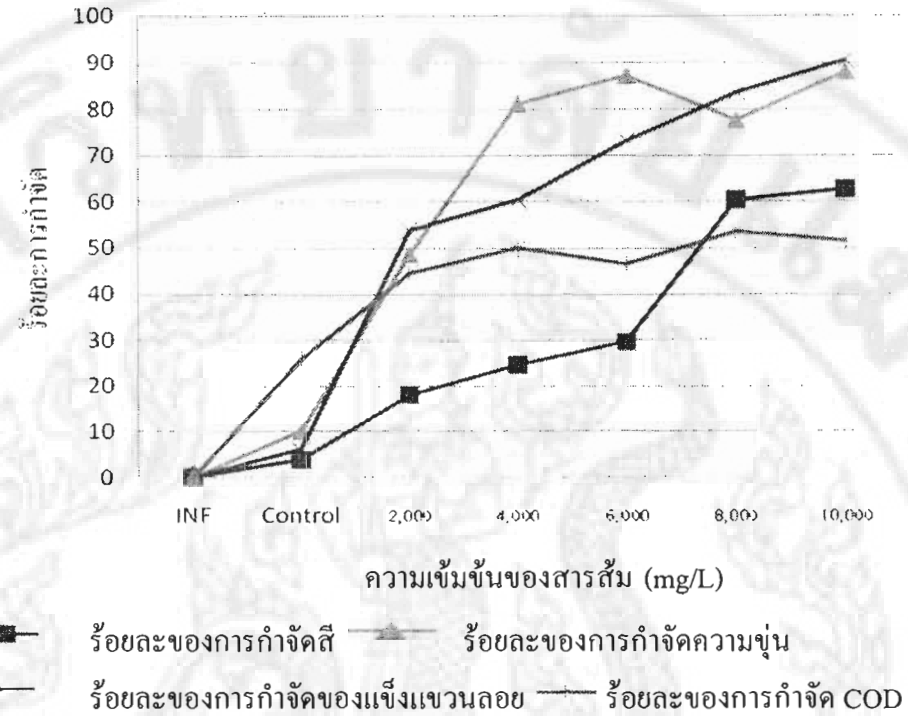
ผลการทดลองค้างแสดงในตาราง 2-9 ดังนี้

ตาราง 2 การหาปริมาณสารส้มที่เหมาะสมในการตัดก่อนแบบหขบ

ปริมาณสาร ตัดก่อน (mg/L)	ค่าความเป็นกรด – ด่างหลังการ ตัดก่อน	ร้อยละของ การกำจัดสี	ร้อยละของ การกำจัด	ร้อยละของการ กำจัดของแข็ง แบบลอย	ร้อยละของ การกำจัด COD
INF	7.02	0.00	0.00	0.00	0.00
Control	6.85	3.80	10.03	5.99	25.84
2,000	5.66	17.92	48.67	53.84	44.48
4,000	5.31	24.58	81.08	60.40	50.13
6,000	4.66	29.49	87.12	73.16	46.49
8,000	4.75	60.40	77.55	83.36	53.66
10,000	4.45	62.75	87.95	90.52	51.64

หมายเหตุ INF หมายถึง น้ำเสียก่อนเข้าสู่ระบบบำบัด  
 Control หมายถึง น้ำเสียที่ไม่ได้มีการเติมสารตัดก่อนผ่านกระบวนการและทิ้งไว้ให้  
 ตัดก่อน  
 ร้อยละของการกำจัดสำหรับ Control คำนวณเทียบกับ INF  
 ร้อยละของการกำจัดสำหรับการใช้ปริมาณสารตัดก่อน (2,000-10,000 mg/L)  
 คำนวณเทียบกับ Control

จากข้อมูลในตาราง 2 จะเห็นว่า เมื่อปริมาณสารส้มมากขึ้นค่า pH จะต่ำลง ค่าร้อย  
 ละของการกำจัดสีมีค่ามากขึ้น โดยที่ปริมาณสารส้มที่เหมาะสมแบบหขบอยู่ในช่วง 6,000–8,000  
 mg/L มีค่า pH หลังการตัดก่อน 4.66–4.75 ค่าร้อยละการกำจัดสี 29.49–60.40 ค่าร้อยละการ  
 กำจัดความชื้น 87.2–77.55 ค่าร้อยละการกำจัด SS 73.16–83.36 และค่าร้อยละการกำจัด COD  
 46.49–53.66 เมื่อเปรียบเทียบข้อมูลการกำจัดระหว่าง INF และ Control (ตาราง 2) พบว่า Control มี  
 ค่า pH หลังการกวนลดลง แต่ค่าร้อยละการกำจัดตัวแปรต่างๆ มีค่าเพิ่มขึ้น ทั้งนี้อาจเป็นเพราะการ  
 กวนส่งผลให้เกิดการรวมตัวของอนุภาคขนาดใหญ่ในน้ำและทำให้เกิดการจมตัวของอนุภาคขนาดใหญ่  
 ตามแรงโน้มถ่วงของโลกได้ในระดับหนึ่ง



ภาพ 10 แสดงประสิทธิภาพการตกรตะกอนของสารส้มแบบหบาน

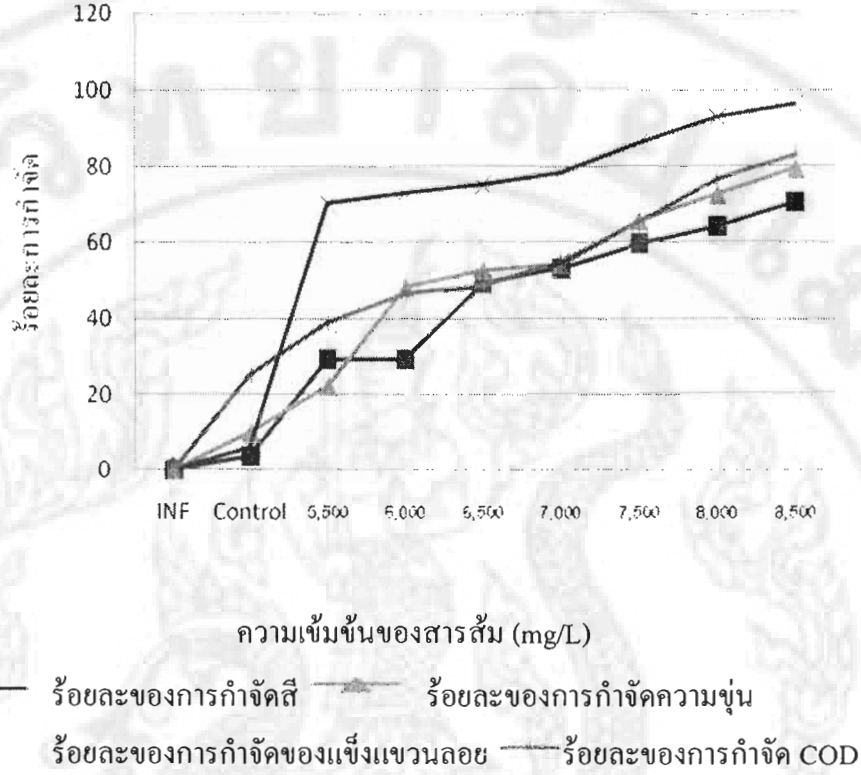
ดังจะเห็นได้จากภาพ 10 พบว่าแนวโน้มของสารส้มเพิ่มมากขึ้นค่า pH จะลดลงรวมทั้งค่าร้อยละในการกำจัดสี กำจัด SS และกำจัด COD จะเพิ่มมากขึ้น ยกเว้นค่าร้อยละในการกำจัดความชุ่นที่มีค่าลดลงเมื่อใช้สารส้มมากขึ้น ทั้งนี้อาจเป็นเพราะหากมีการเดินสารส้มจนความเข้มข้นของอลูมิเนียมสูงกว่าจุดอิ่มตัวอาจทำให้เกิดผลึกของ  $\text{Al(OH)}_3$  แวดล้อมอยู่ในน้ำเพิ่มขึ้น (มั่นสิน, 2542) เช่นเดียวกับการศึกษาของโสภณ, 2548 ซึ่งทำการศึกษาหาปริมาณสารส้มจากน้ำเสียของกระบวนการผลิตกระดาษสาพบว่าปริมาณสารส้มที่เหมาะสมในการตกรตะกอนอยู่ในช่วง 6,000–8,000 mg/L ค่าร้อยละการกำจัดความชุ่น 91.97–92.68 ค่าร้อยละการกำจัด SS 73.51–41.06 และค่าร้อยละการกำจัด COD 40.23–50.96

ตาราง 3 การหาปริมาณสารส้มที่เหมาะสมในการตกตะกอนแบบอีบีด

ปริมาณสารตกตะกอน (mg/L)	ค่าความเป็นกรด – ด่าง หลังการตกตะกอน	ร้อยละของ การกำจัดสี	ร้อยละของ การกำจัด ความชุ่น	ร้อยละของการ กำจัดของแข็ง แ学问ลอย	ร้อยละของ การกำจัด COD
INF	7.03	0.00	0.00	0.00	0.00
Control	6.85	3.80	10.03	5.99	25.48
5,500	6.56	29.37	22.24	70.24	39.24
6,000	4.66	29.49	48.14	73.16	46.49
6,500	4.68	49.18	52.67	75.37	48.64
7,000	4.76	53.38	54.26	78.47	55.18
7,500	4.71	59.72	65.66	86.25	65.46
8,000	4.51	64.53	72.59	92.99	77.09
8,500	4.94	70.94	79.47	96.28	83.05

จากข้อมูลในตาราง 3 จะเห็นว่าปริมาณสารส้มที่เหมาะสมในการตกตะกอน (Optimum Dose) อยู่ที่ 6,500 mg/L มีค่า pH หลังการตกตะกอน 4.68 ค่าร้อยละการกำจัดสี 49.18 ค่าร้อยละการกำจัดความชุ่น 52.67 ค่าร้อยละการกำจัด SS 75.37 และค่าร้อยละการกำจัด COD 48.64

เมื่อพิจานภาพ 11 พบร่วมแนวโน้มของสารส้มเพิ่มมากขึ้นค่า pH จะลดลงค่าร้อยละในการกำจัดสี ค่าร้อยละการกำจัดความชุ่น ค่าร้อยละการกำจัด SS และ ค่าร้อยละการกำจัด COD จะเพิ่มมากขึ้น ซึ่งสอดคล้องกับงานวิจัยของโภกณ (2548) พบร่วมปริมาณสารส้มที่เหมาะสมในการตกตะกอนน้ำเสียของกระบวนการผลิตกระดาษสาอยู่ที่ 6,500 mg/L มีค่าร้อยละการกำจัดดังนี้ ความชุ่น 94.10 SS 58.76 และ COD 55.93 เช่นเดียวกับเกียรติศักดิ์ และ ณิต (2542) ได้ทำการศึกษาการกำจัดขั้นต้นน้ำเสียจากโรงงานผลิตกระดาษสาโดยกระบวนการสร้างตะกอน พบร่วมใช้สารส้ม 15 mg/L เพอร์เซลเฟต 900 mg/L และเพอร์ริคคลอไรด์ ( $\text{FeCl}_3$ ) 1,000 mg/L สามารถลดค่า COD ได้ร้อยละ 45.8 45.4 และ 42.0 ตามลำดับ และสามารถลดค่า SS ได้ร้อยละ 78.4 85.2 และ 37.6 ตามลำดับ จะเห็นได้ว่าสารส้มมีประสิทธิภาพสูงสุดในการกำจัดขั้นต้น



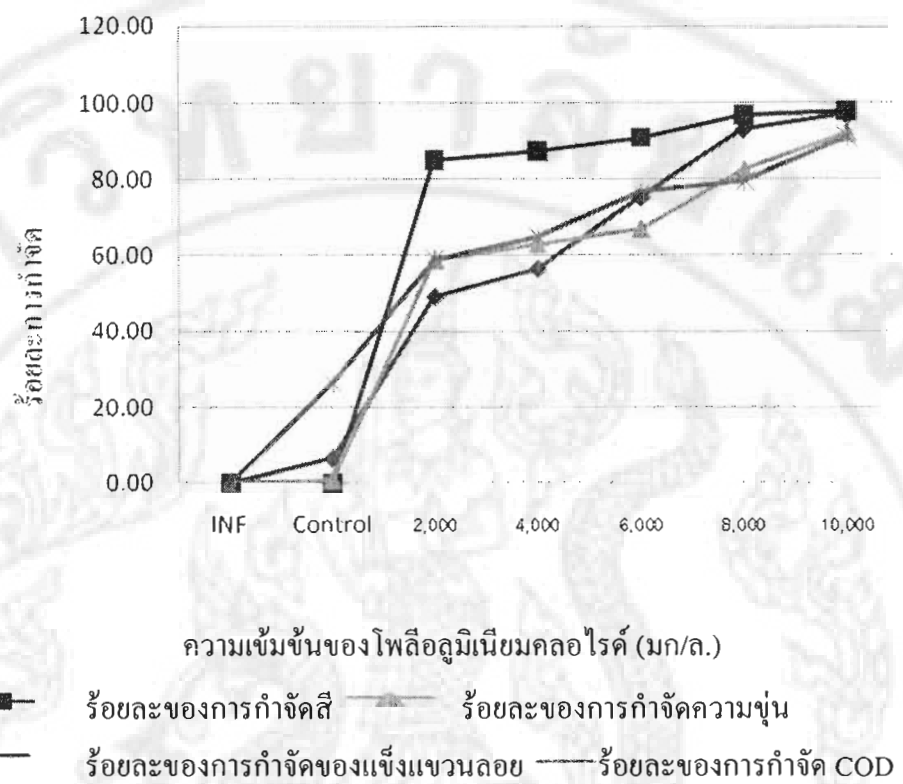
ภาพ 11 แสดงประสิทธิภาพการตกลงกันของสารส้มแบบละเอียด

ดังนั้นในการหาปริมาณสารส้มที่เหมาะสมในการตกลงกันแบบหนาแน่น อยู่ในช่วง 6,000-8,000 mg/L และปริมาณสารส้มเหมาะสมในการตกลงกันแบบละเอียด (Optimum Does) อยู่ที่ 6,500 mg/L และเมื่อเติมสารส้มในปริมาณที่สูงขึ้นจะสามารถกำจัด SS และ COD ได้มากขึ้น ที่เป็นเช่นนี้ เพราะว่าการเกิด Hydrolysis ของสารส้ม ทำให้สารส้มสามารถดูดติดผิวของอนุภาคและ เกิดเป็นสารประกอบเชิงซ้อนที่มีประจุเป็นบวกจับตัวกับประจุลบของอนุภาค (สารแbewnloby) ทำ ให้เสถียรภาพของอนุภาคแbewnlobyลดลง จนสามารถรวมตัวกันเป็นฟลีอกจนตัวลง กลไกนี้ เกิดขึ้นในเวลา  $10^{-4}$ -1 วินาที และจะต้องมีปริมาณสารเชิงซ้อนที่พอเหมาะสม ถ้าสารดูดติดผิวไม่ เกิดขึ้นในเวลา 1 วินาที ถ้ามีการเติมสารส้มจนความเข้มข้นของอัลูมิเนียมสูงกว่าจุดอิ่มตัวปฏิกิริยา Hydrolysis จะดำเนินไปจน Hydrolysis Complex กลายเป็น  $\text{Al(OH)}_3$ , เกิดเป็นกลไกแบบห่อหุ้ม อนุภาคคลอ络อบด้วยฟลีก  $\text{Al(OH)}_3$ , มีลักษณะคล้ายปุ๋ยเมื่ออนุภาคแbewnlobyสัมผัสกับฟลีก  $\text{Al(OH)}_3$ , จะเกะจันอยู่ที่ฟลีกนั้น ทำให้มีขนาดใหญ่ขึ้นจนตัวลง (มั่นสิน, 2542)

ตาราง 4 การหาปริมาณโพลีอลูมิเนียมคลอไรด์ที่เหมาะสมในการตอกตะกอนแบบหยาบ

ปริมาณสารตอกตะกอน (mg/L)	ค่าความเป็นกรด – ด่าง หลังการตอกตะกอน	ร้อยละของการกำจัดสี	ร้อยละของ การกำจัด ความชุ่น	ร้อยละของ การกำจัด ของแข็ง แขวนลอย	ร้อยละ ของการ กำจัด <b>COD</b>
INF	7.02	0.00	0.00	0.00	0.00
Control	6.95	6.64	0.29	1.14	26.70
2,000	6.68	49.31	84.88	59.16	58.98
4,000	6.43	56.75	87.25	63.26	65.16
6,000	6.14	75.45	90.74	67.24	76.78
8,000	5.61	93.01	96.77	82.58	79.48
10,000	5.25	97.00	97.76	92.19	91.10

จากข้อมูลในตาราง 4 จะเห็นว่า เมื่อปริมาณโพลีอลูมิเนียมคลอไรด์เพิ่มขึ้นค่า pH จะต่ำลง ร้อยละของการกำจัดสีมีค่ามากขึ้น โดยที่ปริมาณโพลีอลูมิเนียมคลอไรด์ ที่เหมาะสมแบบหยาบอยู่ในช่วง 2,000–4,000 mg/L มีค่า pH หลังการตอกตะกอน 6.68–6.43 ร้อยละการกำจัดสี 49.31–59.75 ร้อยละการกำจัดความชุ่น 84.88–87.25 ร้อยละการกำจัด SS 59.16–63.26 และร้อยละการกำจัด COD 58.98–65.16 เมื่อพิจารณาจากภาพ 12 พบว่าแนวโน้มของโพลีอลูมิเนียมคลอไรด์ เพิ่มมากขึ้นค่า pH จะลดลง ในขณะที่ร้อยละการกำจัดสี ความชุ่น SS และ COD จะเพิ่มมากขึ้นซึ่ง สอดคล้องกับงานวิจัยของโสกณ (2548) พบว่าปริมาณโพลีอลูมิเนียมคลอไรด์ ที่เหมาะสมในการตอกตะกอนอยู่ในช่วง 2,000–4,000 mg/L ค่าร้อยละการกำจัดความชุ่น 89.63–92.18 ร้อยละการกำจัด SS 92.19–47.02 และร้อยละการกำจัด COD 55.93–64.56



ภาพ 12 แสดงประสิทธิภาพการตกตกอนของโพลีอลูมิเนียมคลอไรด์ แบบหายน

อย่างไรก็ตาม เมื่อเปรียบเทียบผลของการตกตกอนด้วยสารส้มแบบหายน (ตาราง 2) กับ โพลีอลูมิเนียมคลอไรด์ (ตาราง 4) จะเห็นได้ว่าร่าร้อยละการกำจัดความชุ่นแตกต่างกันกล่าวคือ ค่าร้อยละการกำจัดความชุ่นของสารส้มมีค่าลดลง (87.12–77.55) เมื่อใช้ปริมาณสารส้มที่เพิ่มมากขึ้น (6,000–8,000 mg/L) ในขณะที่เมื่อใช้ปริมาณโพลี-อลูมิเนียมคลอไรด์เพิ่มขึ้น (2,000 – 4,000 mg/L) ค่าร้อยละการกำจัดความชุ่นมีค่าเพิ่มขึ้น (84.88–87.25) ทั้งนี้เป็นการชี้ให้เห็นถึงข้อได้เปรียบของการใช้โพลีอลูมิเนียมคลอไรด์ ซึ่งพบว่าหากมีการใช้ปริมาณของโพลีอลูมิเนียมคลอไรด์มากเกินพอก การเกิดปัญหาตกค้างของโพลีอลูมิเนียมคลอไรด์ในรูปของอนุภาคแขวนลอยจะเกิดขึ้น ได้ยากกว่าการใช้สารส้ม อีกทั้งโพลีอลูมิเนียมคลอไรด์มีคุณสมบัติที่ละลายน้ำได้ดี (ภานุญาติ, 2536) ดังจะเห็นได้จากผลการทดลองในตาราง 4 พบว่าเมื่อใช้ปริมาณโพลีอลูมิเนียมคลอไรด์มากขึ้น ค่าร้อยละการกำจัดตัวแปรต่างๆ มีค่าเพิ่มขึ้นตามไปด้วย

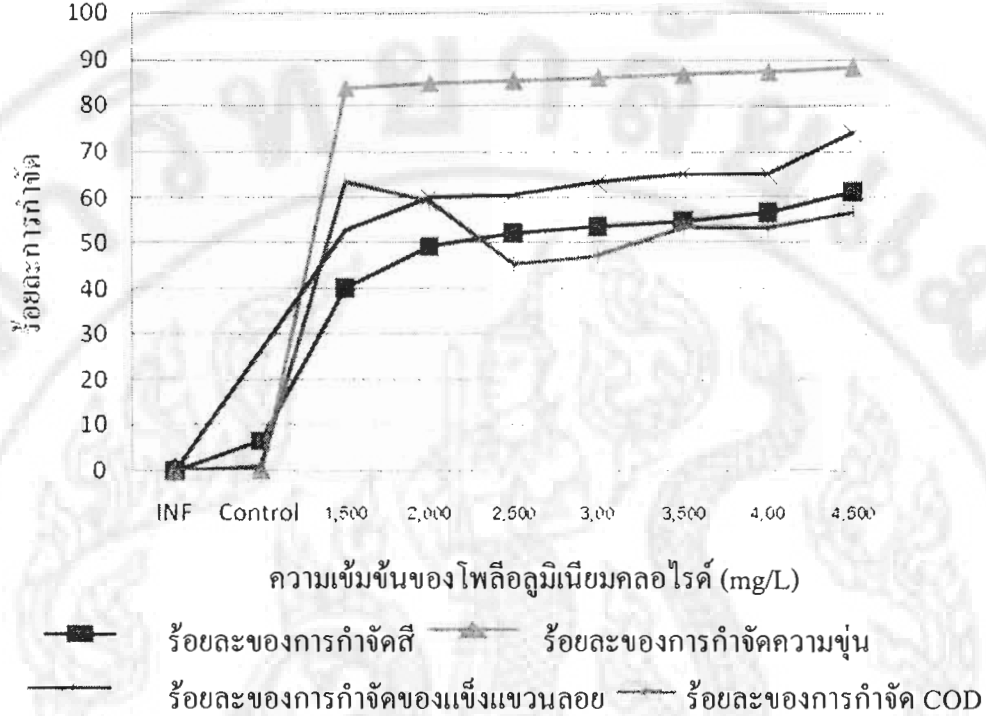
ตาราง 5 การหาปริมาณสารโพลีอัลูมิเนียมคลอไรด์ที่เหมาะสมในการตกรตะกอนแบบละเอียด

ปริมาณสารตกรตะกอน (mg/L)	ค่าความเป็นกรด – ด่าง หลังการตกรตะกอน	ร้อยละของ การกำจัดสี	ร้อยละของ การกำจัด ความชุ่น	ร้อยละของ การกำจัด ของแข็ง แวนดอย	ร้อยละของ การกำจัด COD
INF	7.02	0.00	0.00	0.00	0.00
Control	6.95	6.64	0.29	26.70	1.14
1,500	6.85	40.22	83.80	52.65	63.37
2,000	6.68	49.31	84.88	60.14	59.16
2,500	6.59	52.23	85.42	60.74	45.35
3,000	6.46	53.66	86.04	63.40	47.15
3,500	6.53	54.88	86.73	65.18	53.15
4,00	6.43	56.75	87.25	65.16	53.15
4,500	5.82	61.24	88.21	74.09	56.76

จากข้อมูลในตาราง 5 จะเห็นว่าปริมาณโพลีอัลูมิเนียมคลอไรด์ที่เหมาะสมแบบละเอียดอยู่ที่ 2,000 mg/L มีค่า pH หลังการตกรตะกอน 6.68 ค่าร้อยละการกำจัดสี 49.31 ค่าร้อยละการกำจัดความชุ่น 84.88 ค่าร้อยละการกำจัด SS 60.14 และค่าร้อยละการกำจัด COD 59.16

เมื่อพิจารณาภาพ 13 พบร่วมแนวโน้มของโพลีอัลูมิเนียมคลอไรด์เพิ่มมากขึ้นค่า pH จะลดลง ค่าร้อยละในการกำจัดสี ความชุ่น SS และ COD มีค่าเพิ่มมากขึ้น เช่นเดียวกับการศึกษาของโซกัน, 2548 พบร่วมปริมาณโพลีอัลูมิเนียมคลอไรด์ที่เหมาะสมในการตกรตะกอนอยู่ที่ 2,000 mg/L ร้อยละการกำจัดความชุ่น 91.39 ร้อยละการกำจัด SS 53.06 และร้อยละการกำจัด COD 26.32

ดังนั้นผลการทดลองในงานวิจัยนี้ พบร่วมปริมาณโพลีอัลูมิเนียมคลอไรด์ที่เหมาะสมในการตกรตะกอนแบบหยาบอยู่ในช่วง 2,000-4,000 mg/L และปริมาณโพลี-อัลูมิเนียมคลอไรด์ที่เหมาะสมในการตกรตะกอนแบบละเอียด (Optimum Dose) 2,000 mg/L



ภาพ 13 แสดงประสิทธิภาพการตกรตะกอนของโพลีอัลูมิเนียมคลอไรด์ แบบละเอียด

เมื่อเปรียบเทียบปริมาณการใช้สารตกรตะกอนที่เหมาะสม (Optimum Dose) ระหว่างสารส้ม (6,500 mg/L) กับโพลีอัลูมิเนียมคลอไรด์ (2,000 mg/L) พบว่าโพลี-อัลูมิเนียมคลอไรด์ใช้ปริมาณที่น้อยกว่า เหตุที่เป็นเช่นนี้ เพราะโพลีอัลูมิเนียมคลอไรด์มีอยู่ในน้ำจะเกิดการแตกตัวได้  $\text{Al}^{+3}$  เช่นเดียวกันกับสารส้มที่มีความสามารถให้ไฮโดรเจนไอออนจึงเกิดการ Hydrolysis ของอัลูมิเนียมได้สารต่างๆ เช่น  $\text{Al}_{13}(\text{OH})_{34}^{+5}$ ,  $\text{Al}_{17}(\text{OH})_{17}^{+4}$ ,  $\text{Al}_6(\text{OH})_{15}^{+3}$  เป็นต้น ซึ่งเป็นสารที่มีอัลูมิเนียมหลายอะตอมที่เรียกว่า Polymeric Hydroxo Complex ซึ่งมีความสามารถในการปฏิกริยา กับคลอโรบอร์ต์ ทำให้ออนุภาคคลอโรบอร์ตไม่เสถียรแล้วทำให้เกิดการรวมกลุ่มกันเป็นอนุภาคที่ใหญ่ขึ้น แล้วจึงตกรตะกอน (มั่นสิน, 2542) แต่ โพลีอัลูมิเนียมคลอไรด์มีอำนาจในการสร้างและรวมตัวของตะกอนได้สูง มีความสามารถในการละลายน้ำได้ดีและสามารถสร้างตะกอนได้เร็วกว่าสารส้มอย่างเห็นได้ชัด (กาญจนิศา, 2536)

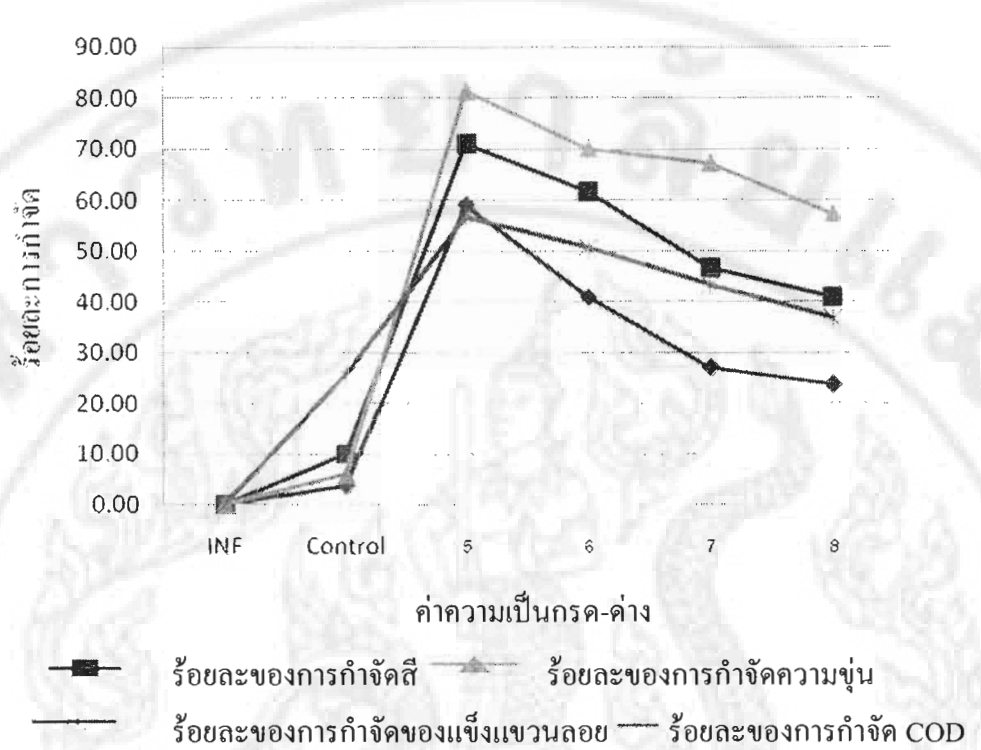
ส่วนที่ 2 ของการทดลองที่ 1 คือ การหาปริมาณค่าความเป็นกรด-ด่างที่เหมาะสมในการตกรตะกอนของน้ำเสียจากโรงงานผลิตกระดาษ โดยใช้ปริมาณสารตกรตะกอนที่เหมาะสม (Optimum Dose) จากส่วนที่ 1 ดังนี้ ปริมาณสารส้ม 6,500 mg/L และโพลีอัลูมิเนียมคลอไรด์ 2,000 mg/L โดยมีรายละเอียดผลการทดลอง ดังนี้

การหาปริมาณค่าความเป็นกรด-ด่างที่เหมาะสมในการตกตะกอนของสารส้ม โดยใช้ปริมาณสารส้ม 6,500 mg/L

ตาราง 6 การหาปริมาณความเป็นกรด-ด่างที่เหมาะสมแบบหยาบในการตกตะกอนของสารส้ม

ค่าความเป็นกรด-ด่าง ก่อนการตกตะกอน	ค่าความเป็นกรด – ด่าง หลังการตกตะกอน	ร้อยละของการกำจัดสี	ร้อยละของความชุ่น	ร้อยละของการกำจัดของแข็ง	ร้อยละของการกำจัดของเคมี COD
INF	7.02	0.00	0.00	0.00	0.00
Control	6.85	3.80	10.03	5.99	25.84
5	5.02	59.29	71.05	81.46	56.80
6	6.07	41.04	61.67	70.19	50.76
7	7.03	27.19	46.75	67.35	43.35
8	8.02	23.86	41.02	57.55	36.91

จากข้อมูลในตาราง 6 จะเห็นว่าค่า pH ที่เหมาะสมแบบหยาบอยู่ในช่วง 5-6 ซึ่งมีค่า pH หลังการตกตะกอน 5.02 – 6.07 ร้อยละการกำจัดสี 59.29 – 41.04 ร้อยละการกำจัดความชุ่น 71.05 -61.67 ร้อยละการกำจัด SS 81.46 – 70.19 และร้อยละการกำจัด COD 56.80 -50.76 เมื่อพิจารณาจากภาพ 5 พบร่วางแนวโน้มของค่า pH จะเพิ่มขึ้น ค่าร้อยละการกำจัดสี ความชุ่น SS และ COD จะลดลง

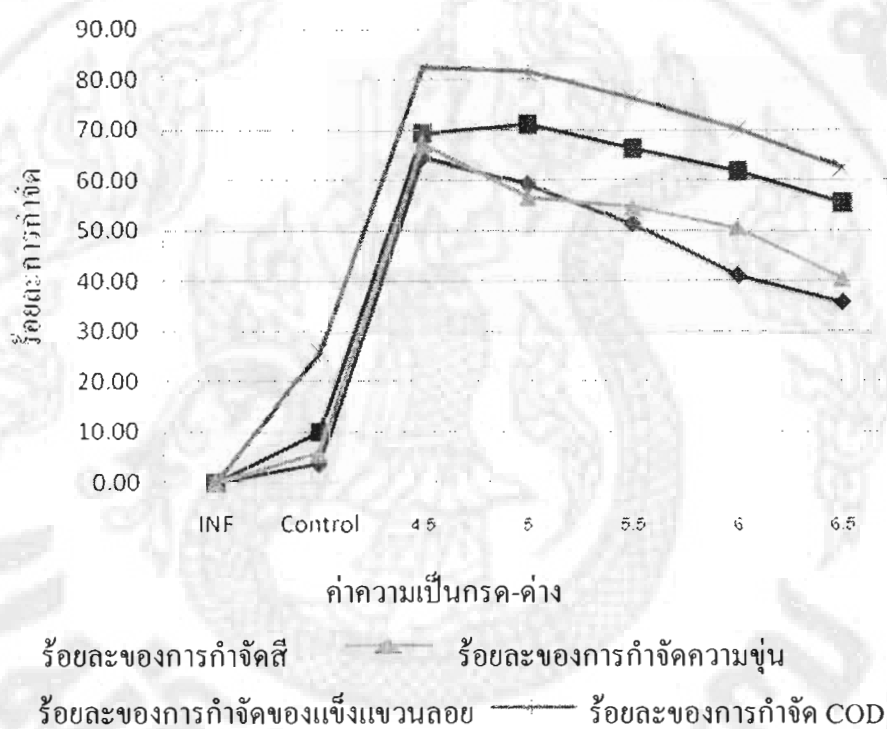


ภาพ 14 แสดงประสิทธิภาพในการหาความเป็นกรด-ด่างที่เหมาะสม แบบหานานในการตัดตอนของสารส้ม

ตาราง 7 การหาปริมาณความเป็นกรด-ด่างที่เหมาะสมแบบละเอียดในการตัดตอนของสารส้ม

ค่าความเป็นกรด-ด่างก่อนการตัดตอน	ค่าความเป็นกรด – ด่างหลังการตัดตอน	ร้อยละของการกำจัดสี	ร้อยละของการกำจัดความชุ่น	ร้อยละของการกำจัดของแข็งแขวนลอย	ร้อยละของการกำจัด COD
INF	7.02	0.00	0.00	0.00	0.00
Control	6.85	3.80	10.03	5.99	25.84
4.5	4.48	64.48	69.33	67.35	82.33
5	5.02	59.29	71.05	56.80	81.46
5.5	5.54	51.43	66.15	54.83	76.15
6	6.03	41.04	61.67	50.76	70.19
6.5	6.50	35.73	55.31	40.73	62.41

จากข้อมูลในตาราง 7 จะเห็นว่าค่า pH ที่เหมาะสมแบบละอีดอยู่ที่ 5.5 ซึ่งมีค่า pH หลังการตกลงกัน 5.54 ร้อยละการกำจัดสี 51.43 กำจัดความชุ่น 66.15 กำจัด SS 54.83 และกำจัด COD 76.15



ภาพ 15 แสดงประสิทธิภาพในการหาความเป็นกรด-ด่างที่เหมาะสมแบบละอีดในการตกลงกัน ของสารส้ม

เมื่อพิจารณาภาพ 15 พบร่วมกันของค่า pH ก็จะเพิ่มขึ้น ค่าร้อยละการกำจัดสี ความชุ่น SS และ COD จะลดลง สอดคล้องกับงานวิจัยของเพิ่มพูน, 2550 ศึกษาการกำจัดสารอินทรีย์การบอนรวมในน้ำเสียอุตสาหกรรมฟอกย้อมด้วยกระบวนการตกลงกันร่วมกับกระบวนการดูดซับ โดยใช้สารตกลงกัน 3 ชนิดคือ สารส้ม เฟอร์ริคคลอไรด์ ( $\text{FeCl}_3$ ) และเฟอร์รัสเซลเฟต ( $\text{FeSO}_4$ ) พบร่วมกันของค่า pH 5 มีประสิทธิภาพในการกำจัด TOC ได้ดีที่สุด โดยใช้ปริมาณสารส้มที่ 200 mg/L ที่ pH 5 มีประสิทธิภาพในการกำจัด TOC ได้ร้อยละ 81.1 จึงเห็นได้ว่าน้ำเสียจากการกระบวนการผลิตกระดาษใช้ปริมาณสารตกลงกันมากกว่าน้ำเสียอุตสาหกรรมฟอกย้อมเนื่องจากน้ำเสียในกระบวนการฟอกย้อมมีตั้งกอนของสารอินทรีย์ปะปนอยู่ในปริมาณที่

มากกว่าจึงใช้สารตกตะกอนน้อยกว่า เมื่อจากคลอโลดอย์ (สารอินทรีย์) ที่มีประจุลบสามารถลดเกาะกับสารตกตะกอนที่มีประจุบวกทำให้สามารถตกตะกอนได้มากกว่า

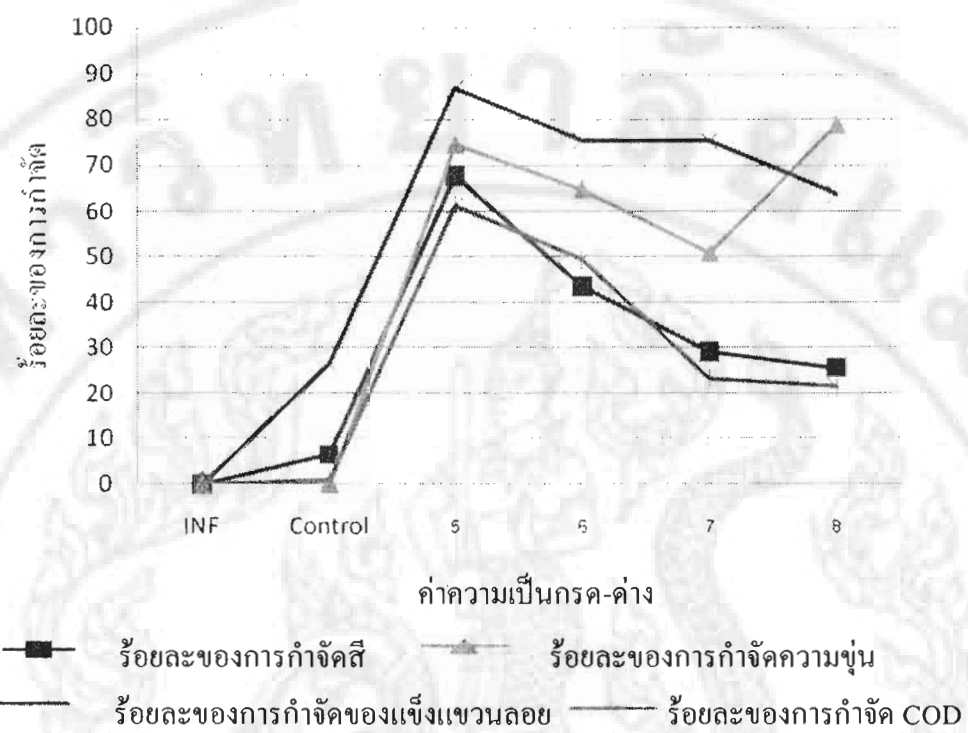
ดังนั้นในงานวิจัยนี้พบว่า การใช้สารส้ม (Optimum Dose) 6,500 mg/L ในการตกตะกอนได้ค่า pH ที่เหมาะสมแบบหมายอยู่ในช่วง 5 – 6 และแบบละเอียด (Optimum pH) ที่ 5.5

การหาปริมาณค่าความเป็นกรด-ด่างที่เหมาะสมในการตกตะกอนของโพลีอลูมิเนียมคลอไรด์ โดยใช้ปริมาณโพลีอลูมิเนียมคลอไรด์ 2,000 mg/L

**ตาราง 8 การหาปริมาณความเป็นกรด-ด่างที่เหมาะสมแบบหมายในการตกตะกอนของโพลีอลูมิเนียมคลอไรด์**

ค่าความเป็นกรด-ด่าง ก่อนการตกตะกอน	ค่าความเป็นกรด – ด่าง หลังการตกตะกอน	ร้อยละของการกำจัดสี	ร้อยละของการกำจัด ความชื้น	ร้อยละของการกำจัดแข็ง	ร้อยละของการกำจัด COD
INF	7.02	0.00	0.00	0.00	0.00
Control	6.95	6.64	0.29	26.70	1.14
5	5.04	67.73	74.60	86.69	61.35
6	6.04	43.53	64.79	75.23	49.48
7	7.02	29.17	50.93	75.17	23.45
8	8.10	25.71	78.71	63.73	21.55

จากข้อมูลในตาราง 8 จะเห็นว่าค่า pH ที่เหมาะสมแบบหมายอยู่ที่ 5 - 6 ซึ่งมีค่า pH หลังการตกตะกอน 5.04 – 6.04 ค่าร้อยละการกำจัดสี 67.73 – 43.53 ค่าร้อยละการกำจัดความชื้น 74.60 – 64.79 ค่าร้อยละการกำจัด SS 86.96 – 75.23 และค่าร้อยละการกำจัด COD 61.35 – 49.48 เมื่อพิจานาภาพ 16 พบร่วมน้ำของค่า pH จะเพิ่มขึ้น ค่าร้อยละการกำจัดสี ความชื้น SS และ COD จะลดลง กล่าวคือ เมื่อค่า pH มากขึ้นร้อยละการกำจัดสีมีค่าน้อยลง

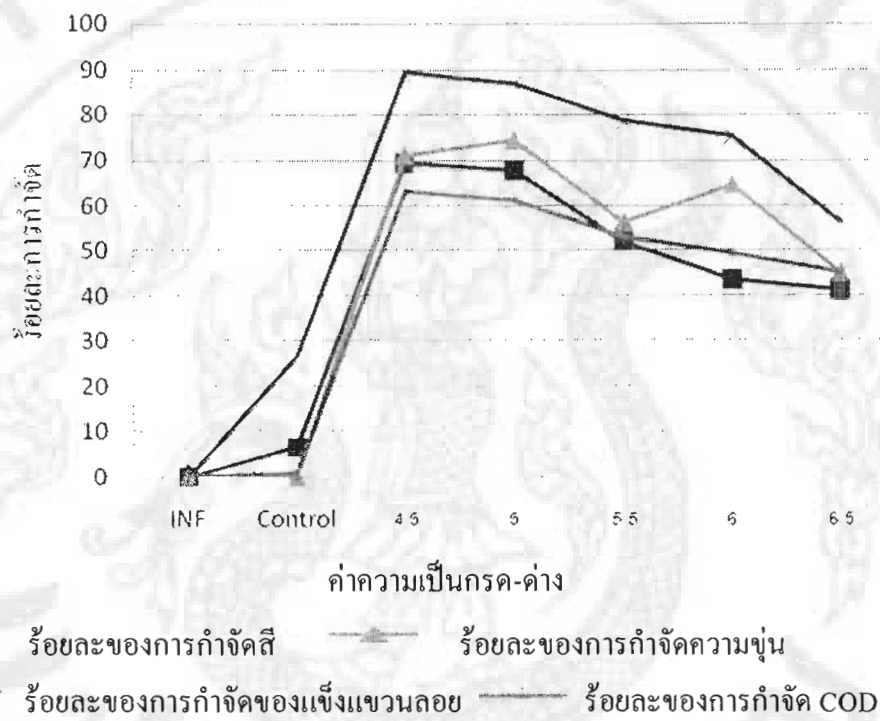


ภาพ 16 แสดงประสิทธิภาพในการหาความเป็นกรด-ค่างที่เหมาะสมแบบหมายในการตกตะกอนของโพลีอลูมิเนียมคลอไรด์

ตาราง 9 การหาปริมาณความเป็นกรด-ค่างที่เหมาะสมแบบละเอียดในการตกตะกอนของโพลีอลูมิเนียมคลอไรด์

ค่าความเป็นกรด-ค่าง ก่อนการตกตะกอน	ค่าความเป็นกรด - ค่างหลังการตกตะกอน	ร้อยละของการทำจัดสี	ร้อยละของการทำจัดความชุ่น	ร้อยละของการทำจัดของแข็งแบบหมาย	ร้อยละของการทำจัด COD
INF	7.02	0.00	0.00	0.00	0.00
Control	6.95	6.64	0.29	26.70	1.14
4.5	4.53	69.46	71.25	89.26	63.21
5	5.04	67.73	74.60	86.69	61.35
5.5	5.56	52.13	56.53	78.54	53.23
6	6.04	43.53	64.79	75.23	49.48
6.5	6.54	41.26	45.23	56.30	45.23

จากข้อมูลในตาราง 9 จะเห็นว่าค่า pH ที่เหมาะสมแบบละเอียดอยู่ที่ 5.5 ซึ่งมีค่า pH หลังการตกลงกัน 5.56 ค่าร้อยละของการกำจัดสี 52.13 ค่าร้อยละของการกำจัดความชุ่น 56.53 ค่าร้อยละการกำจัด SS 78.54 และค่าร้อยละการกำจัด COD 53.23



ภาพ 17 แสดงประสิทธิภาพในการหาความเป็นกรด-ด่างแบบละเอียดที่เหมาะสมในการตกลงกันของโพลีอัลูมิเนียมคลอไรด์

เมื่อพิจานภาพ 17 พบร่วมกันของค่า pH จะเพิ่มขึ้น ค่าร้อยละของการกำจัดสี ความชุ่น SS และ COD จะลดลง กล่าวคือ เมื่อค่า pH มากขึ้นร้อยละการกำจัดสีมีค่าน้อยลง ดังนั้นในงานวิจัยนี้พบว่า การใช้โพลีอัลูมิเนียมคลอไรด์ (Optimum Dose) 2,000 mg/L ในการตกลงกันได้ค่า pH ที่เหมาะสมแบบขยายอยู่ในช่วง 5 – 6 และแบบละเอียด (Optimum pH) ที่ 5.5

ค่า pH มีความสัมพันธ์กับปริมาณสารสัมภาระคือ pH ที่เหมาะสมสำหรับการตกลงกันของสารสัมจะอยู่ที่ 5.5-8.0 (เกรียงศักดิ์, 2542) ซึ่งสอดคล้องกับผลการวิจัยนี้ที่ได้ค่า pH ที่เหมาะสมของสารสัมจะอยู่ที่ 5.5 ในขณะที่ค่า pH ของโพลีอัลูมิเนียมคลอไรด์ ที่เหมาะสมสำหรับ

การตกลดออกอนจะอยู่ที่ pH 6-9 แต่บางกรณีจะสามารถตกลดออกอนในช่วง pH 5-10 (กาญจนา, 2536) และผลการวิจัยนี้พบว่า pH ที่เหมาะสมของโพลีอัลูมิเนียม-คลอไรค์อยู่ที่ 5.5

จากการทดลองพบว่า ปริมาณสารตกลดออกอนและค่าความเป็นกรด-ด่างที่เหมาะสมในการตกลดออกอนมีผลต่อประสิทธิภาพการกำจัดค่าความสกปรกในรูปต่างๆ ดังเช่นการทดลองของ Boon et al. (1999) ทำการศึกษาเปรียบเทียบประสิทธิภาพในการกำจัดสีในน้ำเสียโดยสารตกลดออกอน 3 ชนิดคือ แมกนีเซียมคลอไรค์ สารส้มและโพลีอัลูมิเนียมคลอ-ไรค์ โดยใช้น้ำเสียจริงจากกระบวนการข้อมูลซึ่งใช้สีชนิด Reactive Dye ทำการทดลองโดย กระบวนการจาร์เตสต์ ทำการศึกษาถึงผลของ pH ปริมาณของสารตกลดออกอนที่ใช้และชนิดของสารตกลดออกอนที่ใช้ที่มีต่อประสิทธิภาพในการตกลดออกอน โดยทำการวนและปรับ pH ที่ 80-85 rpm (round per minute) เป็นเวลา 3 นาที จากนั้นกวนช้าที่ 30-35 rpm เป็นเวลา 10 นาที ทำการปรับ pH ในช่วง 4-12 และปริมาณของสารตกลดออกอนที่ใช้แตกต่างกัน 2-7 g/L ซึ่งจากการทดลองสรุปได้ว่า การตกลดออกอนเกิดขึ้นได้ดีที่ pH 10.5-11 และพบว่าเวลาในการสร้างตะกอนของแมกนีเซียมคลอไรค์ใช้เวลาน้อยกว่าโพลีอัลูมิเนียมคลอไรค์ โดยร้อยละของสารตกลดออกอนในการกำจัดพบว่า แมกนีเซียมคลอไรค์ใช้ปริมาณน้อยกว่าโพลี-อัลูมิเนียมคลอไรค์ และแมกนีเซียมคลอไรค์สามารถกำจัดสี COD และ SS เท่ากัน ร้อยละ 97.9 88.4 และ 95.5 ตามลำดับ

ซึ่งผลการวิจัยนี้สอดคล้องกับงานวิจัยของศุภวัฒน์ และ อชาวด์ (2544) ศึกษาความเป็นไปได้ในการกำจัดน้ำเสียจากโรงงานกระดาษแห่งหนึ่งในจังหวัดเชียงใหม่ ซึ่งเกิดจากกระบวนการต้มเปลือกสา โดยใช้กระบวนการสร้างตะกอน ซึ่งเป็นการกำจัดน้ำเสียขั้นต้น (Pre-Treatment) การทดลองนี้โดยใช้วิธีจาร์เตสต์กำจัดตัวแปรต่างๆ ได้แก่ ความชุน SS COD และ TKN (Total Kjeldahl Nitrogen) และศึกษาความสัมพันธ์ระหว่างตัวแปรที่ประสิทธิภาพสูงสุดคือปริมาณ FeCl<sub>3</sub> ที่ใช้ต่อหน่วยความเข้มข้นเริ่มต้น ผลการศึกษาพบว่า FeCl<sub>3</sub> ที่ใช้สามารถกำจัดความชุนร้อยละ 16 – 90 กำจัด SS ร้อยละ 87 – 96 กำจัด COD ร้อยละ 72 -88 และกำจัด TKN ร้อยละ 76 – 87 ตามลำดับและปริมาณการใช้ FeCl<sub>3</sub> ลดลงเมื่อ Dilution Factor ของการเจือจางน้ำเสียเพิ่มขึ้น

## การทดลองที่ 2 การศึกษาขั้นตอนการผลิตถ่านกัมมันต์จากเมล็ดลินจิ้ง

- ศึกษาการหาค่าเลขไอโอดีนของถ่านกัมมันต์จากเมล็ดลินจิ้งที่ผ่านกระบวนการเผาเป็นถ่าน (Carbonization) ณ สภาพต่างๆ ด้วยสารละลายมาตรฐานโซเดียมไฮโซเดท การหาค่าเลขไอโอดีนของถ่านกัมมันต์ที่ผ่านกระบวนการเผาเป็นถ่านจากเมล็ดลินจิ้งที่อุณหภูมิและเวลาต่างๆ ดังนี้ อุณหภูมิ 600 700 800 และ 900 °C เป็นเวลา 5 10 15 30 45 และ 60 นาที (ดังตาราง 10)

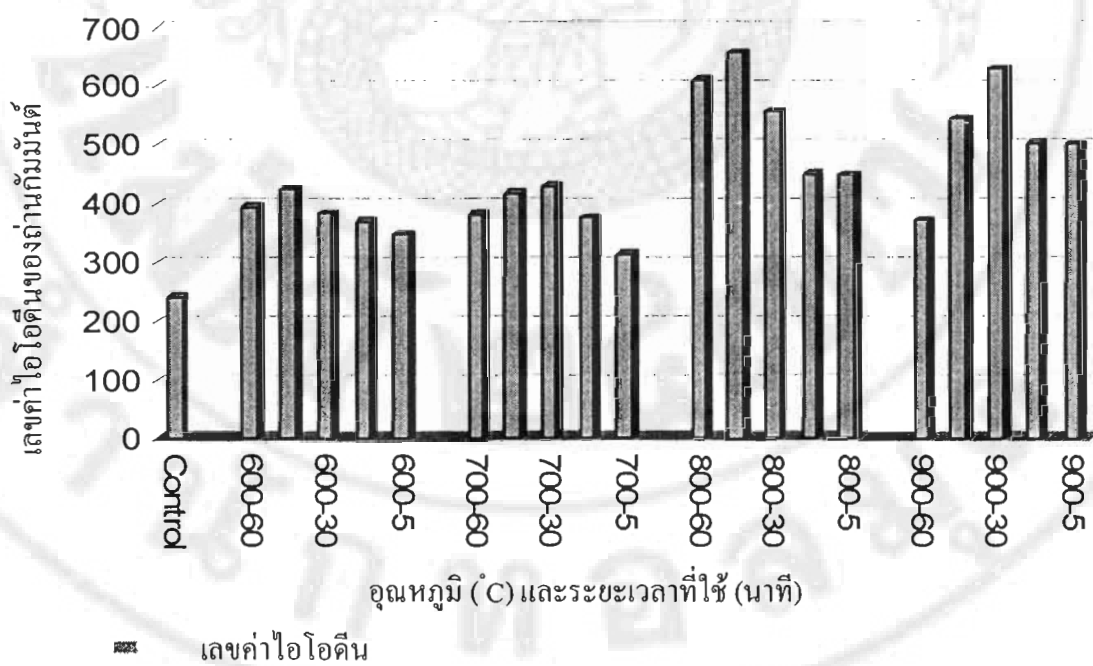
**ตาราง 10 ผลการไตรเตอร์สารละลายไอโอดีนที่ผ่านกระบวนการเผาเป็นถ่านของถ่านจากเมล็ดลินจิ้งที่สภาพต่างๆ**

อุณหภูมิและเวลาที่ใช้ (องศาเซลเซียส-นาที)	เลขค่า ไอโอดีน	ร้อยละของการ กำจัดไอโอดีน
Control	241.02	17.38
600-60	394.82	71.59
600-45	425.08	69.85
600-30	384.13	68.61
600-15	370.09	68.05
600-5	347.74	67.43
700-60	381.60	68.44
700-45	417.92	69.66
700-30	429.85	70.01
700-15	375.23	68.26
700-5	314.52	66.30
800-60	611.29	75.73
800-45	656.46	77.17
800-30	555.91	73.90
800-15	449.68	72.85
800-5	447.17	70.53
900-60	371.96	68.13

ตาราง 10 (ต่อ)

อุณหภูมิและเวลาที่ใช้ (องศาเซลเซียส-นาที)	เลขค่า ไอโอดีน	ร้อยละของการ กำจัดไอโอดีน
900-45	545.67	73.68
900-30	630.00	76.30
900-15	503.17	72.24
900-5	500.52	72.24

หมายเหตุ Control หมายถึง ถ่านที่ผ่านกระบวนการเผาที่อุณหภูมิ 120 °C เป็นเวลา 10 นาที



ภาพ 18 แสดงผลการไตรเตอร์ทารัลลายไอโอดีนที่ผ่านกระบวนการเผาเป็นถ่านจากเมล็ดลิน杰ที่ อุณหภูมิ 600 700 800 และ 900 °C เป็นเวลา 5 10 15 30 45 และ 60 นาที

จากตาราง 10 พบร่วมกระบวนการเผาเป็นถ่านของเมล็ดลิน杰ที่อุณหภูมิ 800 °C เวลา 45 นาทีได้ค่าเลขไอโอดีนและร้อยละของการกำจัดไอโอดีนสูงสุดเท่ากับ 656.46 และ 77.17 ตามลำดับ จะเห็นได้ว่าแนวโน้มของกระบวนการเผาเป็นถ่านจากเมล็ดลิน杰ที่อุณหภูมิที่สูงขึ้นร้อย

ละของการกำจัดไออกอีนจะมีอัตราที่สูงขึ้น (ภาพ 18) เนื่องจากการเผาเป็นถ่านที่อุณหภูมิสูงจะทำให้พื้นที่ผิวของรูพรุน (pore) ของถ่านเพิ่มมากขึ้น ดังจะเห็นได้ชัดจากภาพถ่ายด้วยกล้องจุลทรรศน์ อิเล็กตรอนแบบส่อง粒化 (ภาพ 21) การเพิ่มขึ้นของพื้นที่ผิวพรุนถือเป็นการเพิ่มพื้นที่ในการดูดซับไออกอีนทำให้ร้อยละของการกำจัดไออกอีนจึงเพิ่มตามา จากนั้นทำการเลือกช่วงของกระบวนการเผาเป็นถ่านที่  $800^{\circ}\text{C}$  เวลา 45 นาทีเข้าสู่กระบวนการกระตุนทางเคมี

2. ศึกษาการหาค่าเลขไออกอีนของถ่านกัมมันต์จากเมล็ดลินจี้ที่ผ่านกระบวนการกระตุนทางเคมี (Chemical Activation) ณ สภาวะต่างๆ ด้วยสารละลายน้ำตรฐานโซเดียมไออกซัลเพต

การหาค่าเลขไออกอีนของถ่านกัมมันต์ที่ผ่านกระบวนการกระตุนทางเคมี จากเมล็ดลินจี้ที่อุณหภูมิและเวลาต่างๆ ดังนี้ อุณหภูมิ  $600\text{--}700\text{--}800\text{--}900^{\circ}\text{C}$  เป็นเวลา  $5\text{--}10\text{--}15\text{--}30\text{--}45$  และ 60 นาที (ดังตาราง 11)

ตาราง 11 ผลการไตรเตอร์สารละลายน้ำไออกอีนที่ผ่านกระบวนการกระตุนทางเคมีของถ่านจากเมล็ดลินจี้ที่สภาวะต่างๆ

อุณหภูมิและเวลาที่ใช้ (องศาเซลเซียส-นาที)	เลขค่า ไออกอีน	ร้อยละของการ กำจัดไออกอีน
Control	656.46	77.17
600-60	662.70	77.26
600-45	664.09	77.30
600-30	668.24	77.43
600-15	664.09	77.30
600-5	651.08	77.81
700-60	649.15	76.83
700-45	623.14	76.01

ตาราง 11 (ต่อ)

อุณหภูมิและเวลาที่ใช้ (องศาเซลเซียส-นาที)	เลขค่า	ร้อยละของการ กำจัดไอโอดีน
700-30	657.17	77.08
700-15	641.95	76.60
700-5	651.36	76.90
800-60	355.61	67.57
800-45	460.74	70.88
800-30	511.92	72.50
800-15	449.68	70.53
800-5	364.19	67.84
900-60	567.26	74.24
900-45	588.01	74.90
900-30	738.78	79.66
900-15	543.74	73.50
900-5	506.39	72.32

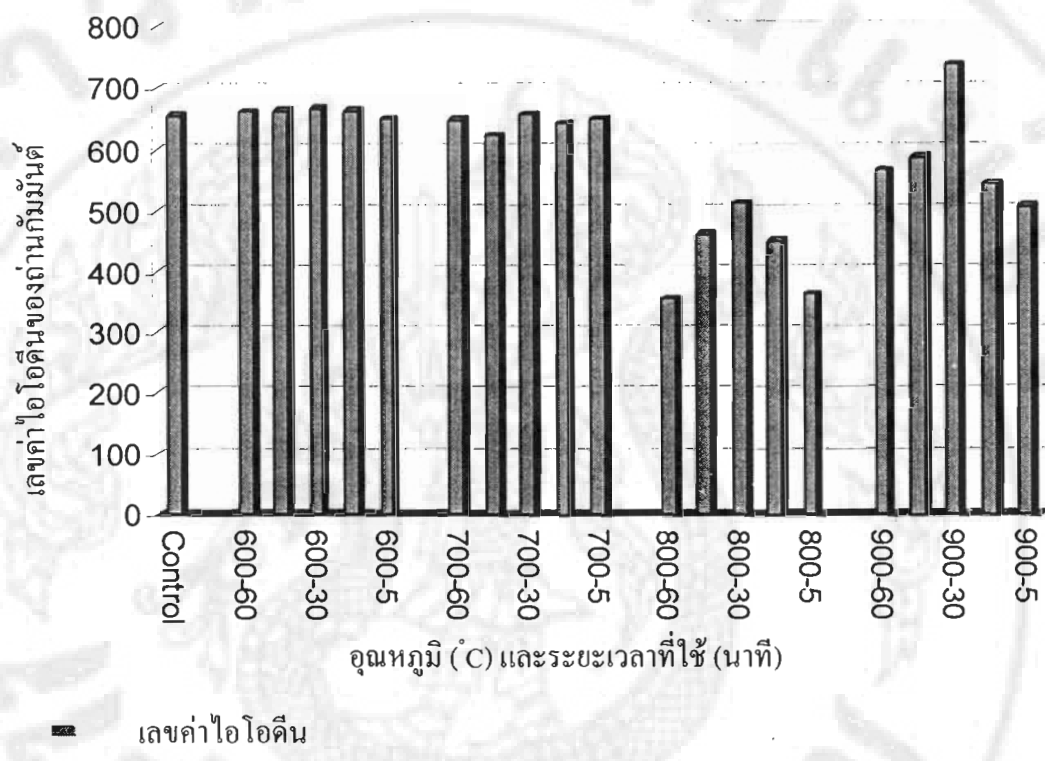
หมายเหตุ

Control หมายถึง ที่ผ่านกระบวนการเผาเป็นถ่านจากเมล็ดลินจีที่อุณหภูมิ 800 °C เวลา 45 นาที

จากตาราง 11 พบว่ากระบวนการกระตุ้นทางเคมีที่อุณหภูมิ 900 °C เวลา 30 นาทีได้ค่าไอโอดีนสูงสุดเท่ากับ 738.78 มีร้อยละของการกำจัดไอโอดีน 79.66 ซึ่งมีแนวโน้มของกระบวนการกระตุ้นทางเคมีของถ่านจากเมล็ดลินจีที่อุณหภูมิที่สูงขึ้นร้อยละของการกำจัดไอโอดีนจะมีอัตราที่สูงขึ้น (ภาพ 19)

ผลิตถ่านกัมมันต์ช่วงของกระบวนการเผาเป็นถ่านที่ดีที่สุดในการผลิตถ่านจากเมล็ดลินจีอยู่ที่อุณหภูมิ 800 °C เวลา 45 นาที ค่าเลขไอโอดีนสูงสุดเท่ากับ 656.46 และช่วงของ

กระบวนการกระตุ้นทางเคมีอยู่ที่อุณหภูมิ  $900^{\circ}\text{C}$  เวลา 30 นาที ได้ค่าไอโอดีนสูงสุดเท่ากับ 738.78 มีร้อยละของการกำจัดไอโอดีน 77.17 และ 79.66 ตามลำดับ

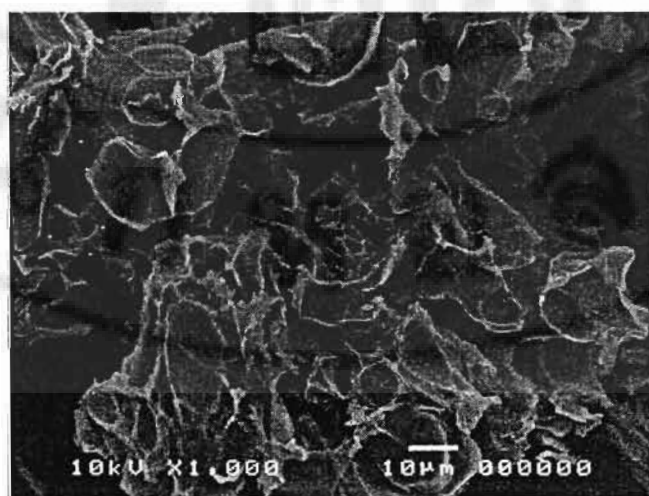


เลขค่าไอโอดีน

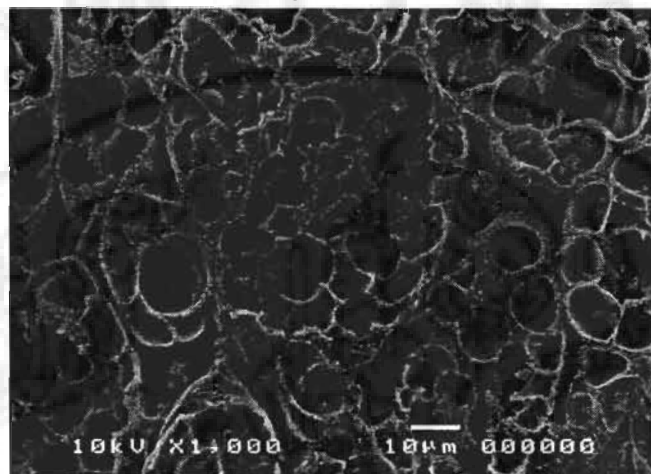
ภาพ 19 แสดงผลการไตรเตอร์ทสารละลายน้ำที่ผ่านกระบวนการกระตุ้นทางเคมีจากเมล็ดลินจิ่วที่อุณหภูมิ  $600$   $700$   $800$  และ  $900^{\circ}\text{C}$  เป็นเวลา  $5$   $10$   $15$   $30$   $45$  และ  $60$  นาที

จากภาพ 18,19 พบว่าแนวโน้มการเพิ่มขึ้นของเลขค่าไอโอดีนส่วนใหญ่จะเพิ่มขึ้นตามเวลาที่ใช้ในการก่อฟันมันต์ แต่มีบางช่วงเวลาที่ได้ทำการก่อฟันมันต์สูงขึ้นกลับให้เลขค่าไอโอดีนลดลง ดังนั้นการเพิ่มระยะเวลาและอุณหภูมิไม่เป็นผลดีต่อการดูดซับของถ่านกัมมันต์อย่างไรก็ตามจากการพิจารณาภาพถ่าย (ภาพ 21,22) จะเห็นลักษณะที่เปลี่ยนแปลงไปของรูพรุนที่เกิดขึ้นในสภาวะแตกต่างกัน นั่นคือภาพ 21 แสดงถึงถ่านจากเมล็ดลินจิ่วที่ผ่านกระบวนการเผาที่อุณหภูมิ  $120^{\circ}\text{C}$  เวลา 10 นาที จะเห็นได้ว่าลักษณะของรูพรุนมีน้อยเมื่อเทียบกับถ่านจากเมล็ดลินจิ่วที่เข้าสู่กระบวนการเผาเป็นถ่านที่  $800^{\circ}\text{C}$  เวลา 45 นาที (ภาพ 22) และถ่านจากเมล็ดลินจิ่วที่ผ่านกระบวนการกระตุ้นทางเคมีที่อุณหภูมิ  $900^{\circ}\text{C}$  เวลา 30 นาที (ภาคผนวกภาพ 8) ซึ่งมีลักษณะของรูพรุนที่มากกว่า ยิ่งไปกว่านั้นเมื่อเทียบถ่านกัมมันต์ที่ผลิตจากเมล็ดลินจิ่ว (ภาคผนวกภาพ 8) กับถ่านกัมมันต์ที่มีขายตามห้องตลาด (ภาพ 20) พบว่ามีลักษณะของรูพรุนขนาดเล็กจำนวนมากกว่า ซึ่ง

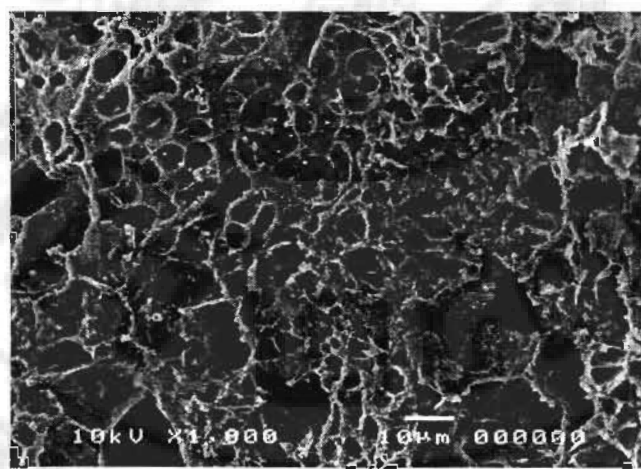
กล่าวได้ว่าเมื่อการเผาและกระตุ้น มีการเพิ่มอุณหภูมิและเวลาในกระบวนการจะทำให้รูพรุนเกิดการบุบตัวและเมื่อนำไปทดสอบการคุณภาพโดยสารละลายน้ำ ไอโอดีนจึงได้ค่าความสามารถในการดูดซับลดลงตามไปด้วย สอดคล้องกับงานวิจัยของสุทธิสิงค์และคณะ, 2535 ที่กล่าวว่าสารเคมีซึ่งเป็นสารคุณน้ำซึ่งช่วยเสริมกระบวนการเผาสารคาร์บอนโดยไม่ให้เกิดน้ำมันฟาร์และของเหลวอื่นๆ ช่วยทำให้ได้ผลผลิตเพิ่มขึ้น อย่างไรก็ได้ กลไกของการกระตุ้นทางเคมียังไม่เป็นที่ทราบแน่นอน นอกจากว่าสารเคมีนั้นช่วยในการย่อหดสภาพเซลล์โลสและ เมื่อได้รับความร้อนจากการเผาเกิดปฏิกิริยาการขัดน้ำ ก่อให้เกิดรูพรุนขึ้นในถ่าน นอกจากนี้ได้ทดลองทำการปรับสภาพด้วยกรดก่อนการเผาและการกระตุ้น ซึ่งทำให้ได้สภาวะของการปรับสภาพด้วยกรด การเผาและการกระตุ้น ในการผลิตถ่านกัมมันต์คุณภาพสูงนอกจากนี้พบการใช้ KOH ในอัตราส่วนที่เหมาะสมสำหรับวิธีการกระตุ้นทางเคมีทำให้ได้ถ่านกัมมันต์คุณภาพสูงด้วย (Srikumlaithong *et al.*, 1994) และ มีการผลิตตัวคุณภาพจากซังข้าวโพดซึ่งเป็นวัสดุเหลือใช้การเกษตร โดยวิธีการกระตุ้นร่วมกันระหว่างการกระตุ้นด้วยวิธีทางเคมีและวิธีทางกายภาพ ในงานทดลองนี้จะใช้อุณหภูมิช่วง 500–800 °C ใน การกระตุ้นทางเคมีสารเคมีที่ใช้ในการกระตุ้น มี 2 ชนิด คือ KOH และ K<sub>2</sub>CO<sub>3</sub> เป็นสารที่มีคุณสมบัติทำให้เกิดมลพิษน้อย และการกระตุ้นด้วยวิธีทางกายภาพ โดยจะเกิดปฏิกิริยาผลของผลิตภัณฑ์สารเคมีด้วยการทดสอบลักษณะทางกายภาพได้จากการหาพื้นที่ผิว BET ปริมาตรรูพรุนทั้งหมดและความหนาแน่นที่แท้จริง เพิ่มขึ้น พบว่าถ่านกัมมันต์ที่เตรียมไว้จากซังข้าวโพดสามารถนำมาใช้ในกระบวนการทำความสะอาดได้ซึ่งยังเป็นการนำของเสียกลับมาใช้ประโยชน์และนำทรัพยากรทางชีวภาพกลับมาใช้ใหม่ (Tsai *et al.*, 2001) ดังนั้นตัวคุณภาพที่ได้จากการทดลองนี้มีความเป็นไปได้สำหรับการนำมาควบคุมมลพิษและนำไปประยุกต์ใช้ในด้านอื่น ๆ



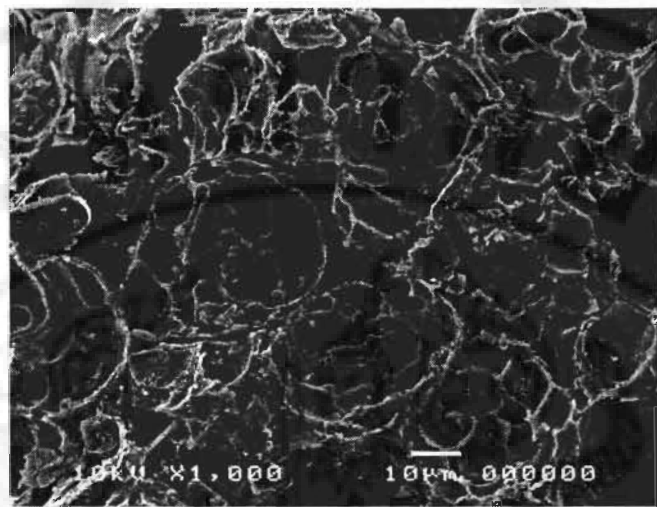
ภาพ 20 ภาพจากกล้องจุลทรรศน์อิเล็กตรอนแบบส่องกราดของถ่านจากเมล็ดลินจิ้งที่ผ่านกระบวนการเผาเป็นถ่านที่อุณหภูมิ  $120^{\circ}\text{C}$  เวลา 10 นาที



ภาพ 21 ภาพจากกล้องจุลทรรศน์อิเล็กตรอนแบบส่องกราดของถ่านจากเมล็ดลินจิ้งที่ผ่านกระบวนการเผาเป็นถ่านที่อุณหภูมิ  $800^{\circ}\text{C}$  เวลา 45 นาที



ภาพ 22 ภาพจากกล้องจุลทรรศน์อิเล็กตรอนแบบส่องกราดของถ่านจากเมล็ดลินจิ้งที่ผ่านกระบวนการกระตุ้นทางเคมี (Chemical Activation) การเผาที่อุณหภูมิ  $900^{\circ}\text{C}$  เวลา 30 นาที



ภาพ 23 ภาพจากกล้องจุลทรรศน์อิเล็กตรอนแบบส่อง粒光ของถ่านกัมมันต์ที่มีข่ายตามท้องตลาด

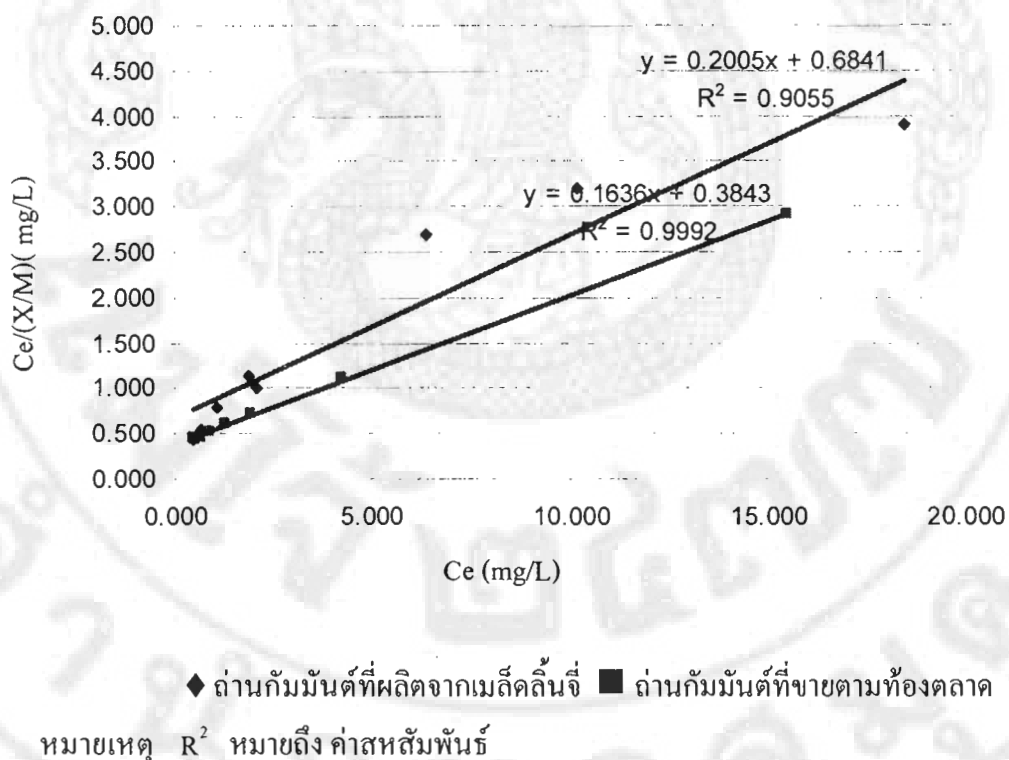
**การทดลองที่ 3 ศึกษาและเปรียบเทียบประสิทธิภาพในการกำจัด COD ของถ่านกัมมันต์**

1. ศึกษาประสิทธิภาพในการกำจัด COD นำเสียที่ผ่านกระบวนการตกรตะกอนด้วยสารเคมีก่อนเข้าสู่กระบวนการคุณซับด้วยถ่านกัมมันต์ที่ผลิตจากเมล็ดลินจิ้งหริ่งกับถ่านกัมมันต์ที่มีข่ายตามท้องตลาดที่ความเข้มข้น COD เริ่มต้น 42.15 mg/L โดยศึกษาทดลองกระบวนการคุณติดผิวแบบไม่ต่อเนื่องที่อุณหภูมิห้อง โดยมิใช้ถ่านกัมมันต์ปริมาณ 500 1,000 1,500 2,000 2,500 3,000 3,500 และ 4,000 mg ทดสอบที่ pH 3, 5, 7 และ 9 ตามลำดับ เบื้องต้นความเร็ว 210 rpm ที่อุณหภูมิห้องเป็นเวลา 24 ชั่วโมง กรองด้วยกระดาษกรองเบอร์ 1 และหาร้อยละของการกำจัด COD ที่เหลืออยู่ ผลการทดลอง มีดังนี้

**ตาราง 12 ผลการกำจัด COD นำเสียที่ผ่านกระบวนการตกรตะกอนและผ่านการคุณซับด้วยถ่านกัมมันต์ที่ผลิตจากเมล็ดลินจิ้งและถ่านกัมมันต์ที่ข่ายตามท้องตลาดทดสอบที่ pH 3**

M (1*, 2*) (mg)	V (ml)	COD (Co) (mg/L)	Average COD (Ce) 1*	Average COD (Ce) 2*	X (mg)	X (mg)	%X (mg) 1*	%X (mg) 2*	X/M (g/L) 1*	X/M (g/L) 2*
0	100	42.15	42.15	42.15	0.00	0.00	0.00	0.00	0.00	0.00
500	100	42.15	18.47	15.49	23.68	26.66	56.18	63.25	3.90	2.91
1000	100	42.15	10.23	4.26	31.92	37.89	75.73	89.89	3.20	1.12
1500	100	42.15	6.42	1.92	35.73	40.23	84.77	95.44	2.70	0.71
2000	100	42.15	2.04	1.24	40.11	40.91	95.16	97.06	1.02	0.61
2500	100	42.15	1.84	0.85	40.31	41.30	95.63	97.98	1.14	0.52
3000	100	42.15	1.07	0.65	41.08	41.50	97.46	98.46	0.78	0.47
3500	100	42.15	0.64	0.52	41.51	41.63	98.48	98.77	0.54	0.44
4000	100	42.15	0.46	0.47	41.69	41.68	98.91	98.88	0.44	0.45

หมายเหตุ      M หมายถึง มวลของถ่านกัมมันต์ (mg)  
                   V หมายถึง ปริมาตรของน้ำเสีย (ml)  
                   Co หมายถึง ค่า COD เริ่มต้น (mg/L)  
                   Ce หมายถึง ค่า COD ที่เหลืออยู่ที่สภาวะสมดุล (mg/L)  
                 เมื่อ         $Ce = X/M$         (mg/L)  
                   X หมายถึง ปริมาณ COD ที่ถูกดูดซับ (mg)  
                 เมื่อ         $X = (Co-Ce)*V$  (mg)  
                 1\*=ถ่านกัมมันต์ที่ผลิตจากเม็ดลินจี  
                 2\*=ถ่านกัมมันต์ที่ขายตามห้องตลาด



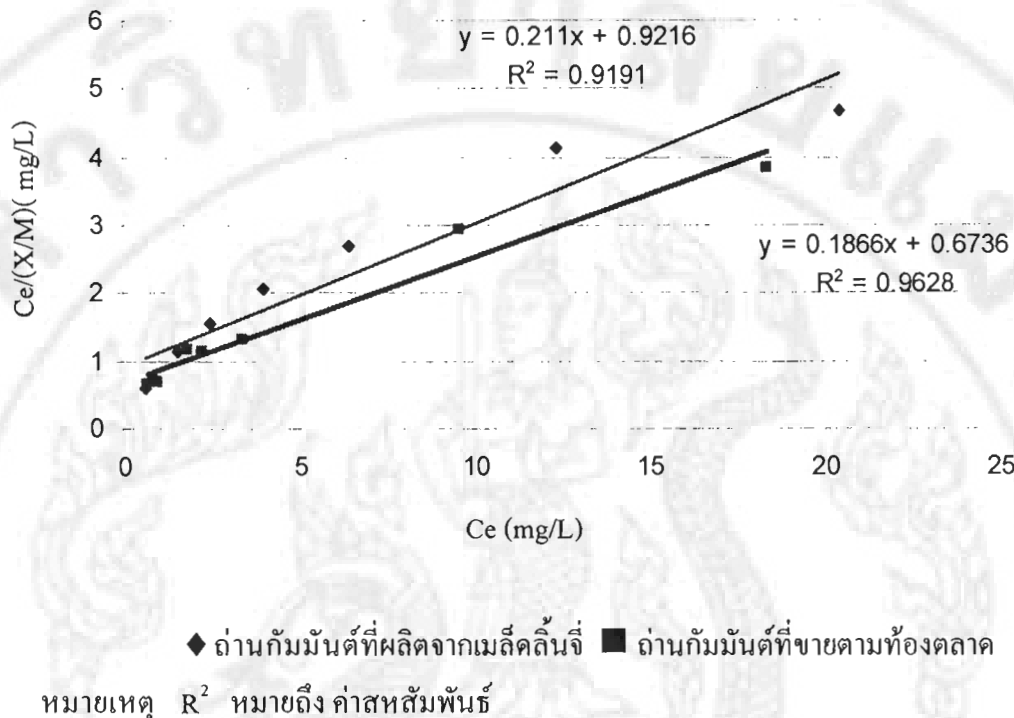
ภาพ 24 แสดงประสิทธิภาพในการกำจัด COD น้ำเสียที่ผ่านกระบวนการตกรอกอน ด้วยการดูดซับด้วยถ่านกัมมันต์ที่ผลิตจากเม็ดลินจีเทียบกับถ่านกัมมันต์ที่ขายตามห้องตลาดที่ pH 3

จากตาราง 12 จะเห็นได้ว่าประสิทธิภาพร้อยละในการกำจัด COD ด้วยการคุณชั้บด้วยถ่านกัมมันต์ที่ผลิตจากเมล็ดลินินจีเทียบกับถ่านกัมมันต์ที่ขยตามห้องตลาดที่ pH 3 นั้นพบว่าประสิทธิภาพมีค่าไอลดีเคียงกัน (%X) โดยที่ประสิทธิภาพของถ่านกัมมันต์ที่ขยตามห้องตลาด มีประสิทธิภาพที่ดีกว่าถ่านกัมมันต์ที่ผลิตจากเมล็ดลินินจีเล็กน้อย อีกทั้งจะเห็นได้ว่าปริมาณถ่านกัมมันต์ที่ผลิตจากเมล็ดลินินจีและที่มีขยตามห้องตลาด 1,000 mg/L จะให้ร้อยละการคุณชั้บค่า COD ที่เพิ่มขึ้นอย่างเห็นได้ชัด คือร้อยละ 75.7 และ 89.9 ตามลำดับ เมื่อเทียบกับร้อยละการคุณชั้บที่ปริมาณถ่านกัมมันต์ 500 mg/L คือร้อยละ 56.2 และ 63.2 ตามลำดับ แต่หากเพิ่มปริมาณถ่านกัมมันต์มากกว่า 1,000 mg/L ร้อยละการคุณชั้บค่า COD จะมีค่าไม่เพิ่มขึ้นมากนักคืออยู่ระหว่างร้อยละ 80-98 ของถ่านกัมมันต์ทั้งสองชนิด

ภาพ 24 แสดงให้เห็นถึงแนวโน้มของสารที่ถูกคุณชั้บต่อน้ำหนักถ่านกัมมันต์ (X/M) กับความเข้มข้นของ COD ที่เหลืออยู่ (Ce) เป็นความสัมพันธ์แบบเส้นตรงที่เกิดจากการลากผ่านจุดที่ได้จากการทดลอง ดังจะเห็นได้จากค่าสหสัมพันธ์ที่มีค่าไอลดีเคียง 1 นั้นหมายความว่า ข้อมูลที่ได้จากการศึกษามีการเกากลุ่มของข้อมูลและเป็นการแสดงให้เห็นว่าข้อมูลนี้สามารถพิจารณาด้วยการใช้ Langmuir Equation ในการพิจารณา Adsorption Isotherm ความสามารถของถ่านกัมมันต์ทั้งสองชนิดในการคุณชั้บ COD มีค่าไอลดีเคียงกัน นั่นแสดงว่าถ่านกัมมันต์ที่ผลิตจากเมล็ดลินินจีด้วยกระบวนการผลิตจากการทดลองที่ 2 มีประสิทธิภาพในการคุณชั้บที่เทียบกับถ่านกัมมันต์ที่ขยตามห้องตลาดที่สภาวะ pH 3

ตาราง 13 ผลการกำจัด COD นำเสียที่ผ่านกระบวนการตกรตะกอนและผ่านการคุ้ดซับด้วย  
ถ่านกัมมันต์ที่ผลิตจากเม็ดลินเจ'และถ่านกัมมันต์ที่ขายตามท้องตลาดทดสอบที่ pH 5

M (1*, 2*) (mg)	V (ml)	COD (Co) (mg/L)	Average	Average	X (mg)	X (mg)	%X (mg)	%X (mg)	X/M (g/L)	X/M (g/L)
			COD (Ce) (mg/L)	COD (Ce) (mg/L)						
			1*	2*						
0	100	42.15	42.15	42.15	0.00	0.00	0.00	0.00	0.00	0.00
500	100	42.15	20.36	18.32	2.18	2.38	51.7	56.5	4.67	3.84
1000	100	42.15	12.35	9.54	2.98	3.26	70.7	77.4	4.14	2.93
1500	100	42.15	6.42	3.39	3.57	3.88	84.8	92.0	2.70	1.31
2000	100	42.15	3.96	2.27	3.82	3.99	90.6	9446	2.07	1.14
2500	100	42.15	2.50	1.86	3.97	4.03	94.1	95.6	1.57	1.16
3000	100	42.15	1.56	0.96	4.06	4.12	96.3	97.7	1.15	0.70
3500	100	42.15	0.86	0.86	4.13	4.13	98.0	98.0	0.73	0.73
4000	100	42.15	0.62	0.67	4.15	4.15	98.5	98.4	0.60	0.65



ภาพ 25 แสดงประสิทธิภาพในการกำจัด COD นำเสียที่ผ่านกระบวนการตกรตะกอน ด้วยการคูดซับด้วยถ่านกัมมันต์ที่ผลิตจากเมล็ดลิ้นจี่เทียบกับถ่านกัมมันต์ที่ขยายน้ำท้องตลาดที่ pH 5

จากการ 13 จะเห็นได้ว่าประสิทธิภาพร้อยละในการกำจัด COD ด้วยการคูดซับด้วยถ่านกัมมันต์ที่ผลิตจากเมล็ดลิ้นจี่เทียบกับถ่านกัมมันต์ที่ขยายน้ำท้องตลาดที่ pH 5 ผลของประสิทธิภาพเปรียบเทียบระหว่างถ่านกัมมันต์ทั้งสองชนิดมีค่าใกล้เคียงกันและร้อยละการคูดซับค่า COD ต่ำสุดถ่านกัมมันต์ที่ใช้ในการคูดซับอัตราส่วนเดียวกับการทดลองที่ pH 3 (ตาราง 12) และหากเพิ่มปริมาณถ่านกัมมันต์มากกว่า 3,500 mg/L ร้อยละการคูดซับค่า COD ของถ่านกัมมันต์ทั้งสองชนิดมีค่าเกือบเท่ากัน คือ ประสิทธิภาพเกินกว่าร้อยละ 80-98

ภาพ 25 แสดงให้เห็นถึงแนวโน้มของสารที่ถูกคูดซับต่อน้ำหนักถ่านกัมมันต์ ( $X/M$ ) กับความเข้มข้นของ COD ที่เหลืออยู่ ( $Ce$ ) เช่นเดียวกับการทดลองที่ pH 3 (ภาพ 24) พบว่า ความสามารถของถ่านกัมมันต์ทั้งสองชนิดในการคูดซับ COD มีค่าใกล้เคียงกัน นั้นแสดงว่าถ่านกัมมันต์ที่ผลิตจากเมล็ดลิ้นจี่ด้วยกระบวนการผลิตจากการทดลองที่ 2 มีประสิทธิภาพในการคูดซับ

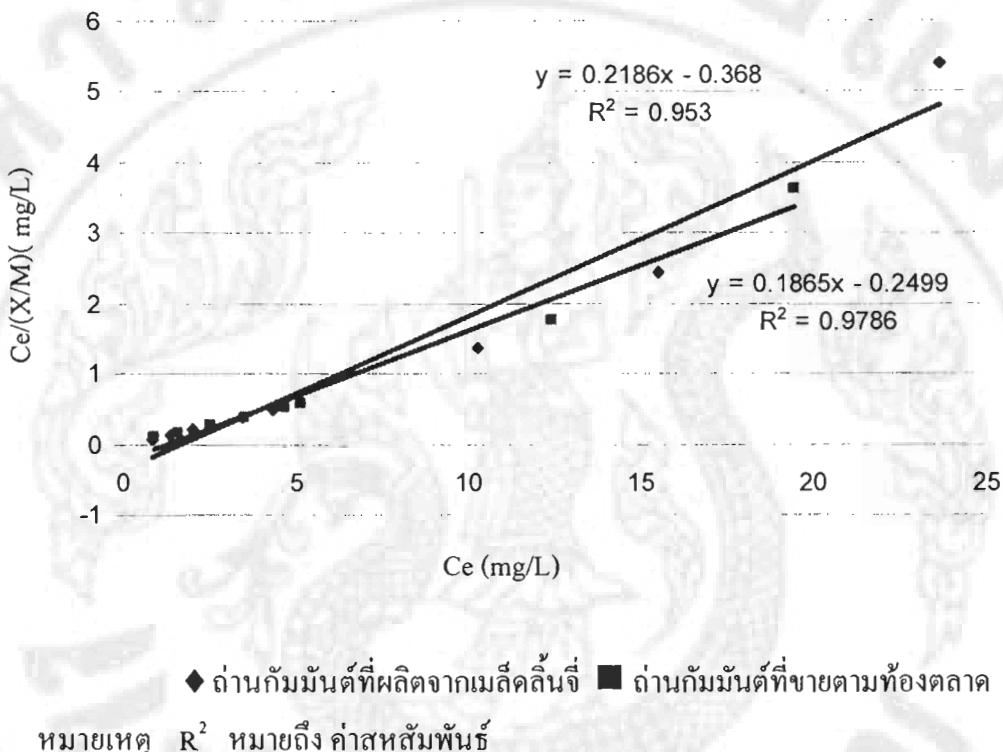
เทียบใกล้กับถ่านกัมมันต์ที่ขยายน้ำท้องตลาดที่สภาวะ pH 5 และหากพิจารณาถึงอัตราส่วนการคุณชั้บ พนว่าที่ pH 5 มีอัตราส่วนการคุณชั้บมากกว่า pH 3 เล็กน้อย

**ตาราง 14 ผลการกำจัด COD นำเสียที่ผ่านกระบวนการตัดตะกอนและผ่านการคุณชั้บด้วยถ่านกัมมันต์ที่ผลิตจากเม็ดคลินิจ และถ่านกัมมันต์ที่ขยายน้ำท้องตลาดทดสอบที่ pH 7**

M (1*, 2*) (mg)	V (ml)	COD (Co) (mg/L)	Average COD (Ce) (mg/L)	Average COD (Ce) (mg/L)	X (mg)	X (mg)	%X (mg)	%X (mg)	X/M (g/L)	X/M (g/L)
0	100	42.15	42.15	61.43	0.00	0.00	0.00	0.00	0.00	0.00
500	100	42.15	23.66	55.27	1.85	2.27	43.9	53.7	5.40	3.62
1000	100	42.15	15.54	52.56	2.66	2.97	63.1	70.5	2.44	1.76
1500	100	42.15	10.27	50.81	3.19	3.70	75.6	87.8	1.36	0.59
2000	100	42.15	4.34	48.83	3.78	3.74	89.7	88.8	0.48	0.52
2500	100	42.15	3.52	48.56	3.86	3.86	91.7	91.6	0.39	0.39
3000	100	42.15	2.01	48.05	4.01	3.96	95.2	93.9	0.21	0.27
3500	100	42.15	1.37	47.84	4.08	4.05	96.8	96.1	0.14	0.17
4000	100	42.15	0.85	47.67	4.13	4.12	98.0	97.8	0.08	0.09

จากตาราง 14 จะเห็นได้ว่าประสิทธิภาพร้อยละในการกำจัด COD ด้วยการคุณชั้บด้วยถ่านกัมมันต์ที่ผลิตจากเม็ดคลินิจเทียบกับถ่านกัมมันต์ที่ขยายน้ำท้องตลาดที่ pH 7 ของประสิทธิภาพเปรียบเทียบระหว่างถ่านกัมมันต์ทั้งสองชนิดมีค่าลดลงเมื่อเทียบกับร้อยละการคุณชั้บค่า COD ต่ำปริมาณถ่านกัมมันต์ที่ใช้ในการคุณชั้บอัตราส่วนเดียวกับการทดลองที่ pH 3 และ pH 5 (ตาราง 12,13) การเพิ่มปริมาณถ่านกัมมันต์มากกว่า 1,000 mg/L ร้อยละการคุณชั้บค่า COD ของถ่านกัมมันต์ทั้งสองชนิดมีค่าเกือบท่ากัน คือ ประสิทธิภาพเกินกว่าร้อยละ 80-98 แต่ค่าร้อยละการคุณชั้บของปริมาณถ่านกัมมันต์เดียวกันที่ pH 7 มีค่าน้อยกว่าที่ pH 3 และ 5 ทั้งนี้อาจเป็นเพราะค่าความเป็นกรดของตัวอย่างน้ำมีผลต่อความสามารถในการคุณชั้บของถ่านกัมมันต์เนื่องจากค่า pH มี

ผลต่อการแตกตัวเป็น ไอออนและการละลายนของสารต่าง ๆ ในน้ำ (มันสิน, 2538) ดังนั้นจะเห็นได้ว่า ถ่านกัมมันต์ทั้งสองชนิดมีความสามารถในการคุณซับได้ดีที่ pH ต่ำกว่า 7



ภาพ 26 แสดงประสิทธิภาพในการกำจัด COD น้ำเสียที่ผ่านกระบวนการตกตะกอน ด้วยการคุณซับด้วยถ่านกัมมันต์ที่ผลิตจากเมล็ดลินจิ้งเทียบกับถ่านกัมมันต์ที่ขายตามท้องตลาดที่ pH 7

จากภาพ 26 พบร่วมแนวโน้มของสารที่ถูกคุณซับต่อน้ำหนักถ่านกัมมันต์ (X/M) กับความเข้มข้นของ COD ที่เหลืออยู่ (Ce) ของถ่านกัมมันต์ที่ผลิตจากเมล็ดลินจิ้งมีความสามารถในการคุณซับเริ่มต้นเทียบเท่าถ่านกัมมันต์ที่ขายตามท้องตลาด ถ่านกัมมันต์ที่ผลิตจากเมล็ดลินจิ้งมีอัตราการคุณซับที่ดีกว่า และมีความสามารถในการคุณซับระหว่างที่ดีกว่าถ่านกัมมันต์ที่ขายตามท้องตลาด อาจกล่าวได้ว่าถ่านกัมมันต์ที่ผลิตจากเมล็ดลินจิ้งมีความสามารถในการคุณซับค่า COD ที่ pH 7 ได้ดีกว่าถ่านกัมมันต์ที่ขายตามท้องตลาด ดังจะเห็นได้จากร้อยละในตาราง 14 และแนวโน้มของกราฟ

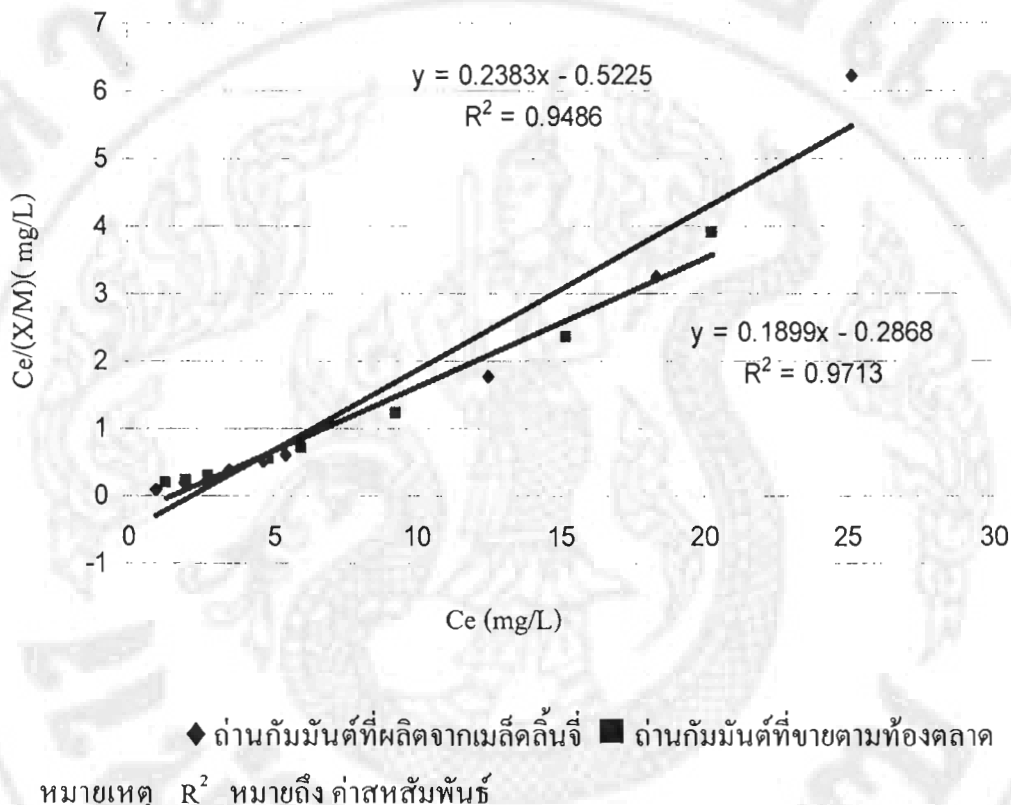
ภาพ 26

ตาราง 15 ผลการกำจัด COD นำเสียที่ผ่านกระบวนการตกรตะกอนและผ่านการดูดซับด้วยถ่านกัมมันต์ที่ผลิตจากเม็ดลินจี และถ่านกัมมันต์ที่ขยายน้ำท้องตลาดทดสอบที่ pH 9

M (1*, 2*) (mg)	V (ml)	COD (Co) (mg/L)	Average COD (Ce) (mg/L)	Average COD (Ce) (mg/L)	X (mg)	X (mg)	%X (mg)	%X (mg)	X/M (g/L)	X/M (g/L)
1*	2*	1*	2*	1*	2*	1*	2*	1*	2*	
0	100	42.15	42.15	42.15	0.00	0.00	0.00	0.00	0.00	0.00
500	100	42.15	25.14	20.29	1.70	2.19	40.3	51.9	6.24	3.90
1000	100	42.15	18.33	15.22	2.38	2.69	56.5	63.9	3.25	2.35
1500	100	42.15	12.48	9.29	2.97	3.29	70.4	78.0	1.78	1.21
2000	100	42.15	5.44	6.01	3.67	3.61	87.1	85.8	0.62	0.72
2500	100	42.15	4.65	4.91	3.75	3.72	89.0	88.4	0.52	0.56
3000	100	42.15	3.51	2.78	3.86	3.94	91.7	93.4	0.38	0.28
3500	100	42.15	1.95	2.06	4.02	4.01	95.4	95.1	0.20	0.23
4000	100	42.15	0.97	1.35	4.12	4.08	97.7	96.8	0.10	0.21

จากตาราง 15 จะเห็นได้ว่าประสิทธิภาพร้อยละในการกำจัด COD ด้วยการดูดซับด้วยถ่านกัมมันต์ที่ผลิตจากเม็ดลินจีเทียบกับถ่านกัมมันต์ที่ขยายน้ำท้องตลาดที่ pH 9 ของประสิทธิภาพเปรียบเทียบระหว่างถ่านกัมมันต์ทั้งสองชนิดมีค่าคล่องเมื่อเทียบกับร้อยละการดูดซับค่า COD ต่อปริมาณถ่านกัมมันต์ที่ใช้ในการดูดซับอัตราส่วนเดียวกับการทดลองที่ pH 3.5 และ 7 (ตาราง 12, 13 และ 14) ทั้งนี้อาจเป็นเพราะค่าความเป็นกรดของด้วยห่างน้ำมีผลต่อความสามารถในการดูดซับของถ่านกัมมันต์ เนื่องจากค่า pH มีผลต่อการแตกตัวเป็นไอออนและการละลายของสารต่างๆ ในน้ำ (มั่น สิน, 2538) ดังนั้นจะเห็นได้ว่าถ่านกัมมันต์ทั้งสองชนิดมีความสามารถในการดูดซับได้ดีที่ pH ต่ำกว่า 7 และ 9 แต่ห่างไรก็ตามหากพิจารณาเทียบร้อยละการดูดซับระหว่างถ่านกัมมันต์สองชนิด พนว่าถ่านกัมมันต์ที่ผลิตจากเม็ดลินจีมีร้อยละการดูดซับมากกว่าถ่านกัมมันต์ที่ขยายน้ำท้องตลาดที่แสดงว่าถ่านกัมมันต์ที่ขยายน้ำท้องตลาดมีประสิทธิภาพที่ดีเมื่อใช้ในสภาพที่

เป็นกรด ในขณะที่ถ่านกัมมันต์ที่ผลิตจากเมล็ดคลินจี้มีประสิทธิภาพที่ดีกว่าเมื่อใช้ในสภาพที่เป็นกลางและค้าง ซึ่งถือเป็นข้อได้เปรียบของถ่านกัมมันต์ที่ผลิตจากเมล็ดคลินจี้



ภาพ 27 แสดงประสิทธิภาพในการกำจัด COD น้ำเสียที่ผ่านกระบวนการตกรตะกอน ด้วยการดูดซับด้วยถ่านกัมมันต์ที่ผลิตจากเมล็ดคลินจี้เทียบกับถ่านกัมมันต์ที่ขายตามท้องตลาดที่ pH 9

จากการ 27 พบว่าแนวโน้มของสารที่ถูกดูดซับต่อน้ำหนักถ่านกัมมันต์ (X/M) กับความเข้มข้นของ COD ที่เหลืออยู่ (Ce) ของถ่านกัมมันต์ที่ผลิตจากเมล็ดคลินจี้มีความสามารถในการดูดซับเริ่มต้นเท่าถ่านกัมมันต์ที่ขายตามท้องตลาด ถ่านกัมมันต์ที่ผลิตจากเมล็ดคลินจี้มีอัตราการดูดซับที่ดีกว่า และมีความสามารถในการดูดซับระหว่างที่ดีกว่าถ่านกัมมันต์ที่ขายตามท้องตลาดที่สภาพเป็นค้าง (pH 9)

### การวิเคราะห์ทางเศรษฐศาสตร์

จากการทดลองที่ 1 2 และ 3 นำมาคำนวณทางเศรษฐศาสตร์ มีรายละเอียด ดังนี้  
การทดลองที่ 1 การคำนวนค่าใช้จ่ายในการกำจัดสี โดยใช้โพลีอะลูมิเนียมคลอไรด์ 2 g/L โดยพิจารณาราคาโพลีอะลูมิเนียมคลอไรด์(Commercial) เท่ากับ 20 บาท/kg

เพรำะจะนั่นราคานในการการกำจัดสี จากกระบวนการตกลงตอกตอกอนโพลีอะลูมิเนียมคลอไรด์  $0.002 \times 20 = 0.04$  บาท/kg / L

ส่วนค่าใช้จ่ายในการกำจัดสี โดยใช้สารส้ม (Commercial) 6.5 g/L โดยพิจารณา  
ราคานสารส้ม เท่ากับ 13 บาท/kg

เพรำะจะนั่นราคานในการการกำจัดสี จากกระบวนการตกลงตอกตอกอน โดยใช้สารส้ม  $0.0065 \times 13 = 0.08$  บาท/kg / L

เมื่อพิจารณาต้นทุนการนำบัดดวยสารตกลงตอกทั้ง 2 ชนิดพบว่า ต้นทุนในการ  
นำบัดโดยใช้สารส้ม 6,500 mg/L คิดเป็น 97.50 บาท/ cm<sup>3</sup> และต้นทุนในการนำบัดโดยใช้โพลี-  
อะลูมิเนียมคลอไรด์ 2,000 mg/L คิดเป็น 30 บาท/ cm<sup>3</sup> (ภาคผนวก ง.) จะเห็นได้ว่าต้นทุนการนำบัด  
โดยใช้โพลีอะลูมิเนียมคลอไรด์มีต้นทุนการนำบัดต่ำกว่าสารส้ม 67.50 บาท/ cm<sup>3</sup>

ผลการทดลองที่ 2 เมื่อพิจารณาต้นทุนการผลิตถ่านกัมมันต์จากเมล็ดลินิ่ง พบว่า  
ต้นทุนของวัตถุดินที่นำมาผลิตนั้นไม่มีค่าใช้จ่ายเนื่องจากเมล็ดลินิ่งเป็นเศษวัสดุเหลือทิ้งจากภาค  
การเกษตรและอุตสาหกรรมอาหารกระป่อง ในการพิจารณาต้นทุนค่าไฟฟ้าที่ใช้ในกระบวนการเผา  
เป็นถ่านและกระบวนการกระตุนทางเคมีโดยมีอัตราค่าใช้ไฟฟ้า 5.17572 บาท/ชั่วโมง และสารเคมี  
12.5 บาท/kg (ภาคผนวก ง.) ส่วนการพิจารณาต้นทุนในกระบวนการเผาถ่านในตู้เผาค่าไฟฟ้าที่ใช้  
5.18 บาท / kg ระยะเวลาการเผา 60 นาที (ภาคผนวก ง.) ดังนั้นการผลิตถ่านกัมมันต์มีต้นทุนการ  
ผลิตทั้งหมด 17.68 บาท/kg

## บทที่ 5

### สรุปและข้อเสนอแนะ

สรุปผลการวิจัย

การศึกษาประสิทธิภาพการกำจัดสีจากน้ำเสียโรงงานผลิตกระดาษสาด้านลุ่มน้ำ เป้าหมายสันกำแพง จังหวัดเชียงใหม่ ด้วยกระบวนการตกรตะกอนและการคุณชับด้วยถ่านกัมมันต์ โดยแบ่งออกเป็น 3 การทดลอง คือ 1) เพื่อศึกษาชนิดและปริมาณสารตกรตะกอนที่เหมาะสม ในการกำจัดสีจากน้ำเสีย โดยศึกษาสารตกรตะกอน 2 ชนิด คือ สารส้ม และโพลีอุบมิเนียมคลอไรด์ 2) ศึกษาขั้นตอนการผลิตถ่านกัมมันต์จากเมล็ดลินินี้ และ 3) ศึกษาและเปรียบเทียบประสิทธิภาพในการกำจัด COD ของถ่านกัมมันต์ 2 ชนิด คือ ถ่านกัมมันต์ที่ผลิตจากเมล็ดลินินี้ และถ่านกัมมันต์ที่มีขายตามห้องตลาด ผลการวิจัยพบว่า ในการศึกษาชนิดและปริมาณสารตกรตะกอนที่เหมาะสมในกำจัดสีเบื้องต้นจากน้ำเสียโรงงานผลิตกระดาษสา คือ สารส้มและโพลีอุบมิเนียมคลอไรด์ พนบว่า ปริมาณสารส้มที่เหมาะสมในการตกรตะกอน (Optimum Dose) 6,500 mg/L และค่า pH ที่เหมาะสมในการตกรตะกอน (Optimum pH) 5.5 ซึ่งมีค่า pH หลังการตกรตะกอน 5.54 ค่าร้อยละการกำจัดสี 51.43 ร้อยละการกำจัดความชุ่น 66.15 ร้อยละการกำจัด SS 54.83 และร้อยละการกำจัด COD 76.15 ปริมาณสารตกรตะกอนที่เหมาะสมในการตกรตะกอน (Optimum Dose) 2,000 mg/L ที่เหมาะสมในการตกรตะกอน (Optimum pH) 5.5 ซึ่งมีค่า pH หลังการตกรตะกอน 5.56 ร้อยละการกำจัดสี 52.13 ร้อยละในการกำจัดความชุ่น 56.53 ร้อยละในการกำจัด SS 78.54 และร้อยละการกำจัด COD 53.23

จากการศึกษาขั้นตอนการผลิตถ่านกัมมันต์จากเม็ดคลินิจ์ พบว่าการเผาเป็นถ่านของเม็ดคลินิจ์ที่อุณหภูมิ  $800^{\circ}\text{C}$  เวลา 45 นาทีได้ค่าเลขไอโอดีนสูงสุดเท่ากับ 656.46 จากนั้นผ่านกระบวนการกระดุนทางเคมี พบว่าที่อุณหภูมิ  $900^{\circ}\text{C}$  เวลา 30 นาทีได้ค่าไอโอดีนสูงสุดเท่ากับ 738.78 มีร้อยละของการกำจัดไอโอดีน 79.66

จากการศึกษาประสิทธิภาพในการกำจัด COD ผ่านกระบวนการตกรดก่อน และการคัดซับด้วยถ่านกัมมันต์ที่ผลิตจากเมล็ดลินินเจี้ยงกับถ่านกัมมันต์ที่ขายตามห้องตลาดพบว่าที่ pH 3 เป็นสภาวะที่เหมาะสมที่สุดในการแสดงความสามารถการคัดซับค่า COD ของถ่านกัมมันต์ทั้งสองชนิดซึ่งมีร้อยละของการคัดซับเกือบ 100 หากเทียบปริมาณการใช้ถ่านกัมมันต์ที่เหมาะสมก็คือ 1,000 mg/L และหากสภาวะของน้ำเสียดื้อข่างมีความเป็นค่างเพิ่มขึ้นความสามารถใน

การดูดซับค่า COD ของถ่านทั้งสองมีค่าลดลง เมื่อจากสภาพะที่เป็นกรดสารละลายน้ำโดยส่วนใหญ่สามารถแตกตัวละลายในน้ำได้สูงกว่า (มั่นสิน, 2538) ในสภาพะที่กรดหรือด่าง

เมื่อพิจารณาด้านทุนการบำบัดน้ำเสีย พบร่วมด้านทุนในการบำบัดโดยใช้สารส้ม 6,500 mg/L อยู่ที่ 97.50 บาท/ $m^3$  และพบว่าด้านทุนในการบำบัดโดยใช้โพลีอสูมิเนียมคลอไรด์ 1,200 mg/L อยู่ที่ 30 บาท/ $m^3$  จะเห็นได้ว่าด้านทุนการบำบัดโดยใช้โพลีอสูมิเนียมคลอไรด์มีด้านทุนการบำบัดต่ำกว่าสารส้ม 67.50 บาท /  $m^3$  สำหรับด้านทุนการผลิตถ่านกัมมันต์จากเมล็ดลินินี่ คิดจากค่าไฟฟ้าและค่าสารเคมีในการเตรียมและผลิตถ่านกัมมันต์ทั้งหมด 17.68 บาท/kg ดังนั้นในการวิจัยครั้งนี้ประมาณการด้านทุนเพื่อการบำบัดน้ำเสียจากโรงงานผลิตกระดาษสา คำนวณต้นไป สามเดือน สำนักงานน้ำ จังหวัดเชียงใหม่ โดยเลือกใช้สารโพลีอสูมิเนียมคลอไรด์เป็นสารตกตะกอน 1,200 mg/L และถ่านกัมมันต์ที่ผลิตจากเมล็ดลินินี่ทั้งหมดเป็นเงิน 47.68 บาท/ $m^3$

การนำงานวิจัยนี้ไปประยุกต์ใช้ในการดูดค่าความสกปรกของน้ำเสียจากโรงงานกระดาษสา พบร่วมจากการทดลองที่ 1 ปริมาณโพลีอสูมิเนียมที่เหมาะสมในการตกตะกอนคือ 2,000 mg/L ที่สภาพะค่า pH ที่เหมาะสมต่อการตกตะกอนคือ 5.5 และค่า pH ภายหลังผ่านการตกตะกอนคือ 5.54 และจากการทดลองที่ 2 เป็นกระบวนการที่ต่อเนื่องจากการบำบัดน้ำเสียที่ผ่านการตกตะกอนด้วยการดูดซับด้วยถ่านกัมมันต์ ในการทดลองนี้พบว่าถ่านกัมมันต์ที่ผลิตจากเมล็ดลินินี่ที่สภาพะ pH 5 จึงมีความเหมาะสมที่จะนำไปเป็นกระบวนการบำบัดด้วยการดูดซับด้วยถ่านกัมมันต์ เนื่องจากการปรับค่า pH ที่ต่อเนื่องจากการทดลองที่ 1 เพียงเล็กน้อย ประกอบกับค่า pH ที่กำหนดไว้ในมาตรฐานน้ำทึบของกรมโรงงานอุตสาหกรรม ได้ระบุไว้ว่า pH ที่สามารถปล่อยออกสู่สิ่งแวดล้อมได้อยู่ในช่วง 5-9 ตามประกาศกระทรวงวิทยาศาสตร์ เทคโนโลยีและสิ่งแวดล้อม ฉบับที่ 3 (พ.ศ. 2539)

### ข้อเสนอแนะ

การศึกษาประสิทธิภาพการกำจัดสีจากน้ำเสีย โรงงานผลิตกระดาษสาด้วยกระบวนการตอกตะกอนและการคุณชั้บด้วยถ่านกัมมันต์

1. การเก็บตัวอย่างน้ำควรจะมีการเก็บในทุกๆ ดูคาลเพื่อใช้เป็นข้อมูลตอกตะกอนด้วยสารเคมี
2. ควรจะมีการศึกษาขนาดของถ่านกัมมันต์มีขนาดใหญ่และเล็กกว่า 60 เมซ เพื่อใช้เป็นข้อมูลในการศึกษาประสิทธิภาพการคุณชั้บของถ่าน

### ข้อเสนอแนะในการทำวิจัยครั้งต่อไป

1. ควรจะศึกษาถึงประสิทธิภาพของสารโโคแอคกูแลนที่อื่นๆ ให้หลากหลายมากยิ่งขึ้น
2. ควรจะหาวัสดุอื่นมาผลิตถ่านกัมมันต์ หรือการหาด้วยกล่องอื่น เพื่อเป็นการเพิ่มทางเลือกให้กับผู้สนใจ
3. ควร มีการศึกษาแบบต่อเนื่องเพื่อใช้เป็นข้อมูลในการออกแบบระบบต่อไป

## บรรณานุกรม

กาญนิภา ครองธรรมชาติ. 2536. การกำจัดสีของน้ำเสียจากน้ำย้อมผ้าโดยกระบวนการตกตะกอนทางเคมีด้วยสารโพลีอัลูมิเนียมคลอไรด์. วิทยานิพนธ์ปริญญาโท. จุฬาลงกรณ์มหาวิทยาลัย.

199 น.

กุลภัทร พิสิษฐ์กุล และ จักรกฤษ เรืองการ. 2543. การบำบัดน้ำเสียชุมชนด้วยกระบวนการทางเคมี (Municipal Wastewater Treatment by Chemical Perception).

วิทยานิพนธ์ปริญญาโท. มหาวิทยาลัยเชียงใหม่. 59 น.

เกียรติศักดิ์ ปิงกุล และ คณิต นิพันธ์ไพศาล. 2542. การบำบัดขั้นต้นน้ำเสียจากโรงงานผลิตกระดาษ โดยกระบวนการโคแอกูลेशัน (The Pretreatment of Saa-paper industry wastes by coagulation process). วิทยานิพนธ์ปริญญาโท. มหาวิทยาลัยเชียงใหม่. 37 น.  
เกรียงศักดิ์ อุดมสิน โรจน์. 2542. การบำบัดน้ำเสีย. กรุงเทพฯ: มิตรนราการพิมพ์. 442 น.  
จิตราดา โภสินธนาทัฟ และ วรรรณ ขาวสนาญ. 2538. การศึกษาการบำบัดสีในน้ำเสียจากการต้มเปลือกป่าใบในบ่อสารร้าย การศึกษา (Saa-Paper Industry Wastewater Treatment by Coagulation Process). วิทยานิพนธ์ปริญญาโท. มหาวิทยาลัยเชียงใหม่. 55 น.

จำรงค์ อุทัยบุตร, จินดา ศรศรีวิชัย, คำรัส ทรัพย์เย็น, กอบเกียรติ แสงนิล, วิภาวดี คำปวน และ งานดา ตันดิยะวงศ์. 2542. รายงานโครงการวิจัยฉบับสมบูรณ์ เรื่องการพัฒนาของแอนโทไซยานิน กลไกการควบคุมและเทคนิคในการปรับปรุงในสวนลืนจี. เชียงใหม่: สถาบันวิจัยและพัฒนาวิทยาศาสตร์และเทคโนโลยี มหาวิทยาลัยเชียงใหม่. 57 น.

บุญชัย ตระกูลมหาชัย, มนัส อาทบะพันธ์, น้อมจิตต์ เกิดผล, พาสุก คงชาตรี และ เกศรา นุตาลัย.  
2534. การผลิตถ่านกัมมันต์จากพืชโดยการเผาและกระตุ้นด้วยไอน้ำในเตาฟูอิไดซ์เบด.อ.-ต. 34-01/รายงานฉบับที่ 2. กรุงเทพฯ: สถาบันวิจัยวิทยาศาสตร์และเทคโนโลยี แห่งประเทศไทย.

ถาวร นิวัฒนาภูล. 2523. การเตรียมการศึกษาถ่านที่มีปฏิกิริยา. วิทยานิพนธ์ปริญญาโท.  
มหาวิทยาลัยเชียงใหม่. 88 น.

นั่นสิน ตันทุกเวศน์. 2540. คู่มือวิเคราะห์คุณภาพน้ำ. กรุงเทพฯ: สำนักพิมพ์จุฬาลงกรณ์มหาวิทยาลัย. 352 น.

มั่นสิน ตันตุลเวศ์. 2542. วิศวกรรมประปา. กรุงเทพฯ: สำนักพิมพ์จุฬาลงกรณ์มหาวิทยาลัย.

176 น.

ศุภวัฒน์ แสงคุณะคุปต์ และ อชร์ วนิชย์บัญชา. 2544. การบำบัดน้ำเสียจากโรงงานกระดาษสา

ด้วยกระบวนการรวมตะกอน(Saa-Paper Industry Wastewater Treatment by Coagulation Process). วิทยานิพนธ์ปริญญาโท. มหาวิทยาลัยเชียงใหม่. 47 น.

อังคนาง อารักษ์ และ อัญชณา ขอดเรืองวงศ์. 2542. การเตรียมถ่านกัมมันต์จากกระดาษพร้าว.

วิทยานิพนธ์ปริญญาตรี. มหาวิทยาลัยเชียงใหม่. 57 น.

Boon Hai Tan, Tjoon Tow Teng and A. K. Mohd Omar. 1999. Removal of dyes and industrial dye waste by magnesium chloride. **Water Research** [Online] 34, 2 (February): 597-601. Available <http://www.sciencedirect.com/science> (12 July 2007)

D. Kavitha and C. Namasivayam. Capacity of activated carbon in the removal of acid brilliant blue: Determination of equilibrium and kinetic model parameters. **Chemical Engineering Journal** [Online] 139, 3(15 June): 453-461 Available <http://www.sciencedirect.com/science> (12 July 2007)

Fornwalt, H.J. and R.A. Hutchins, 1996. Purifying liquids with Activated Carbon. **Chemical Engineering**. 11: 179-184.

Hassler, J.W. 1974. **Purification with Activated Carbon**. 3<sup>rd</sup> ed. New York: Chemical Publishing Company Inc. 90 p.

Kirubankaran, C.J. 1991. Experimental study of production of activated carbon from coconut shells in a fluidized bed reactor. **Ind. Eng. Chem. Res.** 30: 2411-2416.

Lowell, S. 1979. **Introduction to Powder Surface Area**. New York: John Wiley and Sons, Inc. 199 p.

Srikumlaithong, S., Fangtawanit, W. and Noda, Y. 1994. Study on high quality activated carbon from lignite. **Grant (E) Res. Proj.** No. 37-01/Rep. No. 2, TISTR.

Sthapitanonda, K., Kongchatree, P., Noda Y., Ishibashi, K. and Yamada, K. 1994. Preparation of powder activated carbon from lignite by steam activation. **Grant (E) Res. Proj.** No. 34-01/Rep. No 1, TISTR.

Suttisonk, B., Wangdheethum, R., Noda, Y., Yamada, K. and Ishibashi, K. 1993. Preparation of granular activated carbon from peat and lignite by steam activation. **Grant (E) Res. Proj.** No. 34-01/Rep. No. 6, TISTR.

- Tsai, W.T. et. al. 2001. Cleaner production of carbon adsorbents by utilizing agricultural waste corn cob. **Adsorption** [Online] 32:433 Available <http://www.sciencedirect.com> (21 June 2005)
- T. Otowa, Y. Nojima and T. Miyazaki. 1997. Development of KOH activated high surface area carbon and its application to drinking water purification. **Carbon** [Online] 35,9: 1315-1319 Available <http://www.sciencedirect.com> (21 June 2005)
- Vera Golob, Aleksandra Vinder and Marjana Simonic. 2005. Efficiency of the coagulation/flocculation method for the treatment of dyebath effluents. **Dyes and Pigments** [Online] 67,2(November) 93-97 Available <http://www.sciencedirect.com> (21 June 2005)
- W. Chu. Dye Removal from Textile Dye wastewater Using Recycled Alum Sludge. **Water Research** [Online] 35,13 (September) 3:147-315 Available <http://www.sciencedirect.com> (21 June 2005)

ภาคพนวก

ภาคผนวก ก :  
การวิเคราะห์ตัวแปร

## การวิเคราะห์ค่าตัวแปร

### 1. สี (Color)

#### หลักการ

ทำการวัดสีของตัวอย่างนำ้โดยใช้เครื่อง HACH ทำการวัดค่า OD (Optical Density) หาความขาวคลีน

#### เครื่องมือและอุปกรณ์

#### เครื่อง HACH

#### วิธีวิเคราะห์

ทำการวัดสีของตัวอย่างนำ้โดยใช้เครื่อง HACH ทำการวัดค่า OD หาความขาวคลีน

### 2. ความชุ่น (Turbidity)

#### หลักการ

การวัดความชุ่นโดยเปรียบเทียบความเข้มข้นของแสงที่กระจักรกระจายของตัวอย่าง กับของสารมาตรฐานภายใต้สภาพเดียวกัน ความเข้มข้นของแสงที่กระจักรกระจายก็จะมีความชุ่นมาก สารละลายน้ำชุ่นมาตรฐานที่ใช้คือ ฟอร์มาซินโพลิเมอร์ (Formazin Polymer) ประกอบด้วยสารละลายน้ำ 2 อย่างคือ สารละลายน้ำไฮดราราเซ็นแซลเฟต (Hydrazine Sulfate) กับสารละลายนีเชกซาเมทธิลีนเตตรามีน (Hexamethylene Tetarmine)

#### เครื่องมือและอุปกรณ์

##### 1. เครื่องวัดความชุ่นแบบเนฟฟิโลมิเตอร์

เครื่องวัดต้องสามารถวัดค่าความชุ่นได้ 0.02 NTU หรือน้อยกว่าในกรณีที่ความชุ่นมีค่าน้อยกว่า 1 NTU ตัวอย่างของเครื่องวัดประกอบได้แก่ เครื่องวัดความชุ่นยี่ห้อ HACH

##### 2. หลอดวัดตัวอย่างนำ้ (Sample Tubes)

หลอดวัดตัวอย่างนำ้ต้องเป็นแก้วใสไม่มีสีต้องคุณภาพดี สะอาดอยู่เสมอหัวห้องค้านอก และด้านในอย่างให้มีรอยขีดข่วน

#### สารเคมี

##### 1. น้ำกลั่นที่ใส่มีความชุ่น

นำ้น้ำกลั่นกรองผ่านแผ่นกรองเมมเบรนขนาด 0.2 ไมครอน ใช้น้ำนี้เตรียม

สารละลายน้ำชุ่นมาตรฐานและเจือจางตัวอย่าง

##### 2. สารละลายน้ำชุ่นมาตรฐาน 4,000 NTU

2.1 ละลายน้ำ Hydrazine Sulfate ( $N_2H_4H_2SO_4$ ) 2.500 g ในน้ำกลั่น 200 ml

2.2 ละลายน้ำ Hexamethylenetetramine 25.00 g ในน้ำกลั่น 100 ml

2.3 นำสารละลายน้ำข้อ 2.1 และ 2.2 มาผสมกันและเติมน้ำกลั่นจนได้ 500 ml นำเข้าตู้ควบคุมอุณหภูมิที่ 20 - 22 องศาเซลเซียส เป็นเวลา 45 ชั่วโมง

2.4 สามารถเตรียมสารละลายน้ำมาตรฐานความชุ่นต่างๆ ได้โดยสารละลายน้ำดื้อกัดความชุ่น 4,000 NTU มาเจือจาง

### วิธีวิเคราะห์

1. เปิดเครื่องวัดความชุ่นและเตรียมเครื่องตามคู่มือการใช้และวัดความชุ่นของน้ำตัวอย่างตามวิธีของเครื่องนั้นๆ
2. นำตัวอย่างต้องเบย่าให้เข้ากันดีก่อนเทใส่หลอดวัดตัวอย่างเพื่อนำไปวัดความชุ่น
3. เครื่องวัดความชุ่นบางรุ่นจะมีสารละลายน้ำมาตรฐานความชุ่นมาให้แล้ว ต้องมีการตรวจเช็คว่าเดื่อมคุณภาพหรือไม่โดยเทบกับสารละลายน้ำมาตรฐานความชุ่นที่เตรียมขึ้น
4. ถ้าตัวอย่างน้ำมีความชุ่นเกินที่เครื่องจะวัดได้ให้เจือจางตัวอย่างน้ำลงก่อน

### 1. ความเป็นกรด-ด่าง (pH)

#### หลักการ

การวัด pH คือ การวัดสภาพความเป็นกรดหรือด่างของสารละลายน้ำ เป็นตัวทำละลายน้ำ (Aqueous Solution) โดยวัดค่าความต่างศักย์ที่เกิดขึ้น (Potential) ระหว่างอิเล็กโทรดอ้างอิง (Reference Electrode) กับอิเล็กโทรดตรวจวัด (Sensing Electrode) ความต่างศักย์ที่ได้เกิดขึ้นจากจำนวนของไฮโดรเจนอิオン ( $H^+$ ) อิเล็กโทรดจะเปลี่ยนความต่างศักย์ที่เกิดจากอิออน (Ionic Potential) ให้เป็นความต่างศักย์ทางไฟฟ้า (Electronic Potential) แล้วขยายให้มาระหว่างต่างศักย์สูงขึ้นด้วยเครื่องวัด pH (Potentiometer)

#### เครื่องมือและอุปกรณ์

##### 1. เครื่องวัด pH (pH Meter)

เครื่องวัด pH เป็นเครื่องมือทางไฟฟ้าที่ใช้วัด pH ของสารละลายน้ำโดยหลักการวัดความต่างศักย์ ประกอบด้วยส่วนสำคัญ 2 ส่วนคือ อิเล็กโทรดและตัวเครื่อง

1. อิเล็กโทรด ทำหน้าที่เป็นภาคตรวจรับ ในปัจจุบันส่วนใหญ่เป็นอิเล็กโทรครรุน (Combination pH Electrode) ซึ่งออกแบบไว้ให้สะดวกในการใช้งาน โดยรวมอิเล็กโทรดอ้างอิงและอิเล็กโทรดตรวจวัดมาอยู่ด้วยกัน อิเล็กโทรดตรวจวัดทำด้วยแก้วพิเศษที่ยอมให้ไฮโดรเจนอิออนผ่านส่วนใหญ่ออกแบบเป็นรูปกระเบาะ ภายในบรรจุบัฟเฟอร์เอาไว้ อิเล็กโทรดอ้างอิงทำหน้าที่ให้

ศักยไฟฟ้าที่เกิดขึ้นที่ขั้วตรวจวัดเกิดครบรวงโดย KCL ชนิดอิ่มตัวที่อยู่ในอิเล็กโทรดอ้างอิงซึ่งผ่านออกมาเป็น Salt bridge เชื่อมกับอิเล็กโทรดตรวจวัด

#### 1.2 ตัวเครื่อง (Potentiometer) ทำหน้าที่สำคัญ 3 ประการ คือ

- ปรับความต่างศักย์ให้กับอิเล็กโทรดอ้างอิงให้มีค่าความต่างศักย์เป็นศูนย์และคงที่
- แปลงสัญญาณจากความต่างศักย์ของอิออน ของอิเล็กโทรดให้เป็นความต่างศักย์เป็นศูนย์และคงที่
- ขยายสัญญาณจากความต่างศักย์ทางไฟฟ้า ให้เพิ่มมากขึ้นอย่างเพียงพอให้เข้มหรือด้วยเลขแสดงออกทางมิเตอร์
- บีบเกอร์ ขนาด 100 ml
- Magnetic stirrer

#### วิธีวัด pH

1. หลังจากเปิดเครื่องวัด pH ควรปล่อยให้เครื่องร้อนอย่างน้อย 15 นาที ก่อนใช้งาน
2. ปรับเทียบมาตรฐาน (Standardization) เครื่องให้พร้อมก่อนที่จะวัด pH ตัวอย่าง โดยใช้สารละลายน้ำฟเฟอร์มารฐานที่ทราบค่า pH แน่นอน วิธีปรับเทียบโดยทั่วไป มี 2 วิธี คือ

2.1 การเทียบมาตรฐาน pH แบบจุดเดียว (Single Point Standardization) คือการใช้สารละลายน้ำฟเฟอร์มารฐานตัวเดียวกันเป็นตัวเทียบ โดยการจุ่มอิเล็กโทรคลงในสารละลายน้ำฟเฟอร์มารฐาน คุณค่า pH ที่ได้ถ้าค่า pH ที่ได้ไม่เท่ากับค่า pH จริงของสารละลายน้ำฟเฟอร์ ให้ใช้ปุ่ม Calibrate ปรับค่าให้ได้

2.2 การเทียบมาตรฐาน pH แบบ 2 จุด (Two Point Standardization) คือการใช้สารละลายน้ำฟเฟอร์มารฐาน 2 ตัว เป็นตัวเทียบมาตรฐาน โดยการจุ่มอิเล็กโทรคลงในสารละลายน้ำฟเฟอร์มารฐานตัวแรก( มี pH 4 หรือ 10) ถ้าอ่านค่าได้ไม่ตรงให้ใช้ Slope Control ปรับให้ตรง สำหรับเครื่องวัด pH รุ่นใหม่ที่ควบคุมด้วย Microprocessor ที่มีหลักการเช่นเดียวกันนี้ แต่สะดวกสบายกว่า ให้ทำงานคู่มือการใช้จากบริษัทผลิต วิธีเทียบมาตรฐานวิธีนี้จะวัดค่า pH ได้ถูกต้องกว่าวิธีแรก โดยเฉพาะเมื่อวัด pH ของตัวอย่างน้ำที่มีค่าอยู่ระหว่าง 2 จุด ที่ Standardize ไว้ ควร Calibrate อย่างน้อยสัปดาห์ละครั้ง

3. ตัวอย่างน้ำที่จะนำมาวัด pH ต้องปล่อยให้มีอุณหภูมิคงที่เสียก่อน เช่นในกรณีที่ตัวอย่างน้ำแข็งเย็นไว้ ต้องนำออกจากตู้เย็น ตั้งทิ้งไว้จนหายเย็น จึงจะนำไปวัด pH เพราะ pH จะเปลี่ยนไปตามอุณหภูมิ

4. ก่อนวัดเขย่าตัวอย่างน้ำให้เข้ากันดี เทใส่บีกเกอร์ วางบีกเกอร์บน Stirrer ให้หมุนเบาๆ (ถ้าไม่มีเครื่อง Stirrer ให้ขยับอิเล็กโทรคเบาล์ จนตัวเลขแสดงค่า pH หยุดนิ่ง อ่านค่า pH ของตัวอย่างน้ำ)

5. เมื่อจะวัดตัวอย่างต่อไปให้ฉีกส่างอิเล็กโทรดคัวยน้ำกลั่นแล้วชับคัวยกระดาษหรือผ้าぬ่ำ แล้วจึงวัดตัวอย่างดังไป แต่ถ้าจะเลิกวัดหลังจากที่ส่างอิเล็กโทรดคัวยน้ำกลั่นจะสะอาดและชันให้แห้งแห้งอิเล็กโทรดไว้ในสารละลายที่มีอ่อนมากพอกว่า และมีฤทธิ์เป็นกรดเช่นสารละลายน้ำฟเฟอร์ 4 หรือที่ดีที่สุดในน้ำยาสำหรับเก็บรักษาอิเล็กโทรด

## 2. ของแข็งแขวนลอย (Suspended Solids; SS)

### หลักการ

ตัวอย่างน้ำที่ผ่านกระบวนการกรอง GF/C ในถัวระเหยทранน้ำหนัก จะถูกนำไประเหยด้วยไอน้ำจนแห้งแล้วนำไปป้อนที่ 103-105 องศาเซลเซียส ทำให้เย็นแล้วชั่ง น้ำหนักที่เพิ่มคือน้ำหนักของของแข็งละลายน้ำทั้งหมด หรืออาจหาได้จากน้ำค่าของของแข็งแขวนลอยทั้งหมดมาหักออกจากค่าของเจ็งทั้งหมด

### เครื่องมือและอุปกรณ์

1. กระดาษ GF/C (Glass Fiber Filter) ซึ่งไม่มีสารอินทรีย์ติดอยู่ เส้นผ่าศูนย์กลาง 4.7 cm

2. ชุดกรอง อย่างใดอย่างหนึ่งตามความเหมาะสม

2.1 ชุดกรอง(Membrane Filter Funnel)

2.2 ถัวกรองกุช (Gooch Crucible) หรือกรวยบุคเนอร์ความจุ 100 ml

3. เครื่องดูดสุญญากาศ (Suction Pump) พร้อมขวดดูดสุญญากาศขนาด

500-1,000 ml

### วิธีวิเคราะห์

1. การกรองตัวอย่าง ต่อสายยางระหว่างปลายท่อดูดของเครื่องดูดและของขวดกรอง วางกระดาษกรอง GF/C บนกรวยบุคเนอร์ เปิดเครื่องดูดสุญญากาศ ส่างกระดาษกรองคัวยน้ำกลั่น 3 ครั้ง ครั้งละ 20 ml และปล่อยให้ดูดน้ำออกจากระดานกรองจนหมด ทิ้งน้ำส่างไป นำตัวอย่างน้ำมายเขย่าให้เข้ากันอย่างดีมากรองผ่านกระดาษ GF/C ที่เตรียมไว้ ให้กรองมากกว่าปริมาตรที่เลือกใช้ที่จะนำไประเหยนำไปป้อนที่ควบคุมอุณหภูมิไว้ที่ 103-105 องศาเซลเซียส เป็นเวลาอย่างน้อย 1 ชั่วโมง

2. นำเข้าคู่อุปกรณ์ที่ต้องใช้ให้เขียนในโน๊ตทำแท้แห่งชั้นน้ำหนัก สมมุติว่ามีน้ำหนัก B g

การคำนวณของแข็งแขวนลอย ( $\text{mg/L}$ ) =  $((B-A)/C) \times 10^6$

$$A = \text{น้ำหนักถ้วน/kg} \times \text{ระยะทางเดิน} \text{ m}, g$$

$$B = \text{น้ำหนักถ้วนราหงค์ของแม่ปิง}, \text{ g}$$

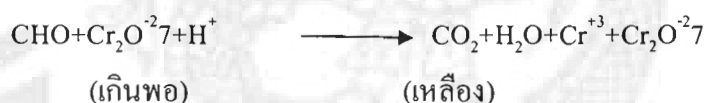
$C$  = ปริมาตรตัวอย่างน้ำ ( $\text{ml}$ )

#### ชีโอดี (Chemical Oxygen Demand; COD)

หน้ากาก

ภายใต้สภาพแวดล้อมที่มีอุณหภูมิสูง สารอินทรีย์ในน้ำจะถูกออกซิได้โดยสารละลายน้ำ เช่น ไนโตรเจนที่ทราบความเข้มข้นและมีปริมาณเกินพหุที่ทราบจำนวน หลังจากรีฟลักซ์ วัสดุปริมาณน้ำต้องถูกตัดออกโดยการกรอง ไนโตรเจนที่เหลือ นำไปต่อเร็วกับเฟรสแอมโมเนียมซัลเฟต(Ferrous Ammonium Sulfate, FAS) และใช้เฟอร์โรอิน(Renntoin) เป็นอินดิเคเตอร์ ทำให้ทราบปริมาณของไนโตรเจนที่ใช้ในการออกซิได้สารอินทรีย์ได้ปฏิกริยาต่างๆ ที่เกิดขึ้นเป็นดังนี้

1. เมื่อปริฟลักซ์ด้วย  $K_2Cr_2O_7 + H_2SO_4$



2. หาปริมาณ  $\text{Cr}^{+7}$  ที่เหลือ โดยการไตรเตอร์ด้วย FAS มีเพื่อโกรอนเป็นอินดิกेटอร์



$\text{Cr}_2\text{O}^{2-}_7$  ที่เหลือจะทำปฏิกิริยากับ  $\text{Fe}^{2+}$  FAS) ได้โตรมิก ( $\text{Cr}+3$ ) จนหมด แล้ว  $\text{Fe}^{2+}$

จึงทำปฏิริยา กับเพื่อโรยิน ได้สารประกอบสื้น้ำคาน และซึ่งแสดงถูกยุติของการ ไตร

୩୮୩

## เครื่องมือและอุปกรณ์

1. หลอดบ่อขย (Digestion Vessels) เป็นหลอดแก้วborosilicate (Borosilicate) ซึ่งใช้เลี้ยงเชือขานาค  $16 \times 100$  หรือ  $20 \times 150$  หรือ  $25 \times 150$  mm มีฝาสลักเกลียวชื่นทำด้วย TEE

2. บล็อก (Block) หรือที่ใส่หลอดแก้วแบบตัน ทำด้วยอลูมิเนียม ความถึกของช่องใส่หลอดฯประมาณ 45-50 mm การให้ความร้อนเพื่อต้มยำส่วนใหญ่ทำโดยวางเปล็กบนเตาแผ่น

3. ตู้อบ (Oven) สามารถควบคุมอุณหภูมิให้อยู่ประมาณ  $150 \pm 2$  องศาเซลเซียส

4 ពិរាងច

5. ขวดรูปกรวยขนาด 125 ml

### สารเคมี

1. สารละลายน้ำตรฐาน โป๊ಡຕเชิญ ໄດ ໂຄຣເມຕ ເຂັ້ມ່ານ 0.1 ນອർມັດ  
ລະລາຍໂປຣແຕສເຊີຍ ໄດ ໂຄຣເມຕ ທີ່ຈຶ່ງອົບແຫ່ງທີ່ 103 ອົງສາເຊລເຊີຍສ ເປັນເວລາ 2  
ໜ້ວໂມງ ມັກ 4.916 g ໃນນ້ຳກໍລັ້ນ 500 ml ເຕີມກຣດກຳນະຄັນເຂັ້ມ່ານ 167 ml ແລະ ປຣອທ້ລັພັດ 33.3 g  
ຄນໃຫ້ລະລາຍ ປລ່ອຍທີ່ໄວ້ໃຫ້ເຢືນ ແລ້ວເຈື້ອຈາງດ້ວຍນ້ຳກໍລັ້ນຈົນໄດ້ປຣິມາຕຣ 1,000 ml

#### 2. ກຣດໜຸກຸຮົກແລະ ຂີລເວອຣໜຸກຸເພັດ

ໜັງຂີລເວອຣໜຸກຸເພັດ ( $\text{Ag}_2\text{SO}_4$ ) 8.8 g ໄສ່ລ່ວໃນກຣດໜຸກຸຮົກເຂັ້ມ່ານ 1L ຕັ້ງທີ່ໄວ້ 1-2 ວັນ  
ເພື່ອໃຫ້ຂີລເວອຣໜຸກຸເພັດລະລາຍໄດ້ທັ້ງໝາດ ກ່ອນນຳໄປໃຫ້ຕ່ອໄປ

#### 3. สารละลายน້າຕຽນ ເພຣສເອມ ໂມນເນີຍມ້າລຸກຸເພັດ 0.05 ນອർມັດ

ລະລາຍເພຣສເອມ ໂມນເນີຍມ້າລຸກຸເພັດ ( $\text{Fe}(\text{NH}_4)_2 \cdot 6\text{H}_2\text{O}$ ) 19.6 g ໃນນ້ຳກໍລັ້ນ ເຕີມກຣດໜຸກຸຮົກ  
ເຂັ້ມ່ານ 20 ml ແລ້ວເຈື້ອຈາງເປັນ 1,000 ml ດ້ວຍນ້ຳກໍລັ້ນ

#### 4. สารละลາຍເພູໂຮອັນອິນດີເຄຕອວ໌

ລະລາຍ 1,10-ຟີແນນ ໂກໂລລິນ ໂມນໂນໄໂຫເຄຣຕ (1,10-Phenanthroline Monohydrate,  
 $\text{C}_{12}\text{H}_8\text{N}_2 \cdot \text{H}_2\text{O}$ ) 1.485 g ແລະ ເພຣສໜຸກຸເພັດ (Ferrous Sulfate,  $\text{FeSO}_4 \cdot 7\text{H}_2\text{O}$ ) 695 mg ໃນນ້ຳກໍລັ້ນ ແລ້ວເຈື້ອ  
ຈາງເປັນ 100 ml

#### ວິທີການຕຽບສອນຄວາມເຂັ້ມ່ານຂອງสารລະລາຍ FAS

ປີປັດສາລະລາຍນ້າຕຽນ ໂປ້ຕັສເຊີຍ ໄດ້ໂຄຣເມຕ 0.1 ນອർມັດ 5.0 ml ໄສ່ຂວາງຮູບ  
ກວຍ ເຕີມນ້ຳກໍລັ້ນ 50 ml ແລ້ວຈຶ່ງກ່ອຍໆ ເຕີມກຣດໜຸກຸຮົກເຂັ້ມ່ານ 15 ml ທີ່ໃຫ້ເຢືນ ເຕີມເພູໂຮອັນ 2 - 3  
ໜີ້ດີ ໄຕເຕັດດ້ວຍສາລະລາຍນ້າຕຽນ FAS ຈົນໄດ້ສື່ນ້າຕາລເປັນຈຸດບຸດີ

$$\text{ຄວາມເຂັ້ມ່ານຂອງ FAS, ນອർມັດ (N) = (5.0 \times 0.1)/\text{ml FAS} \text{ ທີ່ໃຫ້}$$

#### 5. ກຣດໜຸກຸຟຳມີກ (Sulfamic Acid)

ໃຊ້ສໍາຫັບປຶກກັນການຮຽນກວນຂອງ ໄນໄໂຕຣຕ' ( $\text{NO}_2^-$ ) ປຣິມາຜທີ່ໃຫ້ຄື້ອ 10 ml ຕ່ອທຸກ  
1 ml ຂອງ ໄນໄໂຕຣຕ'

#### 6. สารລະລາຍນ້າຕຽນ ໂປ້ຕັສເຊີຍ ໄຫໂຄຣເຈນຝຣາເລເຕ (Potassium Hydrogen Phthalate ຢ້ອງ KHP)

ນົດ KHP ເພື່ອລົດນາດລົງແລະ ນຳໄປອົບອອນທີ່ອຸ່ນຫຼຸມ 103 ອົງສາເຊລເຊີຍສ ຈົນແໜ່ງ  
ແລະ ມີນ້ຳໜັກຄົງທີ່ ແລ້ວລະລາຍ KHP ທີ່ນົດແລະ ອົບອອນແໜ່ງແລ້ວ 425 ml ໃນນ້ຳກໍລັ້ນ ເຈື້ອຈາງໃຫ້ເຢືນ 1,000  
ml ສາລະລາຍນີ້ມີ COD ເທົກນ 500 mg/L ສາມາຄົກເກີບຮັກຢາໃນຕູ້ເຢືນ ໄດ້ນານໄມ່ເກີນ 3 ເດືອນ

## 7. สารละลายน้ำ

สารละลายน้ำ 486.6 mg ในน้ำกําลັນແລ້ວເຈືອງຈາກໃຫ້ເປັນ 1,000 ml สารละลายนີ້ຈະມີ COD ເທົ່າກັນ 500 mg/L ສາຍລະລາຍກູໂຄສະໄມ່ຄ່ອບຄົງຕົວພຽບສາຍລະລາຍກຣດກຳນະຄັນ 20 % ເສມອຖຸກຄັ້ງກ່ອນ

### ວິທີວິເຄາະ

ຕ້ອງລ້າງຫລອດແກ້ວແລະປຶກຝາດ້ວຍສາຍລະລາຍກຣດກຳນະຄັນ 20 % ເສມອຖຸກຄັ້ງກ່ອນ

### ໃຊ້ຈານ

#### 1. ເລືອກຂາດຂອງຫລອດແກ້ວສໍາຮັບຕົ້ນ COD ໃຫ້ເໜາະສນ

ถ້າຕ້ວອຍ່າງນີ້ມີ COD ຕໍ່ໃຫ້ເລືອກຫລອດແກ້ວຂາດ 25x150 mm ແລະ ຄ້າ COD ສາມາດໃຫ້ຄ່ອນຫັງສູງໃຫ້ໃຫ້ຫລອດແກ້ວຂາດ 20x150 mm ແລະ ຄ້າ COD ສູງສາມາດໃຫ້ຫລອດແກ້ວຂາດ 16x100 mm ໃນທີ່ນີ້ຂອແນະນຳວ່າໄນ່ຈໍາເປັນຕ້ອງໃຫ້ຫລອດຫລາຍຂາດໃຫ້ເພີ່ງ 2 ຂາດ ກື່ອ 25x150 mm ສໍາຮັບຫາ COD ທີ່ມີຄ່າຕໍ່ແລະຂາດ 20x150 mm ສໍາຮັບ COD ທີ່ມີຄ່າສູງ ຄ້າຕ້ວອຍ່າງນີ້ຄ່າສູງນາກກີ້ໃຫ້ເຈືອງຕ້ວອຍ່າງນຳກ່ອນ

#### 2. ການເລືອກປິຣົມາຕຣດຕ້ວອຍ່າງນຳ

ດ້າເປັນນ້ຳສະອາດ ນ້ຳຮຽນຫາຕີຫຼືຫຼີ້ນ້ຳທີ່ມີຄ່າ COD ຕໍ່າ ຄວາມໃຫ້ຕ້ວອຍ່າງນຳ 10 ml ໂດຍໃຫ້ຫລອດແກ້ວຂາດ 20x150 mm ແຕ່ຄ່າ COD ສູງກວ່ານີ້ໃຫ້ໃຫ້ຫລອດແກ້ວຂາດ 25x150 mm ໂດຍເລືອກຕ້ວອຍ່າງນຳນາກທີ່ສຸດ 5 ml ຮີ້ວ່າໃຫ້ຂອຍກວ່າ ແລ້ວເຕີມນ້ຳກ່ອນໃຫ້ເປັນ 5 ml ແລະ ນ້ຳຕ້ວອຍ່າງນີ້ຄ່າ COD ນາກດ້ວຍເຈືອງຕ້ວອຍ່າງນຳກ່ອນນຳນາມໃຫ້ ຄວາມປະມານຄ່າ COD ຂອງຕ້ວອຍ່າງນຳອ່າຍກ່ຽວ່າງ ກ່ອນທີ່ຈະໄດ້ເລືອກໃຫ້ປິຣົມາຕຣດຕ້ວອຍ່າງ ໄດ້ອ່າຍ່ານເໜາະສນ ການປະມານຄ່າ COD ສາມາດພິຈາລາຍາກ ລັກຜະຕ້ວອຍ່າງນຳ ແຫລ່ງທີ່ມາຂອງນຳ ແລະ ຈາກນຳ Rapid COD ການເລືອກຂາດຕ້ວອຍ່າງນຳທີ່ຈະໄດ້ ວິເຄາະທີ່ໃຫ້ເໜາະສນຄວາມເລືອກໃຫ້ປິຣົມາຕຣດຕ້ວອຍ່າງນຳໃຫ້ຜລຕ່າງຂອງ FAS ທີ່ໃຊ້ໃນການໄຕເຕຣຕແບລັກ ແລະ ຕ້ວອຍ່າງນຳອູ້ຮ່ວງ 1-5 ml

#### 3. ໄສ້ນໍາຕ້ວອຍ່າງລົງໃນຫລອດທົດລອງແກ້ວຂາດເໜາະສນ

ເຕີມນ້ຳບໍ່ຍ່ອຍສາຍຫຼືໂປຕສເຊີບໄກ ໂຄຣເມຕ ຕາມດ້ວຍກຣດກຳນະຄັນອ່າງຊ້າງ ປິຣົມາຕຣ 1 ml ປຶກຝາໃຫ້ແນ່ນແລະເບ່າພສນກັນໃຫ້ດີ ສໍາຮັບແບລັກທີ່ໃຫ້ນ້ຳກ່ອນແລ້ວທຳເໜືອນກັນທຸກ ຕ້ວອຍ່າງ

#### 4. ວາງຫລອດໃນບລັກ ແລ້ວໄສຕູ້ອົບ ຕັ້ງອຸນຫກນີໄວ້ທີ່ $150 \pm 2$ ອົງສາເຊລເຊີບສ ເປັນເວລາ

### 2 ຂ້ວໂມງ

5. เทสาระลายออกจากหลอดแก้วลงในขวดรูปกรวย ใช้น้ำกลั่นฉีดล้างสารละลายในหลอดแก้วหมดแล้วเทรวมลงในขวดรูปกรวย เติมฟอโรอีนอินดิกेटอร์ 2-3 หยด แล้วไตรเตรต์ด้วยสารละลายน้ำตาล FAS สีของสารละลายจะค่อยๆ

เปลี่ยนจากเหลือง → เป็นสีขาวเหลือง → ฟ้า → น้ำตาลแดง ซึ่งแสดงว่าถึงจุดปฏิชีวน้ำตาล FAS ที่ใช้ไตรเตรต์

การคำนวณ

$$\text{COD, mg/L} = ((A-B) \times N \times 8,000) / ml \text{ ของน้ำตัวอย่าง}$$

เมื่อ A = ml ของ FAS ที่ใช้ในการไตรเตรต์แบล็ค

B = ml ของ FAS ที่ใช้ในการไตรเตรต์ตัวอย่างน้ำ

N = ความเข้มข้นของ FAS, นอร์มัล

ภาคผนวก ข :

การเตรียมสารละลายที่ใช้ในการทดลอง

## การเตรียมสารละลายที่ใช้ในการทดลอง

### 1. การเตรียมสารเคมีสำหรับการตัดตอน

1.1 สารสัมสารละลายของสารสัมที่ใช้ในการวิจัยนี้เป็นสารสัมที่มีคุณภาพในขั้น Laboratory Grade โดยเตรียมจากการละลายสารสัมที่อยู่ในรูป  $\text{Al}_2(\text{OH})_5$ , ซึ่งเป็นของแข็ง 50,000 g/L นำมาละลายกับน้ำกลั่นให้มีปริมาตร 1 L คิดเป็น 5 เปอร์เซ็นต์ ของสารละลาย (w/v)

1.2 โพลีอลูมิเนียมคลอไรด์ (PAC) ( $\text{Al}_2(\text{SO}_4)_3$ ) สารละลายโพลีอลูมิเนียมคลอไรด์ ได้เตรียมที่ความเข้มข้น 5 เปอร์เซ็นต์ ของสารละลาย (w/v) โดยทำการซั่งโพลีอลูมิเนียมคลอไรด์ในรูปของแข็ง 50,000 g/L นำมาละลายกับน้ำกลั่นให้มีปริมาตร 1 L

### 2. การเตรียมสารเคมีสำหรับการหาเลขไอโอดีนนัมเบอร์

#### 2.1. การเตรียมสารละลายโซเดียมไนโตรซัลเฟตเข้มข้น 0.1000N

ละลายโซเดียมไนโตรซัลเฟต 24.8200 g ลงในน้ำกลั่น และปรับปริมาตรเป็น 50-100 มิลลิลิตรแล้วเติมโซเดียมคาร์บอเนต 0.1000-0.1100 g ทำให้ปริมาตรให้ครอง 1,000 ml ในขวดปริมาตร แล้วจึงนำไปหาความเข้มข้นที่แผ่นอนของสารละลายต่อไป โดยนำมาตรฐานกับสารละลายมาตรฐานโป๊ಡสเซียมไออกอเดต

#### 2.2. การเตรียมสารละลามมาตรฐานโป๊ಡสเซียมไออกอเดตเข้มข้น 0.1000 N

ละลายโป๊ଡสเซียมไออกอเดต 3.5667 g/L ในน้ำกลั่น 100 ml ก่อน แล้วทำการปรับปริมาตรเป็น 1000 ml ในขวดปริมาตร

#### 2.3. การเตรียมสารละลามมาตรฐานไออกอีนเข้มข้น 0.1000 N

ซึ่งเกล็ดไออกอีน 12.7000 g และ โป๊ಡสเซียมไออกอเดต 19.1000 g ลงในบีกเกอร์เติมน้ำกลั่นพร้อมทั้งคนให้เข้ากัน จนได้สารละลายที่มีปริมาตร 50-60 ml ตั้งบีกเกอร์ทึ้งไว้ประมาณ 4 ชั่วโมง เพื่อให้ผลึกไออกอีนละลายอย่างสมบูรณ์ จากนั้นนำสารละลายในบีกเกอร์มาทำให้เข้ากันโดยเติมน้ำกลั่นจนถึงปริมาตรเป็น 1,000 ml ในขวดปริมาตรที่มีฝาปิด

2.4. การเตรียมสารละลามกรดไฮโดรคลอริกเข้มข้น 5 เปอร์เซ็นต์ โดยนำหนักสารละลามกรดไฮโดรคลอริกเข้มข้น 70 ml ลงในน้ำกลั่น 500 ml แล้วเขย่าให้ผสมกัน

#### 2.5. การเตรียมสารละลามน้ำเปล่า

ซึ่งเปล่า 0.1-0.15 g เทลงในน้ำกลั่นประมาณ 25-30 ml พร้อมทั้งคนให้เข้ากัน เท

สารละลายน้ำเปลี่ยงในน้ำกลั่นที่กำลังเดือดปริมาตร 100 ml ต้มให้เดือดต่ออีก 4-5 นาทีในการทดลองควรเตรียมสารละลายน้ำเปลี่ยนใหม่ทุกครั้ง

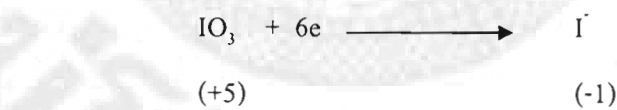
### 2.6. การทำมาตราฐานสารละลายโซเดียมไนโตรซัลเฟต ด้วย สารละลายโป๊ಡสเซี่ยมไออกอเดต

ปีเพ็ตสารละลายโป๊ଡสเซี่ยมไออกอเดตที่เตรียมไว้มา 25.00 ml เติมกรดซัลฟิวริก 1 โมลาร์ จำนวน 3 ml ไทยเกรตด้วยสารละลายโซเดียมไนโตรซัลเฟต จนได้สารละลายน้ำเสียแล้วจากนั้นเติมน้ำเปลี่ยน 2 ml ไทยเกรตต่อจนสารละลายเปลี่ยนจากสีน้ำเงินเป็นสารละลายใส่ไม่มีสี แล้วทำซ้ำ 2 ครั้ง บันทึกปริมาตรเพื่อคำนวณหาความเข้มข้นของสารละลายโซเดียมไนโตรซัลเฟต

ชี้งปฏิกริยาที่เกิดขึ้นเป็นดังนี้



จากปฏิกริยา  $\text{IO}_3^-$  เปลี่ยนเป็น  $\text{I}^-$  รับ 6 อิเล็กตรอน และมีการเปลี่ยนแปลงเลขออกซิเดชันของ  $\text{I}$  ดังนี้



เพราะจะนั้น 1 mol ของ  $\text{KIO}_3$  จะมี 6 eq

1 mol ของ  $\text{KIO}_3$  จะมี  $6 * 10^3$  meq

ในการทำมาตราฐานสารละลายโซเดียมไนโตรซัลเฟต ครั้งที่ 1 ชั่งโป๊ଡสเซี่ยมไออกอเดต 0.3560 g และปรับปริมาตรเป็น 100 ml จากนั้นปีเปตมา 25.00 ml เพื่อไทยเกรตกับสารละลายโซเดียมไนโตรซัลเฟต

สารละลาย  $\text{KIO}_3$  100 ml มี  $\text{KIO}_3 = 0.3560$  g

สารละลาย  $\text{KIO}_3$  25ml มี  $\text{KIO}_3 = (0.3560 * 25)/100 = 0.0890$  g

$$= (0.0890 * 6 * 10^3)/214.00$$

$$= 2.4953 \text{ meq}$$

(น้ำหนักโมเลกุลของ  $\text{KIO}_3 = 214.00$ )

ใช้สารละลายนาโนโซเดียมโซเดียมไนโตรเจนไนท์ 24.17 ml

สารละลายนาโนโซเดียมโซเดียมไนท์ 24.17 ml ทำปฏิกิริยาปอกดีกับ  $KIO_3$  2.4953 meq

ดังนั้น สารละลายนาโนโซเดียมโซเดียมไนท์ 24.17 ml ทำปฏิกิริยาปอกดีกับ  $KIO_3$  (2.4953 \* 1.00)/24.17 meq = 0.1032 meq

สำหรับการทำมาตราตรฐานสารละลายนาโนโซเดียมไนโตรเจนไนท์ครั้งที่ 2 และครั้งที่ 3

คำนวณความเข้มข้นของสารละลายนาโนโซเดียมไนโตรเจนไนท์ด้วยวิธีการเช่นเดียวกัน

2.7. การทำมาตราตรฐานสารละลายนาโนโซเดียมไนโตรเจนไนท์

ปีเปตสารละลายนาโนโซเดียมไนโตรเจนไนท์ 25.00 มิลลิลิตร แล้วทำการไฟเกรตกับสารละลายนามาตรฐานนาโนโซเดียมไนโตรเจนไนท์ โคลบิชั่นน้ำแข็งเป็นอินดิเคเตอร์

ปฏิกิริยาเป็นดังนี้



1 eq ของสารละลายนามาตรฐานนาโนโซเดียมไนโตรเจนไนท์จะทำปฏิกิริยาปอกดีกับ 1 eq ของสารละลายนาโนโซเดียมไนโตรเจนไนท์ครั้งที่ 1 ใช้สารละลายนามาตรฐานนาโนโซเดียมไนโตรเจนไนท์ 0.1032 N ปริมาตร 24.20 ml และ ใช้สารละลายนาโนโซเดียมไนโตรเจนไนท์ 25.00 ml

สารละลายนามาตรฐานนาโนโซเดียมโซเดียมไนท์ 1.00 ml มี Na<sub>2</sub>S<sub>2</sub>O<sub>3</sub> 0.1032 meq

$$\begin{aligned} \text{สารละลายนามาตรฐานนาโนโซเดียมโซเดียมไนท์ } 24.20 \text{ ml } &\text{ มี Na}_2\text{S}_2\text{O}_3 = (0.1032 * 24.20) / 1.00 \text{ meq} \\ &= 2.4974 \text{ meq} \end{aligned}$$

ดังนั้น สารละลายนาโนโซเดียม มี 2.4974 meq

สารละลายนาโนโซเดียม 25.00 มิลลิลิตร มี  $I_2$  = 2.4974 meq

$$\begin{aligned} \text{สารละลายนาโนโซเดียม } 1.00 \text{ มิลลิลิตร } &\text{ มี } I_2 = (2.4974 * 1.00) / 25.00 \text{ meq} \\ &= 0.0999 \text{ meq} \\ &= 0.0999 \text{ N} \end{aligned}$$

สำหรับการทำมาตราตรฐานสารละลายนาโนโซเดียมครั้งอื่นๆ ก็สามารถคำนวณได้ด้วยวิธีการเดียวกัน

ภาคผนวก ๑

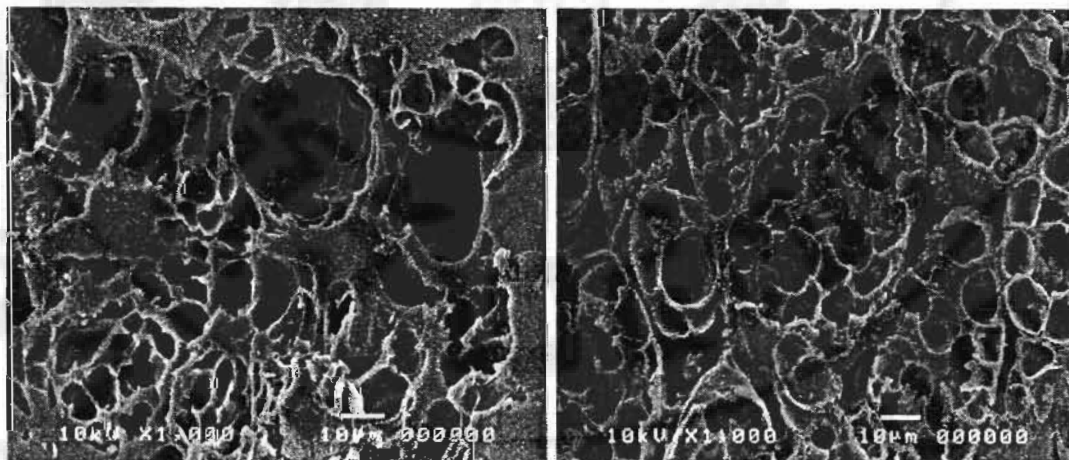
ภาพจากกล้องจุลทรรศน์อิเล็กตรอนแบบส่องกระดาด

### กล้องจุลทรรศน์อิเล็กตรอนแบบส่องกราด

กล้องจุลทรรศน์อิเล็กตรอนแบบส่องกราด (Scanning Electron Microscope: SEM) เป็นเครื่องมือวิทยาศาสตร์ประเภทกล้องจุลทรรศน์ที่ใช้ลำอิเล็กตรอนฉายหรือส่องกราดไปบนพื้นผิว ปรากฏเป็นภาพข่ายที่สามารถมองเห็นได้ชัดเจนทางของแสดงภาพ และสามารถบันทึกภาพที่ปรากฏลงบนแผ่นฟิล์มได้

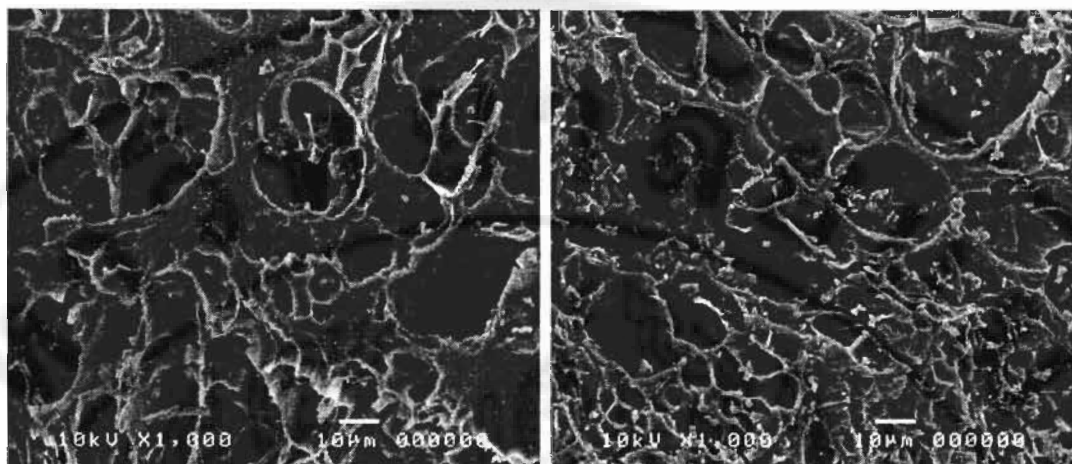
ระบบการทำงานจะเกี่ยวข้องกับระบบสัญญาณ เพื่อสร้างลำอิเล็กตรอนและระบบเลนส์สนามแม่เหล็กไฟฟ้า ซึ่งมีบทบาทในการรวมและกระจายลำอิเล็กตรอนบนตัวอย่างที่ต้องการศึกษา หรือตรวจสอบ ระบบการเกิดภาพเป็นการอาศัยหลักการทำงานอ้อม ซึ่งเป็นการรวบรวมสัญญาณที่หลังจากกระทบกับตัวอย่าง แล้วเปลี่ยนเป็นภาพให้ปรากฏที่จอภาพ ภาพที่ได้เป็นภาพที่มีความลึกหรือเป็นภาพสามมิติทำให้สามารถศึกษาและตรวจสอบลักษณะทางกายภาพได้อย่างชัดเจน เป็นภาพที่ขยายและมีรายละเอียดสูงในระดับที่กล้องจุลทรรศน์ธรรมดานามีความสามารถแยกรายละเอียดได้ คือ สามารถแยกตัวอย่างที่อยู่ห่างกัน 5-6 นาโนเมตรได้ชัดเจน

### ภาพเผาให้เป็นถ่าน ( Carbonization ) ถ่ายผ่านกล้อง SEM



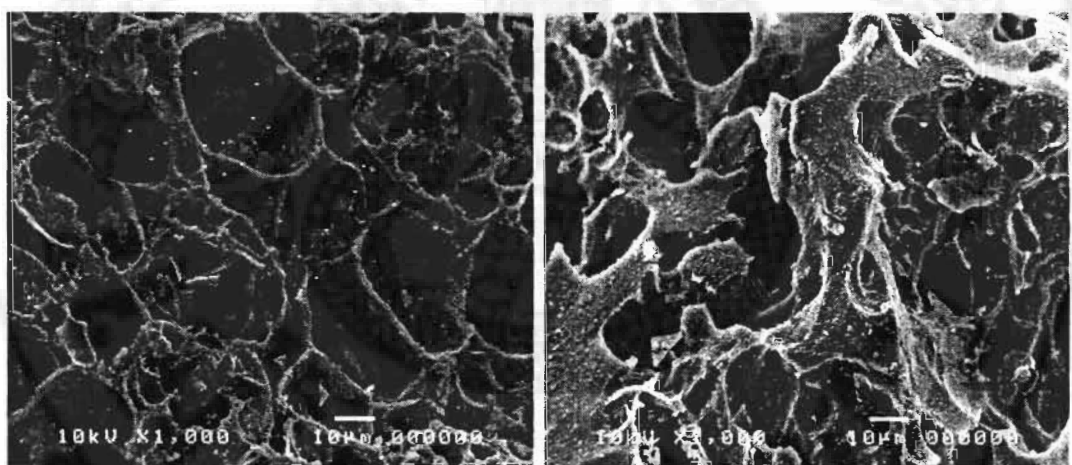
ภาพ 1 เผาที่ 800 °C เวลา 60 นาที

ภาพ 2 เผาที่ 800 °C เวลา 145 นาที



ภาพ 3 เผาที่ 900 °C เวลา 30 นาที

ภาพ 4 เผาที่ 800 °C เวลา 30 นาที



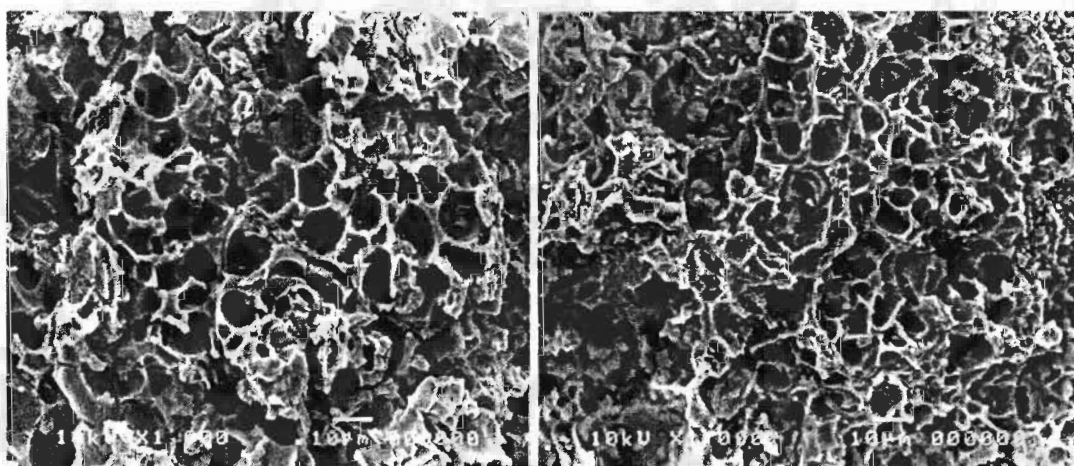
ภาพ 5 เผาที่ 800 °C เวลา 15 นาที

ภาพ 6 เผาที่ 500 °C เวลา 15 นาที



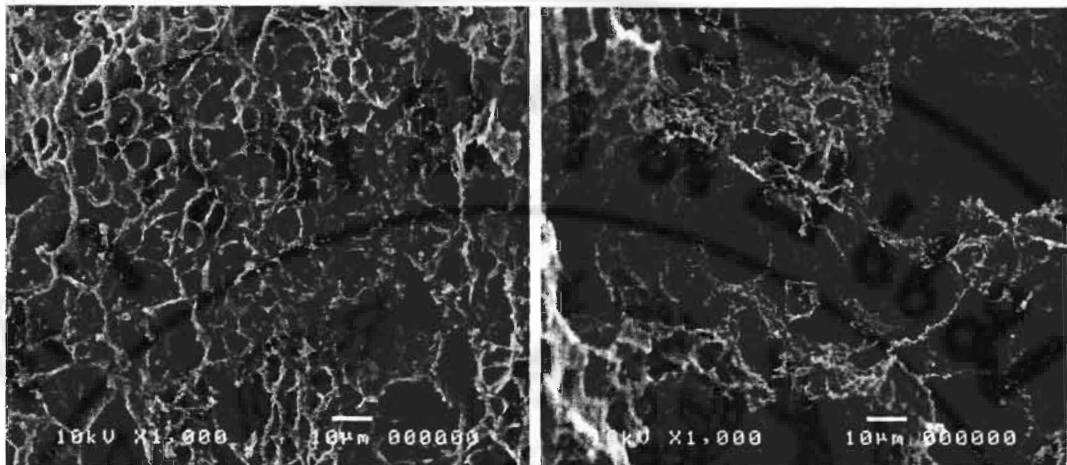
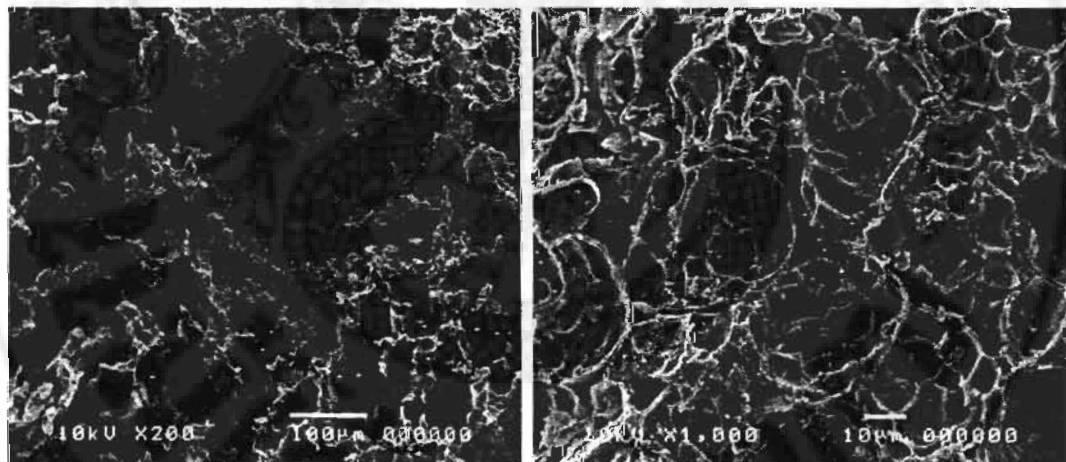
ภาพ 7 เผาที่  $900^{\circ}\text{C}$  เวลา 5 นาที

กระบวนการการกระดูนทางเคมี (Chemical Activation) ถ่ายผ่านกล้อง SEM



ภาพ 8 เผาที่  $900^{\circ}\text{C}$  เวลา 30 นาที

ภาพ 9 เผาที่  $600^{\circ}\text{C}$  เวลา 55 นาที

ภาพ 10 เผาที่  $600^{\circ}\text{C}$  เวลา 30 นาทีภาพ 11 เผาที่  $600^{\circ}\text{C}$  เวลา 45 นาทีภาพ 12 เผาที่  $600^{\circ}\text{C}$  เวลา 15 นาที

ภาพ 13 ถ่านกัมมันต์ที่มีข่ายตามท้องตลาด

ภาคผนวก ๑

ตัวอย่างการคำนวณและข้อมูลการทดลอง

## ตัวอย่างการคำนวณและข้อมูลการทดลอง

### 1 ตัวอย่างการคำนวณค่าใช้จ่ายในกระบวนการทดสอบตะกอน โดยใช้ PAC เป็นสารทดสอบในการทดลอง Jar Test

1.1 การคำนวณค่าใช้จ่ายในการกำจัดสี โดยใช้สารทดสอบชนิด PAC 2,000 mg/L โดยพิจารณาค่า PAC เท่ากับ 20 บาท/kg

ความเข้มข้นเริ่มต้นเท่ากับ 3.76 mg/L

ความเข้มข้นภายหลังจากการกำจัดเท่ากับ 1.82 mg/L

กำจัดได้เท่ากับ  $3.76 - 1.82 = 1.94 \text{ mg/L}$  หรือ 49.70%

ค่าสารทดสอบชนิด PAC

ในการกำจัดสี เท่ากับ 1.94 mg/L ต้องใช้ PAC เท่ากับ 2,000 mg/L

ดังนั้น PAC เท่ากับ  $2,000 / 1,000 = 2 \text{ kg/cm}^3$

คิดเป็นเงินเท่ากับ  $2 \times 15 = 30 \text{ บาท/cm}^3$

1.2 การคำนวณค่าใช้จ่ายในการกำจัดสี โดยใช้สารทดสอบชนิด Alum 6,500 mg/L โดยพิจารณาค่า Alum เท่ากับ 15 บาท/kg

ความเข้มข้นเริ่มต้นเท่ากับ 3.76 mg/L

ความเข้มข้นภายหลังจากการกำจัดเท่ากับ 1.82 mg/L

กำจัดได้เท่ากับ  $3.76 - 1.82 = 1.94 \text{ mg/L}$  หรือ 49.70%

ค่าสารทดสอบชนิด Alum

ในการกำจัดสี เท่ากับ 1.94 mg/L ต้องใช้ Alum เท่ากับ 6,500 mg/L

ดังนั้น Alum เท่ากับ  $6,500 / 1,000 = 6.5 \text{ kg/cm}^3$

คิดเป็นเงินเท่ากับ  $6.5 \times 15 = 97.50 \text{ บาท/cm}^3$

ค่าไฟฟ้าที่ใช้ในการกำจัด

เครื่อง Jar Test ใช้ไฟฟ้า 1A. 220 โวลต์

ในการทดลองกวนเร็วเป็นเวลา 1 นาที กวนช้า 5 นาที รวมเป็น 6 นาที หรือ 0.1

ชั่วโมง

จาก  $P = IV = 1 \times 220 = 220W$  หรือ 0.22 KW

$W = PT = 0.22 \times 0.1 = 0.022 \text{ KW-hr}$

การคิดอัตราค่าไฟฟ้า ( $\text{บาท}$ ) =  $0.7842 \text{ บาทต่อหน่วย}$

จะน้ำค่าไฟฟ้า =  $0.022 \times 0.7842 = 0.02 \text{ บาท}$

รวมค่าใช้จ่ายทั้งหมดคือ  $30 + 0.02 = 30.02$  บาท/  $\text{cm}^3$

## 2 ตัวอย่างการคำนวณค่าใช้จ่ายในกระบวนการเผาถ่านในเต้อ้เผา

ค่าไฟฟ้าที่ใช้ในการกำจัด

เครื่องเผาใช้ไฟฟ้า

ในการทดลอง 1 ชั่วโมง

จาก  $P = IV = 30 \times 220 = 6600\text{W}$  หรือ  $6.6\text{ KW}$

$$W = PT = 6.6 \times 1 = 6.6\text{KW-hr}$$

การคิดอัตราค่าไฟฟ้า ( $f$ ) = 0.7842 บาทต่อหน่วย

$$\text{ฉะนั้นค่าไฟฟ้า} = 6.6 \times 0.7842 = 5.17572 \text{ บาท}$$

## 3 ตัวอย่างการคำนวณค่าใช้จ่ายในกระบวนการกระดูนทางเคมี

KOH (Commercial grade) ราคา  $\text{kg}$  ละ 25 บาท/kg

ใช้สัดส่วนของ KOH: ต่อตัวอย่าง (เมล็ดลินจิ้ง) ในสัดส่วน 0.5:1 (w/w) ในการเตรียม

ถ่านกัมมันต์ 1 kg ใช้สารเคมี 0.5 kg

ดังนี้ ค่าใช้จ่ายในกระบวนการกระดูนทางเคมี 12.5 บาท/kg

## 4 เปรียบเทียบราคางองถ่านกัมมันต์ที่ผลิตจากเมล็ดลินจิ้งกับถ่านกัมมันต์ที่มีขายตามห้องตลาด

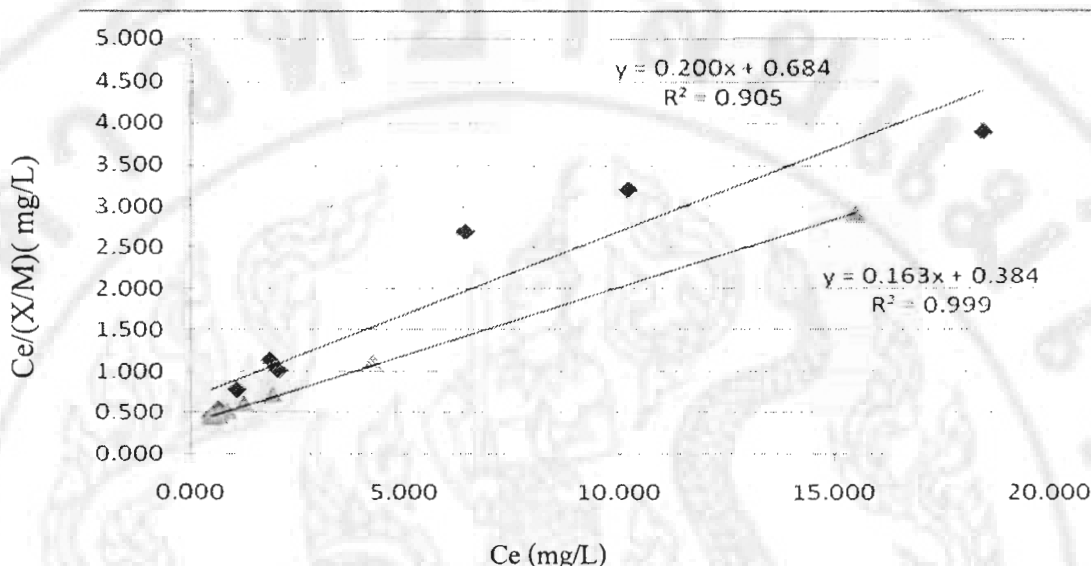
ราคาถ่านกัมมันต์ที่มีขายตามห้องตลาด ราคา 120 บาท/kg

ราคางองถ่านกัมมันต์ที่ผลิตจากเมล็ดลินจิ้ง ราคา 17.68 บาท/kg

ดังนั้นราคางองถ่านกัมมันต์ที่มีขายตามห้องตลาด มีราคาต่ำกว่าถ่านกัมมันต์ที่มีขายตามห้องตลาด

102.32 บาท/kg

5 การนำข้อมูลในตารางมาเขียนกราฟความสัมพันธ์ตามสมการของ Langmuir ได้ดังนี้  
ที่ pH 3



ภาพ 14 การหาปริมาณสารติดตะกอนของ PAC และ Alum แบบหานาย

จากสมการของ Langmuir คือ

$$\frac{Ce}{X/M} = \frac{1}{ab} + \frac{1}{a} Ce \quad \text{แทนค่าจะได้}$$

$$X/M = 2.91 \text{ (g/l)}$$

ตาราง 1 ผลการติดต่อทดสอบยาไฮโอดินที่ผ่านกระบวนการกรองเพื่อประเมินค่าคงเหลือที่ถูกภาวะต่างๆ

ปริมาณ ถ่าน	คลอรีน [Na <sub>2</sub> S <sub>2</sub> O <sub>3</sub> ] KCl <sub>3</sub>	[Na <sub>2</sub> S <sub>2</sub> O <sub>3</sub> ] I <sub>2</sub> กว่า Na <sub>2</sub> S <sub>2</sub> O <sub>3</sub> SH <sub>2</sub> O	I <sub>2</sub> free(meq/ml)	TOTAL I <sub>2</sub> FREE	I <sub>2</sub> นำเข้า x	NUMBER	I <sub>2</sub> % remove		
1.0053	A Na <sub>2</sub> S <sub>2</sub> O <sub>3</sub> SH <sub>2</sub> O ตัว เดียว	41.40 22.43	0.11 2	4.54 3	9.08 2.30	2.08 292.14	263.39 290.39	262.00 290.39	18.84 21.09
1.0060	B I <sub>2</sub> กว่า Na <sub>2</sub> S <sub>2</sub> O <sub>3</sub> SH <sub>2</sub> O	40.37	0.11	4.43	8.85	2.30	292.14	290.39	21.09
1.0039	C 40.77	0.11	4.47	8.94	2.21	281.01	279.91	279.91	20.29
1.0036	D 40.07	0.11	4.39	8.78	2.37	300.49	299.41	299.41	21.69
1.0040	E 42.00	0.11	4.60	9.21	1.94	246.69	245.70	245.70	17.64
1.0057	F 40.73	0.11	4.47	8.93	2.22	281.94	280.34	280.34	20.17
1.0058	G 41.30	0.11	4.53	9.05	2.10	266.17	264.63	264.63	19.04
1.0067	H 41.60	0.11	4.56	9.12	2.03	257.82	256.12	256.12	18.44
1.0040	I 41.67	0.11	4.57	9.14	2.02	255.97	254.94	254.94	18.31
1.0053	J 41.17	0.11	4.51	9.03	2.13	269.88	268.46	268.46	19.30
1.0073	K 38.35	0.11	4.20	8.41	2.74	348.25	345.73	345.73	24.91
1.0039	L 38.60	0.11	4.23	8.46	2.69	341.29	339.97	339.97	24.41

ตาราง 1 (ต่อ)

ปริมาณ ถ่าน	ค่าคงที่	[Na <sub>2</sub> S <sub>2</sub> O <sub>3</sub> ]	I <sub>2</sub> free(meq/ml)	TOTAL I2 I <sub>2</sub> ในกราม	I <sub>2</sub> NUMBER	% remove
1.0069	M	40.47	0.11	4.44	8.87	2.28
1.0068	N	43.30	0.11	4.75	9.49	1.66
1.0059	O	43.53	0.11	4.77	9.54	1.61
1.0079	P	33.93	0.11	3.72	7.44	3.71
1.0052	Q	35.85	0.11	3.93	7.86	3.29
1.0039	R	40.90	0.11	4.48	8.97	2.19
1.0036	S	41.27	0.11	4.52	9.05	2.10
1.0056	T	42.90	0.11	4.70	9.41	1.75
1.0038	U	27.40	0.11	3.00	6.01	5.14
1.0012	V	33.45	0.11	3.67	7.33	3.82
1.0081	W	35.87	0.11	3.93	7.86	3.29
1.0055	X	38.87	0.11	4.26	8.52	2.63
1.0046	Y	38.83	0.11	4.26	8.51	2.64
1.0055	Z	25.10	0.11	2.75	5.50	5.65
					716.91	713.02
						51.28

ตาราง 1 (ต่อ)

ปริมาณ ตัน	ค่าคงเด tam	[Na <sub>2</sub> S <sub>2</sub> O <sub>3</sub> ]	12 free(meq/ml)	TOTAL 12 FREE	12 ในกรัม	x	12 NUMBER	% remove
1.0053	Z2	30.50	0.11	3.34	6.69	4.47	566.66	563.70
1.0050	Z3	34.23	0.11	3.75	7.51	3.65	462.79	460.49
1.0040	Z4	34.87	0.11	3.82	7.64	3.51	445.17	443.39

ตาราง 2 ผลการ ๓ ตรรตรหสารตระถายโดยอดีตผ่านกระบวนการ Activated ด้วยสารเคมี ของตานจากม์ด้วยที่ต่างๆ

ปริมาณ ถ่าน	ค่าตรวจสอบ	Na <sub>2</sub> S <sub>2</sub> O <sub>3</sub>	[Na <sub>2</sub> S <sub>2</sub> O <sub>3</sub> ] free(meq/ml)	I <sub>2</sub>		TOTAL I <sub>2</sub> ในถ่าน	I <sub>2</sub> NUMBER	% remove
				FREE	total			
	Na <sub>2</sub> S <sub>2</sub> O <sub>3</sub> , 5H <sub>2</sub> O ด้วย KOI, I <sub>2</sub> ด้วย Na <sub>2</sub> S <sub>2</sub> O <sub>3</sub> , 5H <sub>2</sub> O	22.43						
1.00053	A	26.00	0.11	2.85	5.70	5.32	674.72	671.17 25.87
1.00060	B	27.98	0.11	3.12	6.24	4.68	594.16	590.60 28.57
1.00039	C	27.82	0.11	3.10	6.20	4.72	598.69	596.34 28.41
1.00036	D	27.71	0.11	3.09	6.18	4.74	601.80	599.64 28.30
1.00040	E	27.50	0.11	3.07	6.13	4.89	620.15	617.66 27.82
1.00057	F	26.48	0.11	2.95	5.90	5.11	649.01	645.33 26.79
1.00058	G	25.45	0.11	2.84	5.67	5.34	678.14	674.21 25.75
1.00067	H	25.43	0.11	2.83	5.67	5.35	678.71	674.22 25.73
1.00040	I	27.42	0.11	3.06	6.11	4.90	622.41	619.91 27.74
1.00053	J	26.62	0.11	2.92	5.84	5.18	657.47	654.01 26.49
1.00073	K	27.46	0.11	3.06	6.12	4.90	621.28	616.78 27.78
1.00039	L	27.30	0.11	3.04	6.09	4.93	625.81	623.38 27.62

ตาราง 2 (ต่อ)

บีร์เมต์ริก ถ่าน	ค่าคงที่ $\text{Na}_2\text{S}_2\text{O}_3$	[ $\text{Na}_2\text{S}_2\text{O}_3$ ] free(meq/ml)	$I_2$	TOTAL $I_2$ ถ่าน	$I_2$ ถ่าน	$I_2$ NUMBER	% remove
1.0069	M	27.60	0.11	3.04	6.08	5.68	720.82
1.0068	N	27.48	0.11	3.01	6.02	4.99	633.55
1.0059	O	27.45	0.11	3.01	6.02	5.00	634.38
1.0079	P	27.98	0.11	3.08	6.16	5.60	710.20
1.0052	Q	29.00	0.11	3.19	6.39	5.37	681.70
1.0039	R	28.45	0.11	3.12	6.24	4.78	606.56
1.0036	S	28.35	0.11	3.12	6.24	5.51	699.86
1.0056	T	26.89	0.11	2.95	5.90	5.12	649.96
1.0038	U	27.40	0.11	3.05	6.11	4.91	622.98
1.0012	V	35.57	0.11	3.92	7.83	3.93	498.18
1.0081	W	39.87	0.10	4.11	8.21	2.70	343.10
1.0055	X	33.45	0.11	3.73	7.46	3.56	451.82
1.0046	Y	38.83	0.10	4.00	8.00	2.92	370.11
1.0055	Z	25.10	0.11	2.80	5.60	5.42	688.05

ตาราง 2 (ต่อ)

	Z1	30.50	0.11	3.40	6.80	4.22	535.28	532.07	30.86
1.0053	Z2	28.77	0.11	3.17	6.33	5.42	688.22	684.62	28.75
1.0050	Z3	34.23	0.10	3.53	7.05	3.86	490.34	487.90	32.00
1.0040	Z4	34.87	0.11	3.84	7.68	4.08	517.75	515.68	34.85
1.0081	Z5	42.13	0.11	4.70	9.39	1.53	193.76	192.20	42.63

ตาราง 3 ผลของการคุณภาพของถ่านกัมมันต์ที่ผลิตจากเมล็ดลินจิ้งชี pH 3

M (mg)	V (ml)	COD (Co) (mg/L)	COD Ce Rep1 (mg/L)	COD Ce Rep2 (mg/L)	COD Ce Rep3 (mg/L)	Average COD Ce (mg/L)
0	100	42.15	42.15	42.15	42.15	42.15
500	100	42.15	18.46	18.45	18.50	18.47
1000	100	42.15	10.23	10.20	10.26	10.23
1500	100	42.15	6.52	6.50	6.24	6.42
2000	100	42.15	2.03	2.06	2.04	2.04
2500	100	42.15	1.86	1.84	1.83	1.84
3000	100	42.15	1.06	1.08	1.07	1.07
3500	100	42.15	0.64	0.62	0.67	0.64
4000	100	42.15	0.45	0.48	0.46	0.46

ตาราง 4 ผลของการคุณภาพของถ่านกัมมันต์ที่มีขายตามท้องตลาดที่ pH 3

M (mg)	V (ml)	COD (Co) (mg/L)	COD Ce Rep1 (mg/L)	COD Ce Rep2 (mg/L)	COD Ce Rep3 (mg/L)	Average COD Ce (mg/L)
0	100	42.15	42.15	42.15	42.15	42.15
500	100	42.15	15.46	15.60	15.42	15.49
1000	100	42.15	4.23	4.26	4.28	4.26
1500	100	42.15	1.95	1.94	1.86	1.92
2000	100	42.15	1.23	1.25	1.24	1.24
2500	100	42.15	0.82	0.84	0.90	0.85
3000	100	42.15	0.63	0.65	0.67	0.65
3500	100	42.15	0.50	0.53	0.54	0.52
4000	100	42.15	0.45	0.49	0.48	0.47

ตาราง 5 ผลของการคุณภาพของถ่านกัมมันต์ที่ผลิตจากเมล็ดลินจิ้งที่ pH 5

M (mg)	V (ml)	COD (Co) (mg/L)	COD Ce Rep1 (mg/L)	COD Ce Rep2 (mg/L)	COD Ce Rep3 (mg/L)	Average COD Ce (mg/L)
0	100	42.15	42.15	42.15	42.15	42.15
500	100	42.15	20.36	20.35	20.38	20.36
1000	100	42.15	12.38	12.26	12.41	12.35
1500	100	42.15	6.52	6.50	6.24	6.42
2000	100	42.15	3.98	3.94	3.95	3.96
2500	100	42.15	2.56	2.45	2.48	2.50
3000	100	42.15	1.56	1.54	1.57	1.56
3500	100	42.15	0.84	0.86	0.87	0.86
4000	100	42.15	0.62	0.60	0.64	0.62

ตาราง 6 ผลของการคุณภาพของถ่านกัมมันต์ที่มีขากตามท้องตลาดที่ pH 5

M (mg)	V (ml)	COD (Co) (mg/L)	COD Ce Rep1 (mg/L)	COD Ce Rep2 (mg/L)	COD Ce Rep3 (mg/L)	Average COD Ce (mg/L)
0	100	42.15	42.15	42.15	42.15	42.15
500	100	42.15	18.23	18.26	18.46	18.32
1000	100	42.15	9.56	9.45	9.62	9.54
1500	100	42.15	3.15	3.45	3.56	3.39
2000	100	42.15	2.12	2.36	2.34	2.27
2500	100	42.15	1.89	1.84	1.86	1.86
3000	100	42.15	0.98	0.95	0.94	0.96
3500	100	42.15	0.86	0.89	0.84	0.86
4000	100	42.15	0.65	0.68	0.69	0.67

ตาราง 7 ผลของการคุณซับของถ่านกัมมันต์ที่ผลิตจากเมล็ดคลินิจีที่ pH 7

M (mg)	V (ml)	COD (Co) (mg/L)	COD Ce Rep1 (mg/L)	COD Ce Rep2 (mg/L)	COD Ce Rep3 (mg/L)	Average COD Ce (mg/L)
0	100	42.15	42.15	42.15	42.15	42.15
500	100	42.15	23.67	23.64	23.68	23.66
1000	100	42.15	15.46	15.75	15.41	15.54
1500	100	42.15	10.25	10.26	10.30	10.27
2000	100	42.15	4.57	4.12	4.34	4.34
2500	100	42.15	3.55	3.44	3.56	3.52
3000	100	42.15	2.02	2.01	2.00	2.01
3500	100	42.15	1.35	1.38	1.37	1.37
4000	100	42.15	0.87	0.85	0.83	0.85

ตาราง 8 ผลของการคุณซับของถ่านกัมมันต์ที่มีข่ายตามท้องตลาดที่ pH 7

M (mg)	V (ml)	COD (Co) (mg/L)	COD Ce Rep1 (mg/L)	COD Ce Rep2 (mg/L)	COD Ce Rep3 (mg/L)	Average COD Ce (mg/L)
0	100	42.15	42.15	42.15	42.15	42.15
500	100	42.15	19.54	19.50	19.46	19.50
1000	100	42.15	12.56	12.30	12.42	12.43
1500	100	42.15	5.14	5.16	5.17	5.16
2000	100	42.15	4.89	4.62	4.63	4.71
2500	100	42.15	3.56	3.54	3.58	3.56
3000	100	42.15	2.45	2.65	2.58	2.56
3500	100	42.15	1.64	1.69	1.62	1.65
4000	100	42.15	0.98	0.92	0.90	0.93

ตาราง 9 ผลของการคุณภาพของถ่านกัมมันต์ที่ผลิตจากเมล็ดลินจิ้งที่ pH 9

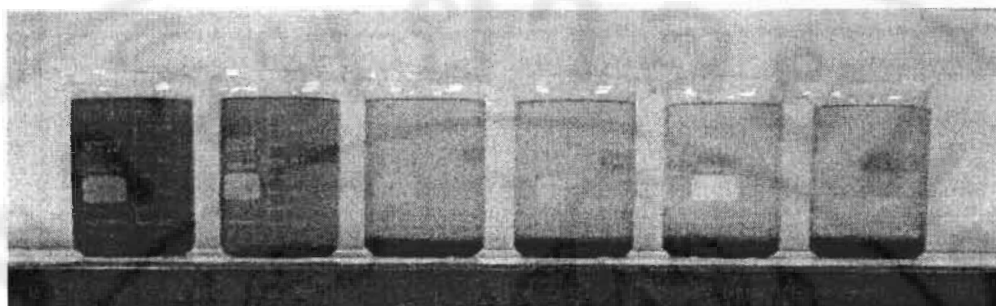
M (mg)	V (ml)	COD (Co) (mg/L)	COD Ce Rep1 (mg/L)	COD Ce Rep2 (mg/L)	COD Ce Rep3 (mg/L)	Average COD Ce (mg/L)
0	100	42.15	42.15	42.15	42.15	42.15
500	100	42.15	25.12	25.15	25.16	25.14
1000	100	42.15	18.32	18.3	18.38	18.33
1500	100	42.15	12.45	12.48	12.5	12.48
2000	100	42.15	5.48	5.42	5.43	5.44
2500	100	42.15	4.78	4.55	4.62	4.65
3000	100	42.15	3.56	3.5	3.48	3.51
3500	100	42.15	1.98	1.94	1.93	1.95
4000	100	42.15	0.98	0.95	0.97	0.97

ตาราง 10 ผลของการคุณภาพของถ่านกัมมันต์ที่มีข่ายตามห้องทดลองที่ pH 9

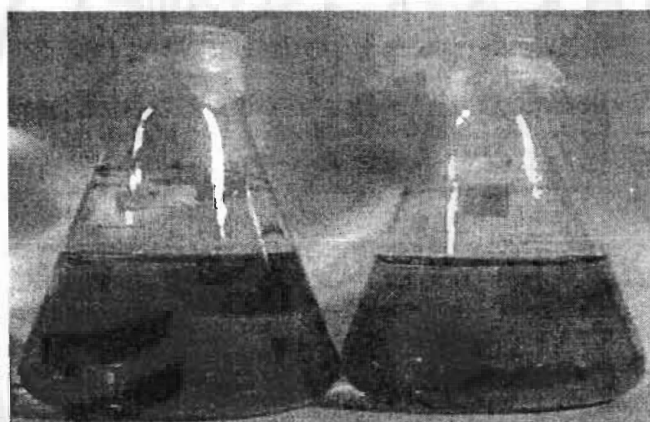
M (mg)	V (ml)	COD (Co) (mg/L)	COD Ce Rep1 (mg/L)	COD Ce Rep2 (mg/L)	COD Ce Rep3 (mg/L)	Average COD Ce (mg/L)
0	100	42.15	42.15	42.15	42.15	42.15
500	100	42.15	20.415	20.2125	20.24	20.29
1000	100	42.15	15.314	15.3247	15.025	15.22
1500	100	42.15	9.26	9.16	9.45	9.29
2000	100	42.15	5.65	6.215	6.15	6.01
2500	100	42.15	4.59	5.15	4.98	4.91
3000	100	42.15	2.87	2.89	2.58	2.78
3500	100	42.15	2.02	2	2.15	2.06
4000	100	42.15	1.02	1	2.02	1.35

ภาคผนวก ๑ :

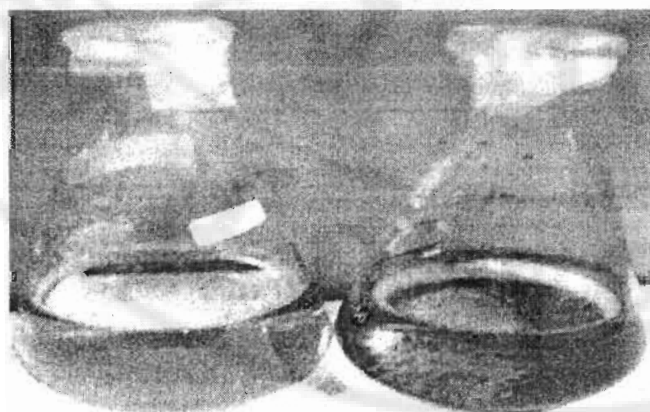
ภาพผลการทดสอบ

**ภาพผลการทดลอง**

ภาพ 15 น้ำที่ผ่านกระบวนการ Jar test



ภาพ 16 การทดสอบประสิทธิภาพ Control เทียบกับถ่านกัมมันต์ที่มีขายตามห้องตลาด



ภาพ 17 การทดสอบประสิทธิภาพ Control เทียบกับถ่านกัมมันต์ที่ที่ผลิต